

UNIVERSIDADE FEDERAL DO RIO GRANDE DO SUL
INSTITUTO DE BIOCIÊNCIAS
PROGRAMA DE PÓS-GRADUAÇÃO EM ECOLOGIA
ÊNFASE EM ECOLOGIA

PAULA HAUBER GAMEIRO

**ESTUDO DA QUALIDADE AMBIENTAL DE REGIÕES COM CAPTAÇÃO
DE ÁGUA PARA ABASTECIMENTO PÚBLICO**

Porto Alegre, 17 de dezembro de 2019

PAULA HAUBER GAMEIRO

**ESTUDO DA QUALIDADE AMBIENTAL DE REGIÕES COM CAPTAÇÃO
DE ÁGUA PARA ABASTECIMENTO PÚBLICO**

Tese apresentada como requisito parcial para obtenção do título de Doutora em Ecologia, com ênfase em Ecologia pelo Programa de Pós-Graduação em Ecologia, do Instituto de Biociências da Universidade Federal do Rio Grande do Sul.

Orientadora: Prof^a Dr^a Vera Maria Ferrão Vargas

Comissão Examinadora

Prof^a Dr^a Juliana da Silva

Prof^a Dr^a Kelly Cristina Tagliari de Brito

Prof^a Dr^a Luciane Oliveira Crossetti

Porto Alegre, 17 de dezembro de 2019

CIP - Catalogação na Publicação

Gameiro, Paula Hauber Gameiro
ESTUDO DA QUALIDADE AMBIENTAL DE REGIÕES COM
CAPTAÇÃO DE ÁGUA PARA ABASTECIMENTO PÚBLICO / Paula
Hauber Gameiro Gameiro. -- 2019.
121 f.
Orientadora: Vera Maria Ferrão Vargas Vargas.

Tese (Doutorado) -- Universidade Federal do Rio
Grande do Sul, Instituto de Biociências, Programa de
Pós-Graduação em Ecologia, Porto Alegre, BR-RS, 2019.

1. Salmonella/microsoma. 2. sedimento. 3.
mutagênese ambiental. 4. micropoluentes emergentes. 5.
água potável. I. Vargas, Vera Maria Ferrão Vargas,
orient. II. Título.

“RIO TAQUARI!
Observando a beleza de tuas paisagens,
Admirei tuas várzeas multicolores,
Ouvi o cantar sonoro de tuas ondas,
O rugir de tuas cachoeiras borbulhantes
E o marulho gigante de tuas enchentes!”

(Gino Ferri, 1991)

*“Águas escuras dos rios
Que levam a fertilidade ao sertão
Águas que banham aldeias
E matam a sede da população...”*

*Música Planeta Água,
compositor Guilherme Arantes*

AGRADECIMENTOS

À minha orientadora Vera Maria Ferrão Vargas que há 8 anos me deu confiança e incentivo para eu realizar minha jornada científica. Sempre incansável na sua dedicação, paciência e carinho. Com certeza contribuiu muito para o meu crescimento pessoal e profissional.

À Universidade Federal do Rio Grande do Sul (UFRGS) pelo curso de Pós-Graduação em Ecologia.

Ao Programa de Pós-Graduação em Ecologia

Aos professores do Programa de Pós-Graduação em Ecologia pelos conhecimentos científicos adquiridos.

Aos colegas e funcionários do Centro de Ecologia pelo convívio e muitos auxílios prestados.

À Coordenação de Aperfeiçoamento de Pessoal de Nível Superior (CAPES), pela bolsa de Doutorado cedida.

À Fundação Estadual de Proteção Ambiental Henrique Luis Roessler (FEPAM).

Aos colegas do Laboratório de Mutagênese Ambiental pelo convívio, amizade e auxílio nos meus experimentos: Kauê, pelos Ensaios Ames e coletas de água, Naiara, Fernanda, Bettina, Ismael, Lívia, Fabiano (Ensaios Ames), Aline e Kewen (pelos ensaios *Allium* cepa), Catiusa (ensaios com embriões de Zebrafish) e Erick pela amizade.

Ao Prof. Heinrich Hasenack pelo auxílio na realização dos mapas, utilizando ferramentas SIG.

Ao Prof. Dr. Alexandre Arenzon por permitir minha realização dos ensaios Zebrafish no Laboratório ECOTOX.

À Dra. Clarice Torres de Lemos, pelo auxílio na realização dos ensaios citogenéticos.

À Equipe de amostragem da FEPAM, pela realização das coletas das minhas amostras de sedimento e água da primeira etapa do trabalho.

Aos funcionários da Vigilância Sanitária que me acompanharam nas amostragens dentro das estações de tratamento da CORSAN e permitiram a coleta das amostras na segunda etapa da tese. Especialmente Vanda Garibotti pela sua incansável atenção para organizar minhas coletas.

À Tatiane Cardozo e Prof. Flávio André Pavan pelas análises químicas nas amostras de água tratada da segunda etapa da tese.

À Banca de Qualificação Profa. Dra. Kelly Cristina Tagliari De Brito, Fernando Gertum Becker e Profa. Dra. Teresinha Guerra pelas contribuições fornecidas ao primeiro artigo desta tese.

À Hedy Hofmann pela tradução dos artigos.

À minha família pelo incentivo e força. Especialmente aos meus queridos pais João Luís (*in memorian*) e Mara, por não medirem esforços para me incentivarem e darem o suporte necessário para eu chegar à minha realização profissional.

Ao meu marido Tiago pelo apoio, companheirismo e paciência.

Ao meu querido filho Theo que trabalhou com a mamãe quando ainda estava na barriga e nasceu no início deste trabalho.

À minha avó Rosália, pela amizade e por estar sempre apostando no meu sucesso.

Aos meus irmãos Gustavo e Augusto, cunhadas e sobrinhos pela força e estímulo de sempre.

À Deus pela força e inspiração.

RESUMO

A desinfecção da água é um processo de grande importância para redução de doenças veiculadas pela água contaminada. Entretanto nos últimos 40 anos pesquisadores verificaram a correlação do consumo de água tratada com efeitos à saúde, como o câncer. Já foi comprovada a formação de subprodutos de desinfecção (DBPs) durante a reação do cloro com a matéria orgânica presente no meio aquático. Recentemente tem sido relatadas a presença de compostos em concentrações muito baixas no ambiente, os micropoluentes emergentes (MEs), sendo a maioria desses ainda não regulamentada quanto à limitação de seus usos. Assim, é válido considerar que a qualidade da água tratada depende da água bruta, pois muitos contaminantes podem ser carreados até o tratamento final. MEs estão presentes na composição de fármacos, produtos de cuidados pessoais, hormônios esteróides, disruptores endócrinos, substâncias químicas industriais e pesticidas. Pesquisas anteriores na área de estudo verificaram contaminação do sedimento, em locais destinados à captação de água potável no Rio Taquari (RS), próximos a uma área em processo de remediação de solo contaminado por conservantes de madeira. Dando continuidade, o objetivo do presente estudo foi analisar a presença de contaminantes em locais de captação de água potável, definindo as fontes e os efeitos tóxicos e genotóxicos desses estressores como um parâmetro de qualidade para o ecossistema, sua influência na água tratada e possíveis reflexos para a saúde humana. Os locais de captação no rio Taquari e as estações de tratamento de água, ETAS (WTP), estudados nesta bacia foram: (Ta063 - WTP01), (Ta032 - WTP02), (Ta011 - WTP03) e (Ta006 - WTP04). Os pontos de amostragem foram nomeados de acordo com as letras iniciais do rio (Ta), seguidas pelo número de quilômetros de distância em relação à foz. Na primeira etapa (2015), foi realizada a investigação da qualidade do Rio Taquari através de análises químicas, de toxicidade, genotoxicidade e mutagênese nos sedimentos e águas em locais destinados à captação de água potável. Para definir os usos e cobertura do solo como possíveis fontes de contaminantes da bacia foram utilizadas ferramentas de sistemas de informação geográfica (SIG). Os resultados dessa etapa da pesquisa indicaram a presença de estressores citotóxicos e genotóxicos, em sedimento e em água, com prevalência de mutagênicos de ação direta. Na análise química dos estressores descritos em estudos anteriores (hidrocarbonetos policíclicos aromáticos e metais pesados) observou-se pequena contribuição para explicar os danos detectados nos atuais ensaios de genotoxicidade. As respostas do ensaio

Salmonella/microssoma indicaram que o local Ta032 teve a maior potência mutagênica em extratos orgânicos de sedimentos, enquanto o Ta063 em extratos de água. Análises no teste de *Allium cepa*, aplicado aos sedimentos *in natura*, mostraram indução significativa de micronúcleos em Ta032. Entretanto, bioensaios com embriões de *Danio reio* (FET), nas amostras de água superficial, não detectaram respostas significativas. Este conjunto de resultados gerou alerta quanto à natureza da mistura complexa presente nos locais de captação de água potável, somadas às evidências definidas pelas análises de SIG quanto ao predomínio de atividades relacionadas à agricultura. Além disso, em Ta063 foram encontradas atividades industriais de médio a alto potencial poluidor próximas. Na segunda etapa de trabalho (2017) foi investigada a água antes (bruta) e após o tratamento (tratada) para verificar a influência da carga orgânica presente nesse manancial na geração de subprodutos perigosos durante o processo de cloração. As coletas foram realizadas no interior das estações de tratamento. Os resultados mostraram que a água bruta teve uma menor contaminação em relação à primeira etapa do estudo, sendo a mutagênese encontrada apenas na WTP03, com e sem ativação metabólica (S9). Nas amostras de água tratada foram encontrados resultados significativos para as duas linhagens de *Salmonella*, sendo a TA100 mais sensível em ensaios diretos. O local com maior potência mutagênica foi WTP04, seguido de WTP02, WTP01 e WTP03. Dados de amostragem realizada anteriormente no local WTP04 (2015), incluídos neste estudo, mostraram que compostos mutagênicos na água tratada deste local já estavam presentes. Alguns resultados observados na água bruta e tratada apresentaram padrões diferentes de mutagênese esperada em consequência da formação de DBPs e detectadas pelo ensaio *Salmonella* como relatado na literatura, gerando preocupação quanto à origem de contaminantes presentes nestas amostras. As análises químicas indicaram que o local WTP04 foi o que apresentou maiores teores de MEs totais, sendo a atrazina, paracetamol e ácido salicílico, os predominantes. Nos demais locais também foram encontrados MEs, sendo o WTP02 com menor valor total na água tratada, representando uma redução de 45,3% de MEs comparados com a bruta. Embora os resultados da água bruta do segundo trabalho tenham apresentado menor potencial mutagênico, a presença de MEs e as respostas de mutagênese nas amostras da primeira etapa, indicaram que estão sendo carreados contaminantes para o rio, sejam por esgoto doméstico, atividades agrícolas ou industriais e depositados no sedimento. Os resultados de MEs mostraram que, embora apresentem redução nas águas tratadas em relação às brutas, ainda estiveram presentes após tratamento. Além disso, a maioria dos MEs, com exceção da

atrazina, não contribuíram na mutagênese detectada pelo ensaio *Salmonella*, já que as amostras brutas foram quase todas negativas. Entretanto, após tratamento, a mutagênese foi encontrada em todas as ETAS, podendo os MEs também estarem reagindo com o cloro, contribuindo na formação de DBPs mutagênicos com padrão diferente do esperado, após o tratamento convencional. Assim, é necessário reforçar um alerta quanto à presença de substâncias perigosas nos locais de estudo, possivelmente distribuídas para a população; a necessidade de controle, fiscalização e estabelecimento de melhores padrões para a preservação da vida aquática, conservação dos mananciais e potabilidade da água distribuída à população.

Palavras-chave: *Salmonella*/microssoma; sedimento; extratos orgânicos; micropoluentes emergentes, DBPs; ensaios citogenéticos; *Danio rerio*, *Allium cepa*.

ABSTRACT

Water disinfection is an important process to reduce diseases transmitted by contaminated water. However, in the last 40 years, researchers have found a correlation between the consumption of treated water with effects on health, such as cancer. The formation of disinfection byproducts (DBPs) during the reaction between chlorine and the organic matter present in the aquatic ecosystem has already been proved. Recently, compounds have been found at very low concentrations in the environment, the emerging micropollutants (EMs), and most of them have not yet been regulated to limit their uses. Thus, it is valid to consider that the quality of treated water depends on the raw water, since many contaminants may be carried to the final treatment. EMs are present in the composition of drugs, personal care products, steroid hormones, endocrine disruptors, industrial chemical substance and pesticides. Previous research in the area of study found sediment contamination at sites to be used to abstract drinking water from the Taquari River (Brazil/RS), close to an area which is undergoing a process of remediation of soil contaminated by wood conservants. The objective of the present study was to analyze the presence of contaminants at sites where drinking water is abstracted, defining the sources and toxic and genotoxic effects of these stressors as a parameter of quality for the ecosystem, their influence on treated water and possible reflexes for human health. The Taquari River abstraction sites and water treatment plants (WTP) studied in this basin were: (Ta063 - WTP01), (Ta032 - WTP02), (Ta011 - WTP03) and (Ta006 - WTP04). The sampling points were named according to the initial letters of the river (Ta), followed by the number of kilometers away from the mouth. In a first stage (2017), the quality of Taquari River was investigated through chemical analyses and toxicity, genotoxicity and mutagenesis in the sediments and water at sites used for the abstraction of drinking water. To define the uses and soil cover as possible sources of contaminants in the basin, geographic information systems (GIS) tools were used. The results of this stage of research indicated the presence of cytotoxic and genotoxic stressors in sediment and in water, with the prevalence of direct action mutagenics. In the chemical analysis of the stressors described in previous studies (polycyclic aromatic hydrocarbons and heavy metals), a small contribution was observed to explain the damages detected in the current genotoxicity assays. The responses of the *Salmonella*/microsome assay indicated that site Ta032 had the greatest mutagenic potency in organic extracts of sediments, while for Ta063 it was in extracts

of water. Analyses in the *Allium cepa* test applied to *in natura* sediments showed a significant induction of micronuclei at Ta032. However, bioassays with *Danio rerio* embryos (FET) in the samples of surface water did not detect significant responses. This set of results generated an alert regarding the nature of the complex mixture present at the drinking water abstraction sites, summing up the evidence defined by the GIS analyses as to the predominance of agricultural activities. Besides, at Ta063 industrial activities with a medium to high potential for pollution were found close by. In the second stage of the study (2015), water was investigated before (raw) and after treatment (treated) to look at the influence of the organic load present in this source on the generation of hazardous byproducts during the chlorination process. The samplings were performed in the treatment plants. The results showed that the raw water had less contamination compared to the first stage of the study, and mutagenesis was found only in WTP03, with and without S9. In the samples of treated water significant results were found for the two strains, TA100 being the most sensitive in direct assays. The site with the greatest mutagenic potency was WTP04, followed by WTP02, WTP01 and WTP03. Data of a sampling performed previously at site WTP04 (2015) included in this study showed that the mutagenic compounds in the water treated from this site were already present. Some results observed in the raw and treated water presented different patterns of mutagenesis expected mutagenesis as a result of DBPs formation and detected by the *Salmonella* assay as reported in the literature, causing concern regarding the origin of contaminants present in these samples. The chemical analyses indicated that site WTP04 presented the highest total EM contents, the predominant ones being atrazine, paracetamol and salicylic acid. At the other sites, EMs were also found, WTP02 being the one with the lowest total value in the treated water, representing a 45.3% reduction of EMs compared to the raw one. Although the results of raw water in the second study had less mutagenic potential, the presence of EMs and the mutagenesis responses in the samples of the first stage indicated that contaminants are being carried into the river, be it by domestic sewage, agricultural or industrial activities, and deposited in the sediment. The results of EMs showed that, although they present a reduction in the treated waters compared to the raw ones, they were still present after treatment. Moreover, most of the EMs, except for atrazine, did not contribute to the mutagenesis detected by the *Salmonella* assay, since the raw samples were almost all negative. However, after treatment, mutagenesis was found at all Water Treatment Plants (WTPs), and the EMs may also be reacting with the chlorine, contributing to the

formation of mutagenic DBPs with a different standard from that expected after conventional treatment. Therefore it is necessary to reinforce an alert regarding: the presence of hazardous substances in the areas of study, possibly distributed to the population; the need to control, inspect and establish better standards to preserve aquatic life, conserve the sources and potability of the water distributed to the population.

Key-wors: *Salmonella*/microsome; sediment; organic extracts; emerging micropollutants, DBPs; cytogenetic assays; *Danio rerio*, *Allium cepa*.

LISTA DE ABREVIAÇÕES

2AF - 2aminofluoreno

4NQO - 4oxidonitroquinolina

ANA - Agência Nacional de Águas

ATSDR - Agency for Toxic Substances and Disease Registry

AZS - azida sódica

CAPES - Coordenação de Aperfeiçoamento de Pessoal de Nível Superior

CCA – Arseniato de cobre cromado

CCME - Canadian Council of Ministers of the Environment

CETESB - Companhia Ambiental do Estado de São Paulo

CONAMA - Conselho Nacional do Meio Ambiente

DBPs – Disinfection by-products (Subprodutos de desinfecção)

DCM - diclorometano

DMSO - dimetilsulfóxido

ETA – Estação de Tratamento de Águas

ETARs - Estações de Tratamento de Águas Residuais

ETE - Estações de Tratamento de Esgoto

FEPAM - Fundação Estadual de Proteção Ambiental Luis Henrique Roessler

FET - Fish Embryo Toxicity

HAAAs - Ácidos Haloacéticos

HNMs - Halonitrometanos

HPA/PHA – Hidrocarbonetos Policíclicos Aromáticos

IARC – Agência de Pesquisa sobre o Câncer

IBAMA - Instituto Brasileiro do Meio Ambiente

IBGE – Instituto Brasileiro de Geografia e Estatística

ISQG - Interim Sediment Quality Guidelines

ME - Micropoluentes Emergentes

MN - Micronúcleo

MX - Mutagênico X (Halofuranonas)

MOE/EOM – Massa orgânica extraída

NDMA - N-nitrosodimetilamina

OMS – Organização Mundial da Saúde

ONU - Organização das Nações Unidas

PEL - Probable Effect Level

PCP - Pentaclorofenol

S9 - Fração de Metabolização

US EPA – Agência de Proteção Ambiental dos Estados Unidos

TEL – Threshold Effect Level

TRI - Inventário de Emissões Tóxicas

THMs - Trihalometanos

WHO – World Health Organization

WTP - Water Treatment Plant

LISTA DE FIGURAS

INTRODUÇÃO

Figura 1. Localização das quatro cidades estudadas que utiliza o Rio Taquari como fonte de água potável e seus pontos de captação 28

ARTIGO 1 - Evaluation of effect of hazardous contaminants in areas for the abstraction of drinking water

Figure 1. Study area located in the lower part of the Taquari River and sampling sites in front of the abstraction pump for water supply. The sites were named using the initial letters of the river (Ta)..... 39

Figure 2. Delimitation of the areas according to the drainage of the relief in relation to a sampling site, A = DLA063; B = DLA032; C = DLA011 and D = DLA006. DLA = Delimited area and the numbers show the distance from the mouth in kilometers.....49

Figure A.1. Land use and cover in the areas delimited at the sampling sites in front of the public water supply abstraction pump.....71

ARTIGO 2 - Influência de compostos mutagênicos na água potável de quatro cidades do Rio Grande do Sul, Brasil

Figura 1. Localização dos locais de amostragem para a pesquisa de mutagenicidade em água bruta e tratada de quatro cidades do Vale do Taquari. Ta (letras iniciais do Rio Taquari seguido da sua quilometragem de distância em relação a foz); WTP (water treatment plant sites - ETAs).....82

Figura 2. Comparação da sensibilidade das linhagens de *Salmonella* de acordo com a concentração mutagênica efetiva (CME em L) e a Potência Mutagênica (PM em rev / L) de amostras de água de abastecimento na ausência (-S9) e presença (+ S9) de ativação metabólica.....90

LISTA DE TABELAS

INTRODUÇÃO

Tabela 1. Descrição dos pontos de amostragem, em área de captação de água potável.....	27
---	----

ARTIGO 1 - Evaluation of effect of hazardous contaminants in areas for the abstraction of drinking water

Table 1. Mutagenic and cytotoxic responses of organic sediment extracts (revertants/g equivalents of dry sediment) in the presence and absence of S9 of rat at the sampling sites of Taquari River in the four municipalities investigated	51
---	----

Table 2. Toxicity, cytotoxicity and genotoxicity of sediment samples from the Taquari River in areas from the abstraction of drinking water in the <i>Allium cepa</i> test.....	52
--	----

Table 3. Taquari River sediment metals values at the four drinking water abstraction sites.....	53
--	----

Table 4. Concentration of sixteen priority PAHs ¹ analyzed in organic sediment extract from drinking water abstraction sites on the Taquari River.....	55
--	----

Table 5. Summary of the results obtained in the <i>Salmonella</i> /microsome assay in surface water samples in the presence and absence of human S9 at different abstraction sites for supply in Taquari River, expressed in revertants per liter (rev/L) of water sample.....	56
---	----

Table A.1. Surface occupied by different types of land use and cover in the Taquari-Anta river basin. Total area delimited and delimited areas of the four sites of water supply abstraction.....	72
--	----

Table A.2. Impactful uses and activities in the study regions.....	73
---	----

ARTIGO 2 - Influência de compostos mutagênicos na água potável de quatro cidades do Rio Grande do Sul, Brasil

Tabela 1. Informações sobre amostragem de água bruta e tratada de quatro cidades do Vale do Taquari.	81
--	----

Tabela 2. Resultados obtidos para mutagenicidade de amostras de água bruta e tratada das estações de tratamento de água das quatro cidades em revertentes por litro (rev / L) de água amostrada	89
--	----

Tabela 3. Concentração de Micropoluentes presentes nas estações de tratamento de água das cidades banhadas pelo Rio Taquari.....	92
---	----

SUMÁRIO

Agradecimentos.....	i
Resumo.....	iii
Abstract	vi
Lista de abreviações	ix
Lista de figuras	xi
Lista de tabelas	xii
1. INTRODUÇÃO	14
1.1. Ecossistema aquático.....	14
1.2. Contaminantes presentes no meio aquático	16
1.3. Contaminantes na água potável	20
1.4. Biomarcadores.....	22
1.4.1. Ensaio <i>Salmonella</i> /microssoma.....	23
1.4.2. Ensaio <i>Allium cepa</i>	24
1.4.3. Ensaios FET (Fish Embryo Toxicity) em embriões de <i>Danio rerio</i>	24
2. ÁREA DE ESTUDO	25
3. OBJETIVOS	29
4. ARTIGOS CIENTÍFICOS	31
4.1. CAPÍTULO 1 - EVALUATION OF EFFECT OF HAZARDOUS CONTAMINANTS IN AREAS FOR THE ABSTRACTION OF DRINKING WATER.....	32
ABSTRACT.....	33
1. INTRODUCTION.....	34
2. MATERIALS AND METHODS.....	36
2.1. Study area	36
2.2. Sampling Sites	38
2.3. Geographic Analysis of the area influenced by the sources of pollution.....	39
2.4. Sample Collection	40
2.5. Organic extracts.....	41
2.6. Bioassays.....	42
2.6.1. <i>Salmonella</i> /microsome assay.....	42
2.6.2. <i>Allium cepa</i> assay	43
2.6.3. Fish Embryo Toxicity (FET) assay.....	44
2.7. Chemical Analyses	46
2.7.1. Metals	46
2.7.2. Polycyclic Aromatic Hydrocarbons.....	47
3. RESULTS.....	47
4. DISCUSSION.....	57
5. CONCLUSION.....	63
6. REFERENCES.....	64
7. APPENDICES.....	71
4.2. CAPÍTULO 2 - INFLUÊNCIA DE COMPOSTOS MUTAGÊNICOS NA ÁGUA POTÁVEL DE QUATRO CIDADES DO RIO GRANDE DO SUL, BRASIL.....	74
RESUMO.....	75
1. INTRODUÇÃO.....	76
2. MATERIAIS E MÉTODOS.....	80
2.1. Área de estudo	80
2.2. Coleta das amostras	80
2.3. Extratos orgânicos para testes mutagênicos.....	81
2.4. Ensaio <i>Salmonella</i> /microssoma	83
2.5. Análises química: Micropoluentes Emergentes.....	84
3. RESULTADOS.....	85
4. DISCUSSÃO.....	91
5. CONCLUSÃO.....	98
6. REFERÊNCIAS.....	101
5. CONSIDERAÇÕES FINAIS.....	107
6. REFERÊNCIAS DA TESE.....	112

1 **1. INTRODUÇÃO**

2 **1.1. Ecossistemas aquáticos**

3
4 O Brasil é um dos países que possui a maior disponibilidade de ecossistemas de água
5 doce do mundo. Porém seus diferentes usos dependem muito da qualidade que se apresentam
6 os recursos hídricos (Brasil, 2005). A redução da qualidade dos ecossistemas aquáticos está
7 relacionada a alterações do clima, do solo, da vegetação circundante e principalmente da
8 influência antrópica da região. Também dependem de variações temporais e espaciais sofridas
9 em decorrência de processos internos e externos ao corpo d'água (Meybeck & Helmer, 1992).
10 Estes impactos ecológicos acabam ocasionando desestruturação podendo afetar a composição
11 e estrutura da biota aquática, levando a perda da diversidade e até mesmo extinção de
12 espécies.

13 A influência antrópica é a principal atividade responsável pela deterioração dos
14 mananciais hídricos. As descargas nos ecossistemas aquáticos geralmente são de efluentes de
15 origem agrícola, industrial ou doméstica que liberam elevadas quantidades de nutrientes,
16 como nitrogênio e fósforo. O excesso desses elementos favorece o crescimento de
17 microrganismos fotossintetizantes, afetando a qualidade da água e gerando possíveis
18 problemas à saúde humana (Durigon, 2013). O Inventário de Emissões Tóxicas (Toxic
19 Release Inventory - TRI) da Agência Nacional de Proteção Ambiental dos Estados Unidos
20 (USEPA) de 2017 relatou que mais de 150.000 toneladas de produtos químicos foram
21 descartadas diretamente nos recursos hídricos (USEPA, 2017). Na água, muitos desses
22 agentes reagem com a matéria residual gerando novos compostos perigosos, incluindo os
23 genotóxicos. Estes podem ser adsorvidos no material particulado em suspensão e depositados
24 ao longo do tempo no sedimento.

25 O sedimento dos corpos d'água constitui-se em compartimento importante por
26 representar o histórico da contaminação de muitos poluentes. Além de fornecer habitat,
27 alimentação e áreas de desenvolvimento para muitos organismos aquáticos, têm fundamental
28 importância no estudo da evolução histórica dos ecossistemas aquáticos e dos ecossistemas
29 terrestres adjacentes (Esteves, 1988). Segundo Esteves, (1988), também é importante para a
30 avaliação da intensidade e formas de impacto a que os ecossistemas estão ou estiveram
31 submetidos. Adicionalmente, a análise dos sedimentos fornece uma boa indicação sobre a
32 geologia e a composição química e mineralógica na Bacia Hidrográfica. Especial atenção
33 deve ser conferida à interação entre água e sedimento, pois a interface entre estes dois
34 compartimentos atua ao mesmo tempo como depósito e fonte para os metais presentes no
35 sistema aquático (Förstner & Wittman, 1981). Assim foram desenvolvidos diversos métodos
36 de avaliação da qualidade dos sedimentos, como instrumentos importantes para a proteção e
37 conservação dos ecossistemas e da saúde pública.

38 A frequência dos impactos ecológicos citados acima, somados aos diferentes usos da
39 água pelas atividades antrópicas, tem sido uma preocupação com as bacias hidrográficas
40 brasileiras (Wetzel, 2001, Tundisi & Matsumura-Tundisi, 2008). Há décadas, grandes rios
41 têm sido usados como transporte, irrigação, recreação, pesca e abastecimento de água
42 industrial e potável (Dolédec & Statzner, 2008). A demanda por uso de água no Brasil é
43 crescente, com aumento estimado de aproximadamente 80% no total retirado de água nas
44 últimas duas décadas. A previsão da ANA (Agência Nacional de Águas) é de que, até 2030, a
45 retirada aumente 24%. O histórico da evolução dos usos da água está diretamente relacionado
46 ao desenvolvimento econômico e ao processo de urbanização do país. Atualmente, o principal
47 uso de água no país, em termos de quantidade utilizada, é a irrigação (52%), seguido do
48 abastecimento humano (23,8%) e da indústria (9,1%). Juntos esses usos representam cerca de

49 85% da retirada total (Brasil, 2018). Legislações como a Resolução nº 357/2005 do
50 CONAMA e a Portaria nº 518/2004 do Ministério da Saúde, buscam classificar e proteger as
51 águas dos mananciais, bem como estabelecem normas e padrões para a qualidade da água
52 para consumo humano (Brasil, 2005; Moraes et al., 1999).

53 A água é um elemento fundamental para a manutenção da vida em nosso planeta.
54 Segundo a ONU (Organização das Nações Unidas), cada ser humano necessita de 20 a 50
55 litros de água doce para suprir suas necessidades básicas diárias, distribuídos entre ingestão
56 direta, higiene, saneamento e preparação de alimentos (Brasil, 2006a). A exposição à água
57 contaminada, principalmente através da ingestão de nocivos a saúde, provocam aparecimento
58 de inúmeras enfermidades. A maior parte das doenças transmitidas para o ser humano é
59 causada por microrganismos, particularmente vírus, bactérias, protozoários e helmintos
60 (Brasil, 2006b). A ocorrência desse tipo de doença pode ser minimizada ou até mesmo evitada
61 mediante a adoção de práticas adequadas de saneamento, como, por exemplo, coleta e
62 tratamento de esgotos domésticos e tratamento de águas de abastecimento. Para que os
63 sistemas de abastecimento de água cumpram com eficiência sua função de proteger os
64 consumidores, é essencial um adequado e cuidadoso desenvolvimento de todas as suas fases:
65 a concepção, o projeto, a implantação, a operação e a manutenção. O primeiro passo é a
66 escolha do manancial de onde o sistema será suprido, pois mananciais livres de contaminantes
67 naturais deveriam ser priorizados e protegidos contra a contaminação de natureza química ou
68 biológica provocada pelas diversas atividades antrópicas (Brasil, 2006b).

69

70 **1.2. Contaminantes presentes no meio aquático**

71

72

73 A vulnerabilidade do ambiente aquático às substâncias químicas depende de muitos
74 fatores que envolvem desde as propriedades físicas e químicas dos contaminantes e dos

75 produtos resultantes de sua transformação, além de outros fatores como: duração e tipo de
76 descarga (descarga intermitente ou contínua); propriedades do ecossistema que permitam
77 resistir à presença dos estressores; além da localização do ecossistema em relação ao sítio de
78 lançamento dos contaminantes (Rand & Petrocelli, 1985). Entre os contaminantes presentes
79 no sedimento, água intersticial e superficial estão os compostos orgânicos (como os
80 Hidrocarbonetos policíclicos aromáticos - HPAs, nitroarenos, aminas aromáticas) e os metais
81 pesados. Segundo o TRI de 2002, citado por Chen & White, (2004), aproximadamente 58%
82 do material descartado nos recursos hídricos compreendia uma variedade de compostos
83 orgânicos e 42% de metais e compostos metálicos.

84 Os HPAs são compostos formados por dois ou mais anéis de benzeno condensados,
85 gerados sempre que substâncias orgânicas são expostas a altas temperaturas sob baixo
86 oxigênio ou sem condições de oxigênio (Abdel-Shafy, 2016). Os HPAs estão associados a
87 derramamentos de óleo cru e refinados; compostos formados pela combustão de combustíveis
88 fósseis, incineração de resíduos, queima de biomassa e produção de asfalto (Hong et al.,
89 2016). Vários produtos industriais são derivados do alcatrão de carvão, incluindo combustível
90 para automóveis, fertilizantes e creosoto de alcatrão, um destilado complexo de alcatrão de
91 carvão usado para a preservação da madeira (IARC, 2010). Vários HPAs apresentam
92 características citotóxicas, mutagênicas e carcinogênicas (IARC, 2010), e alguns foram
93 reconhecidos recentemente como disruptores endócrinos (WHO, 2013). HPAs e seus
94 derivados estão associados ao aumento da incidência de diversos tipos de câncer no homem
95 (Pereira Netto et al., 2000).

96 A contribuição de nitrocompostos no potencial mutagênico de ambientes aquáticos,
97 principalmente dos sedimentos fluviais, foram relatados no Lago Ontário (Canadá) (Marvin et
98 al., 2000), Rio Pô (Itália) (Vigano et al., 2001), e no Rio Cristais (Brasil) (Umbuzeiro et al.,

99 2004). Entre esses compostos, os nitroareenos incluem uma grande classe de moléculas
100 encontradas nas emissões de particulados de fontes de combustão, como os escapamentos de
101 diesel. Juntamente com aminas aromáticas, elas são produzidas durante os processos de
102 fabricação nas indústrias de corantes, pesticidas e plásticos. Também podem resultar de
103 reações atmosféricas envolvendo HPAs adsorvidos em partículas de ar e NO₂ (Claxton &
104 Woodall, 2007). A atividade mutagênica dos nitroareenos está bem estabelecida e
105 documentada (Tokiwa et al., 1987; Claxton & Woodall, 2007; Lemos et al., 2016).

106 Os metais são considerados como os principais compostos tóxicos e genotóxicos
107 presentes nas frações hidrossolúveis. Devido à suas propriedades químicas e capacidade de
108 catalisar reações redox *in vivo*, os metais são microelementos essenciais para múltiplas
109 funções fisiológicas. Também têm a capacidade de iniciar reações de auto-oxidação que
110 levam à formação de oxigênio reativo. Arsênio, cádmio, cromo, cobalto e níquel foram
111 identificados como mutagênicos e carcinogênicos para humanos e animais, enquanto o ferro e
112 o cobre estão sendo pesquisados por induzir riscos genéticos a longo prazo (Asakura et al.,
113 2009).

114 A crescente produção e consumo de produtos químicos tem sido associada à presença
115 de novas substâncias no ambiente. Essas substâncias são móveis, onipresentes, persistentes e
116 bioacumulativas na biota e tecido humano, levantando assim uma série de questões sobre os
117 riscos para o ser humano (Fawell & Ong, 2012; Focazio et al., 2008; Nam et al., 2014).
118 Avanços nas técnicas de análises químicas têm detectado uma ampla quantidade de
119 compostos previamente indetectáveis no ambiente aquático, sendo estes identificados e
120 quantificados em baixas concentrações de microgramas ou nanogramas por litro (Fawell &
121 Ong, 2012; Rivera-Utrilla et al., 2013). Estes são os micropoluentes (ME), também
122 denominados contaminantes emergentes, que consistem em um amplo e crescente conjunto de

123 substâncias naturais e antropogênicas. Entre eles estão os produtos farmacêuticos, de cuidados
124 pessoais, hormônios esteróides, disruptores endócrinos, substâncias químicas industriais e
125 pesticidas (Luo et al., 2014). Em vários países as estações de tratamento de águas residuais
126 (ETARs) ainda não são projetadas para eliminar micropoluentes. Assim, muitos desses são
127 capazes de passar pelos processos de tratamento de águas residuais devido à sua persistência
128 ou introdução contínua. Além disso, as precauções e ações de monitoramento para
129 micropoluentes não estão bem estabelecidas na maioria das ETARs (Bolong et al., 2009).
130 Conseqüentemente, muitos desses compostos podem chegar ao ambiente aquático, tornando-
131 se ameaças à biota e comprometimento da qualidade da água potável. A ocorrência de
132 micropoluentes nesses ambientes tem sido frequentemente associada a vários efeitos
133 negativos, incluindo toxicidade a curto e a longo prazo, desregulação endócrina, resistência de
134 microrganismos à antibióticos, além de efeitos mutagênicos, carcinogênicos e
135 teratogênicos (Fent et al., 2006; Pruden et al., 2006; Guillén et al., 2012).

136 As fontes de entrada desses compostos no meio aquático estão relacionadas,
137 principalmente, com a maneira inadequada de descarte de resíduos, sejam de origem
138 industrial, agrícola, hospitalar e doméstica. Ainda existem as formas indiretas, através das
139 fezes e urina após o seu consumo por seres humanos e animais (no caso de medicamentos), o
140 que é evidentemente mais difícil de prevenir. Dentre os MEs detectados na água destacam-se:
141 os fármacos (paracetamol, ácido acetilsalicílico, diclofenaco, tetraciclinas, amoxicilina,
142 cafeína), os pesticidas (atrazina, diuron, 2-nitrofenol e 4-nitrofenol) e outros fenóis. Até o
143 momento, não existem diretrizes e padrões de descarga para a maioria dos micropoluentes.
144 Para estabelecer limites regulatórios, pesquisas adicionais sobre respostas biológicas a esses
145 compostos (efeitos de curto e longo prazo) são de particular importância (Tijani et al., 2016).

146

147 **1.3. Contaminantes na água potável**

148
149 A desinfecção da água foi um dos mais importantes avanços em saúde pública dos
150 tempos modernos. Assim, muitos dos efeitos associados à transmissão de doenças infecciosas
151 pela água foram significativamente reduzidos (embora em muitas regiões do mundo ainda
152 exista precariedade no fornecimento de água) (WHO, 2015). No entanto, desinfetantes
153 químicos reagem com matéria orgânica e íons inorgânicos presentes na água bruta, formando
154 novas espécies químicas, os subprodutos da desinfecção da água (DBPs). Nos últimos 40
155 anos, pesquisas verificaram potenciais riscos para a saúde apresentados por esses compostos
156 como: aumento de casos de câncer de bexiga, complicações do desenvolvimento e reprodução
157 dos organismos (Grellier et al., 2015; Legay et al., 2010; Nieuwenhuijsen et al., 2013).

158 No tratamento convencional de água são utilizados processos físico-químicos para a
159 potabilização, dentre as quais as unidades de clarificação (floculadores, decantadores e
160 filtros), de desinfecção (cloradores e aminoadores), correção do pH e fluoretação. Assim
161 como nas ETE (Estações de Tratamento de Esgoto), os processos convencionais de
162 tratamento nas ETA (Estações de Tratamento de Água) não têm sido eficientes para a
163 eliminação de todos contaminantes presentes na água bruta (Wang et. al., 2011; Stackelberg
164 et. al., 2007; Bodzek e Dudziak, 2006). Portanto, as extensas revisões de Richardson et al.
165 (2007) e Córtes & Marcos (2018) descreveram informações relevantes sobre substâncias
166 tóxicas, genotóxicas e efeitos cancerígenos dos DBPs. Mais de 600 DBPs já foram
167 identificados, mas apenas alguns deles foram analisados quanto ao seu potencial citotóxico,
168 genotóxico e impactos na saúde (Plewa et al, 2008; Cemeli et al., 2006; Plewa & Wagner,
169 2011). O cloro é o desinfetante mais comumente utilizado e tem sido associado à formação de
170 trihalometanos (THMs), ácidos haloacéticos (HAAs), halonitrometanos (HNMs),
171 haloacetonitrilos, cloraminas, clorofenóis, os chamados Mutagênico X (MX), entre outros

172 (Cortés & Marcos, 2018). Apesar do grande número de DBPs formados durante a
173 desinfecção, estudos avaliando a mutagenicidade de DBPs individuais em bactérias se
174 concentraram principalmente nas N-nitrosaminas (N-nitrosodimetilamina - NDMA) e nas
175 halofuranona, MX (Cortés & Marcos, 2018).

176 Assim como na água superficial (bruta), os MEs também têm sido encontrados na
177 água potável. Embora Westerhoff et al. (2005) tenham mostrado que a presença da etapa de
178 cloração promove uma redução de 20 a 90 % nos níveis de concentração, dependendo das
179 características de cada composto, estudos relataram que o tratamento não tem sido eficiente
180 para eliminação de inúmeros micropoluentes (Wang et. al., 2011; Stackelberg et. al., 2007;
181 Bodzek e Dudziak, 2006). A formação de DBPs potencialmente perigosos durante o processo
182 de desinfecção tem sido uma preocupação mundial. Diante disso, Postigo & Richardson
183 (2014) relataram que analgésicos como paracetamol (acetaminofeno) mostraram que sua
184 reação com o cloro tem formado numerosos subprodutos, sendo dois deles considerados
185 compostos tóxicos. Ainda verificou-se que a cloração do diclofenaco forma pelo menos cinco
186 novos subprodutos (Bedner & MacCrehan, 2006).

187 A atrazina é um dos herbicidas mais consumidos no Brasil (IBAMA, 2010). Sua
188 principal via de exposição ao Homem é a ingestão de água tratada, uma vez que a exposição
189 por alimentos não é significativa (ATSDR, 2008), além do que as estações de tratamento de
190 água não são capazes de remover este contaminante com eficiência (Benotti et al., 2009;
191 Verliefde et al., 2007; Quintana et al., 2001). A cafeína, presente em produtos alimentícios e
192 medicamentos, tem sido usada como traçador de contaminação por esgoto doméstico em
193 situações onde há vazamentos na rede coletora capazes de atingir outros cursos d'água. É
194 considerado um marcador químico sensível e específico que pode ser detectado rapidamente,

195 pois se apresenta em altas concentrações no esgoto, é estável e bastante solúvel em água
196 (Raimundo, 2011).

197 Com base em resultados epidemiológicos, vários países e organizações internacionais
198 criaram diretrizes e regulamentos que estabelecem níveis máximos de diferentes DBPs,
199 particularmente os mais abundantes. Apesar desses esforços, apenas alguns dos DBPs
200 atualmente conhecidos foram analisados e regulamentados (Cortés & Marcos, 2018). Nos
201 EUA, a USEPA tem a responsabilidade de proteger as águas superficiais e subterrâneas do
202 país, para fornecimento de água potável segura para consumo público (Warren et al., 2015).
203 A USEPA determina os níveis máximos de 11 DBPs na água potável, enquanto as diretrizes
204 da OMS (Organização Mundial da Saúde) incluem 14 DBPs (Richardson et al., 2007). No
205 Brasil alguns subprodutos, de grupos químicos específicos, são regulamentados na Resolução
206 nº 357/2005 para Água doce e potável (Brasil, 2005). Dentre eles estão os HPAs, orgânicos
207 halogenados alcalinos, compostos aromáticos halogenados e os THMs. Os MEs são
208 considerados compostos relativamente “novos” e pouco regulamentados mundialmente.

209 **1.4. Biomarcadores**

210 Os biomarcadores são considerados excelentes indicadores precoces de contaminação,
211 sendo ferramentas importantes na adoção de medidas preventivas aos danos causados pela
212 poluição ambiental. Isto ocorre porque efeitos em níveis superiores de organização biológica
213 são precedidos por mudanças nos processos biológicos, de forma que os biomarcadores
214 servem como um alerta precoce de efeitos tardios (Bayne et al., 1985; Van der Oost et al.,
215 2003). A utilização de biomarcadores de genotoxicidade é apropriada para a análise de risco
216 relativo no ambiente e vários estudos relacionam danos no DNA com subsequentes alterações
217 a nível molecular, celular e tecidual nos organismos (Ohe et al., 2004).

1.4.1. Ensaio *Salmonella*/microssoma

219 O método é amplamente utilizado para identificar atividade mutagênica em amostras
220 ambientais, além de auxiliar na comparação de sítios, identificação de fontes e possíveis
221 carcinógenos presentes em misturas ambientais complexas (Claxton et al., 2010). As
222 linhagens de *Salmonella*, auxotróficas para histidina apresentam mutações preexistentes no
223 operon deste aminoácido, sendo incapazes de crescer em meio sem histidina, a menos que
224 ocorram mutações reversas e a capacidade de sintetizar o aminoácido seja restaurada. A
225 resposta do ensaio é avaliada em número de colônias revertentes por concentração testada.
226 Diversas linhagens foram projetadas para detectar uma ampla variedade de compostos.

227 Os compostos orgânicos semi-voláteis e não-voláteis de natureza polar e apolar,
228 extraídos pelas resinas Amberlite XAD a partir de grandes volumes de água, tem evidenciado
229 potencialidade tóxica e genotóxica em diversos tipos de ensaios, sendo diagnosticados como
230 mutagênicos no ensaio *Salmonella*/microssoma (Zeiger, 1998; Mortelmans & Zeiger, 2000).
231 No entanto, devido a muitos cancerígenos atuarem em mecanismos mutagênicos, a maioria
232 dos agentes cancerígenos orgânicos mutagênicos são positivos no ensaio de *Salmonella*
233 (Zeiger, 1998). Diante desse fato, este ensaio é utilizado, no presente contexto, em muitos
234 trabalhos com diferentes matrizes ambientais, tais como para águas superficiais (Ohe et al.,
235 2004; Vargas et al., 2008), sedimentos (Chen & White, 2004; Tagliari et al., 2004), água
236 potável (Richardson et al., 2007; Pereira et al., 2007; Córtes & Marcos, 2018), solo (White &
237 Claxton, 2004; Pohren et al., 2012) e ar (Claxton et al., 2004; Coronas et al., 2013).

241 **1.4.2. Ensaio *Allium cepa***

242 O emprego de vegetais como organismos teste tem sido indicado e validado por
243 diversas agências de proteção ambiental, como o UNEP (Programa Ambiental das Nações
244 Unidas), OMS e a USEPA. Os testes mais indicados para o estudo do monitoramento
245 ambiental são aqueles de fácil execução e com boa capacidade de gerar resultados rápidos
246 (Fiskejo, 1985). Dentre os vegetais superiores, a *Allium cepa* tem sido frequentemente
247 utilizada por apresentar seus cromossomos com número reduzido e de grande tamanho,
248 facilitando a análise (Fiskejo, 1985), além de alta sensibilidade na detecção de produtos
249 químicos ambientais (Leme & Marin-Morales, 2009), tem sido empregada, na avaliação de
250 sedimentos *in natura* e solos (Chen & White, 2004; White & Claxton, 2004). É utilizado para
251 estudar as atividades citotóxicas, genotóxica e mutagênica por meio de parâmetros avaliados
252 como aberrações cromossômicas e micronúcleo (Ma et al., 1995).

253 A análise de micronúcleo (MN) é um método citogenético eficiente para a avaliação
254 de alterações cromossômicas. O MN é formado por fragmentos de cromossomos ou
255 cromossomos inteiros que não foram incorporados ao núcleo no momento da mitose (Fenech
256 & Bonassi, 2011). O teste para detecção do MN tem sido sensível ao efeito da contaminação
257 nos diversos compartimentos ambientais (Bonassi et al, 2007; Holland et al., 2008; Fenech &
258 Bonassi, 2011). Os MNs aparecem a partir do desenvolvimento de algumas alterações
259 cromossômicas, por exemplo, quebras e perdas cromossômicas (Leme & Marin-Morales,
260 2009).

261 **1.4.3. Ensaios FET (Fish Embryo Toxicity) em embriões de *Danio rerio***

262 O uso de peixes como indicadores da qualidade ambiental oferece vantagens específicas
263 porque estes, além de apresentarem sensibilidade aos impactos sobre o ambiente aquático,

264 respondem a agentes tóxicos de forma semelhante a outros vertebrados superiores, incluindo
265 mamíferos. Permite avaliação de potenciais efeitos teratogênicos, mutagênicos e
266 carcinogênicos não apenas para peixe, mas também possivelmente para os seres humanos
267 (Lemos et al., 2007). Zebrafish (*Danio rerio*), é um pequeno teleósteo (3 a 4 cm), de
268 ambiente tropical de água doce amplamente utilizado em estudos comportamentais, genéticos,
269 toxicológicos e para desvendar o mecanismo de diversas doenças humanas bem como testar
270 novos agentes terapêuticos (Lieschke & Currie, 2007; Kari et al., 2007). As principais
271 justificativas para isso decorrem de os peixes serem de pequeno porte, de manutenção fácil,
272 econômicos para criação e com alta taxa reprodutiva. Uma alternativa a substituição dos
273 ensaios convencionais com organismos-teste adultos a OECD 236 (OECD, 2013) elaborou
274 um protocolo para ensaios de toxicidade aguda de 96 horas que utiliza embriões recém-
275 fertilizados. Este tipo de ensaio tem se apresentado como uma ferramenta promissora para
276 substituir os ensaios agudos baseados em peixes adultos (Braunbeck et al, 2005; Nagel, 2002).
277 A fertilização dos ovos do zebrafish é externa, e os embriões apresentam uma série de
278 características que os tornam próprios para modelo de estudo. Dentre tantos fatores
279 relevantes, podem ser citados: córion translúcido, resistência à manipulação, genoma
280 sequenciado, extensa homologia genética com outras espécies de vertebrados inclusive
281 humanos (Kimmel et al, 1995; Long et al., 1997; Barbazuk et al., 2000; Briggs, 2002;
282 Grunwald & Eisen, 2002; Schneneider et al., 2009; Dammski et al., 2011; Huszno & Klag,
283 2012; Stuelten et al., 2018).

284 **2. Área de estudo**

285 A área onde o estudo foi realizado está localizada na porção mais baixa do Rio
286 Taquari, pertencente à Bacia Hidrográfica Taquari-Antas, situada no estado do Rio Grande do
287 Sul - Brasil, entre as coordenadas 28°10'S a 29°57'S e 49°56'W a 52°38'W. Bom Retiro do

288 Sul, Taquari, Triunfo e General Câmara pertencem à região do Vale do Taquari, com fonte
289 econômica a partir do agronegócio, produção de alimentos e indústrias (Tabela 1). A área
290 total deste rio é de 2.640.930,40 ha e a de interesse neste trabalho abrange uma área
291 de 292.555,70 ha compreendendo as sub-bacias do Arroio Sampaio/Estrela e do Baixo
292 Taquari (RS, 2012). Estudos anteriores verificaram evidências de contaminação no sedimento
293 deste rio próximo à área com solo contaminado com passivo ambiental de preservantes de
294 madeira (pentaclorofenol, creosoto e arseniato de cobre cromado - CCA) (Costa et al., 2012;
295 2017; Gameiro et al., 2018a; Pohren et al., 2012). Estes produtos apresentam reconhecida
296 ação tóxica e genotóxica (Appel et al., 2007). Gameiro et al. (2018a) ainda detectou
297 mutagênese nas diferentes fases do processo de remediação do sítio de solo contaminado e
298 também mostrou evidências de contaminação por agentes mutagênicos em local de captação
299 de água potável. Entre as áreas avaliadas, o Ta006 (Ta significa as iniciais do rio seguidas
300 pela quilometragem de distância em relação à foz), situado em General Câmara, 4 km à
301 jusante de sítio contaminado e Ta032, a 21 km à montante deste sítio, fora de sua área de
302 influência.

303 A escolha dos locais levou em consideração a qualidade dos sedimentos e água,
304 focando áreas de captação de água potável das quatro regiões da bacia (Figura 1). Tendo por
305 base a Resolução CONAMA nº 357/2005 (Brasil, 2005), que estabelece os padrões de
306 qualidade da água e os limites para seus diferentes usos, o Comitê da Bacia do Rio Taquari-
307 Antas, em 2012 (RS, 2012), evidenciou que a região do Baixo Taquari (engloba Taquari,
308 Triunfo e General Câmara), atualmente apresenta qualidade de uso compatível com classe 4
309 (classe não adequada para captação de água potável), tendo como proposta de enquadramento
310 para 10 anos, a classe 3 (destinada à dessedentação de animais e ao abastecimento para
311 consumo humano, após tratamento convencional ou avançado) e em 20 anos, a classe 2

312 (destinada à proteção das comunidades aquáticas e ao abastecimento para consumo humano,
313 após tratamento convencional). Já a sub-bacia do Arroio Sampaio/Estrela, que atualmente
314 apresenta qualidade de uso compatível com classe 3, tem na portaria de enquadramento para
315 10 anos manter a classe 3 e, em 20 anos, classe 2. Estes enquadramentos têm por base os
316 níveis de qualidade para atender as necessidades futuras, definidas pela sociedade.

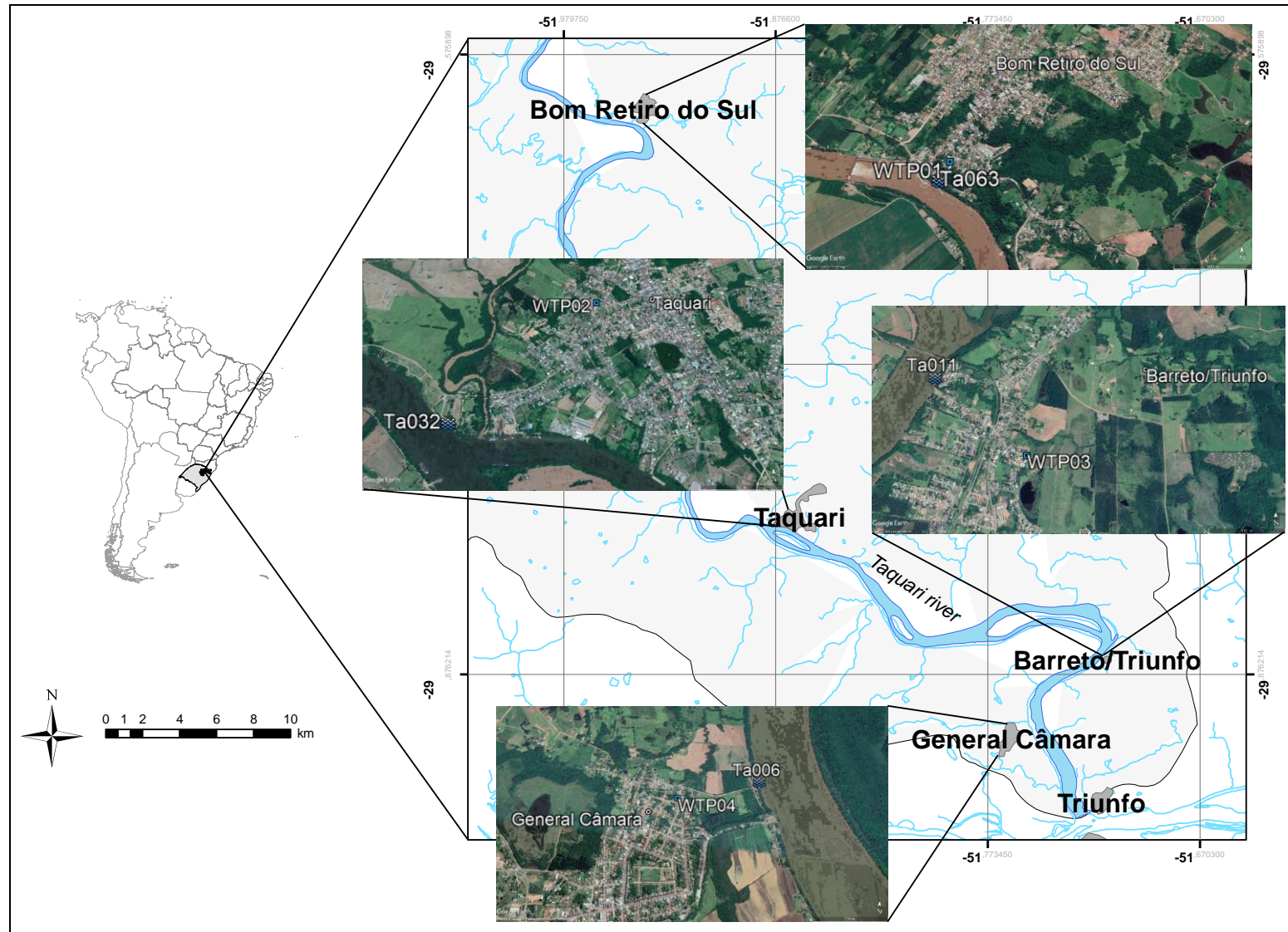
317 As amostras de água e sedimento da primeira etapa do estudo foram coletadas às
318 margens do Rio Taquari em frente à bomba de captação de água e na segunda etapa, as águas
319 antes e depois do tratamento convencional, foram coletadas dentro das estações de tratamento
320 (water treatment plant sites = WTP).

321 **Tabela 1** – Descrição dos pontos de amostragem, em área de captação de água potável

Captação de água	Coordenadas	ETAS	Coordenadas	Cidades
Ta063 ^a	29°36'36.62"S; 51°56'36.04"W	WTP01 ^b	29°36'33.08"S; 51°56'35.17"W	Bom Retiro do Sul
Ta032	29°48'21.86"S; 51°52'50.86"W	WTP02	29°47'53.93"S; 51°52'11.69"W	Taquari
Ta011	29°51'58.5"S; 51°42'55.82"W	WTP03	29°52'18.57"S; 51°42'33.75"W	Distrito de Barreto/ Triunfo
Ta006	29°54'3.10"S; 51°45'9.30"W	WTP04	29°54'8.88"S; 51°45'34.57"W	General Câmara

322 ^aTa: letras iniciais do rio (Ta) seguidos da quilometragem de distância em relação à foz.

323 ^bWTP: estações de tratamento de água.



324

325

326

327

Figura 1. Localização das quatro cidades estudadas que utilizam o Rio Taquari como fonte de água potável e seus pontos de captação.
 Ta: letras iniciais do rio (Ta) seguidos da quilometragem de distância em relação à foz;
 WTP: estações de tratamento de água.

328 **3. OBJETIVOS**

329 **3.1. Geral**

330 Analisar a presença de contaminantes em locais de captação de água potável,
331 definindo as fontes e os efeitos tóxicos e genotóxicos desses estressores como um parâmetro
332 de qualidade para o ecossistema, sua influência na água tratada e possíveis reflexos para a
333 saúde humana.

334 **3.2. Específicos**

- 335 • Realizar o mapeamento de uso e ocupação do solo nas áreas de interesse através de
336 ferramentas de geoprocessamento rastreando possíveis fontes de contaminantes;
- 337 • Verificar a presença de contaminantes através de indicadores biológicos para
338 toxicidade aguda e crônica em amostras de água e genotoxicidade em sedimento do
339 Rio Taquari, contribuindo no planejamento das metas de qualidade para o seu
340 enquadramento na Resolução CONAMA nº 357/2005;
- 341 • Avaliar a mutagenicidade de extrato orgânico de sedimento do rio Taquari através do
342 ensaio *Salmonella*/microssoma como parâmetro precoce no diagnóstico da qualidade
343 ambiental;
- 344 • Associar a qualidade da água tratada com o grau de contaminação dos mananciais na
345 área de captação de água potável;
- 346 • Analisar o potencial genotóxico de extratos orgânicos de amostras de grandes volumes
347 de água destinadas ao abastecimento público, como possível indicativo de perigo à
348 saúde humana;

- 349 • Avaliar os extratos de água após tratamento convencional para abastecimento quanto à
350 permanência de genotoxinas presentes na água superficial em áreas impactadas por
351 diferentes atividades antrópicas;
- 352 • Relacionar os efeitos tóxicos e genotóxicos com compostos químicos presentes nas
353 áreas e subprodutos gerados na água tratada;
- 354 • Avaliar a presença de micropoluentes emergentes na água antes e após tratamento;
- 355 • Discutir junto com órgãos responsáveis pela preservação ambiental, saneamento e
356 saúde medidas saneadoras visando garantir a qualidade do ecossistema e seu reflexo
357 no abastecimento público.

358

359

360

361

362

363

364

365

366

367

368

369

370

371

372

373

374

375

376

377

378

379

380

381

382

383

384

385

386

387

388

389

390

391

392

393 **4. ARTIGOS CIENTÍFICOS**

394 Esta tese permitiu a elaboração de dois capítulos correspondentes aos artigos
395 científicos resultantes do projeto desenvolvido.

396 O primeiro artigo “*Evaluation of effect of hazardous contaminants in areas for the*
397 *abstraction of drinking water*”, submetido à revista Environmental Research, investigou a
398 presença de contaminantes em locais de captação de água potável, definindo as fontes e os
399 efeitos mutagênicos desses estressores como um parâmetro de qualidade para o ecossistema e
400 possíveis reflexos para a saúde humana.

401 O segundo artigo “*Influência de compostos mutagênicos na água potável de quatro*
402 *cidades do Rio Grande do Sul, Brasil*” analisou a influência da carga orgânica presente na água
403 do Rio Taquari, através do ensaio *Salmonella/microssoma*, na qualidade da água potável
404 distribuída para a população da região do Vale do Taquari e a presença de subprodutos
405 genotóxicos gerados durante o processo convencional de tratamento.

406

407

408

409

410

411

412

413

414

415

416 **4.1. Capítulo 1 - Evaluation of effect of hazardous contaminants in areas**
417 **for the abstraction of drinking water**

418
419 Paula Hauber Gameiro ^a, Kauê Hohn Assis ^b, Heinrich Hasenack ^c, Alexandre Arenzon ^c,
420 Kewen Ubirajara Dias Silva ^b, Clarice Torres de Lemos ^b, and Vera Maria Ferrão Vargas^{ab,c*}

421
422 ^aPrograma de Pós-graduação em Ecologia, Universidade Federal do Rio Grande do Sul
423 (UFRGS), Av. Bento Gonçalves, 9500, 91501-970, Cx Postal 15007, Porto Alegre, RS, Brazil

424 ^bDivisão de Laboratórios, Fundação Estadual de Proteção Ambiental Henrique Luís Roessler
425 (FEPAM), Rua Aurélio Porto, 37, 90620-090, Porto Alegre, RS, Brazil.

426 ^cCentro de Ecologia (UFRGS), Av. Bento Gonçalves, 9500. Setor 4, prédio 43411, 91.501-
427 970, Campus do Vale, Porto Alegre, RS, Brazil.

428
429 *Programa de Pós-graduação em Ecologia
430 Universidade Federal do Rio Grande do Sul (UFRGS)
431 Av. Bento Gonçalves, 9500, Cx Postal 15007, 91501-970, Porto Alegre, RS, Brazil
432 E-mail verafvargas@gmail.com.

453 **Abstract**

454

455 The lower portion of Taquari River is influenced by compounds from anthropic
456 activities causing concern about the drinking water supplied to cities in the region. The study
457 objective was to investigate the presence of contaminants at drinking water abstraction sites,
458 defining the mutagenic effects of these stressors as a quality parameter for the ecosystem and
459 possible effects on human health. Geographic Information System techniques were used to
460 investigate sources of contamination and it was found that agricultural activities predominated
461 with a few, medium and high potential pollutant agricultural activities, besides an area of soil
462 contaminated and undergoing an intervention process. Mutagenic effects were evaluated by
463 *Salmonella*/microsome assay using TA98, TA97a, TA100, YG1041 and YG1042 strains in
464 the presence and absence of metabolic activation (S9). Mutagenesis found in organic extracts
465 of sediment and surface water samples showed the prevalence of direct-acting mutagens at the
466 drinking water abstraction sites. Taquari (Ta032, the sampling points were named according
467 to the initial letters of the river (Ta), followed by the number of kilometers away from the
468 mouth) showed the highest mutagenic potency in sediment, while Ta063, at Bom Retiro do
469 Sul, presented it in the water sample. In the Triunfo region (Ta011) there were significant
470 responses in sediment and in water samples. The samples at General Câmara (Ta006) showed
471 the least presence of contaminants. The *Allium cepa* test applied to sediments *in natura*
472 showed significant micronucleus induction in Ta032 in accordance with the
473 *Salmonella*/microssome assay. The test performed on *Danio rerio* embryos (FET) in the *in*
474 *natura* water samples did not present significant responses. Chemical analyses of polycyclic
475 aromatic hydrocarbons and metals already identified as chemical markers in the area indicated
476 a small contribution to the mutagenic potency, calling attention to the fact that other direct-
477 acting pollutants may be present at the drinking water abstraction sites.

478 **Key words:** Aquatic contaminants, organic extracts, rainwater runoff, water treatment plant,
479 *Salmonella*/microsome assay, *Allium cepa* test, genotoxic compounds, sediment.

486 **1. Introduction**

487 The aquatic ecosystem receives a large amount of pollutants from natural processes and
488 especially from human activities. Mostly these substances enter the surface water through
489 treated and non-treated residual waters of industries, agriculture, hospitals and domestic
490 effluents (Hug et al., 2015). Once in the environment, the contaminants are subject to a
491 combination of abiotic and biotic processes that affect their destination and behavior (Holt,
492 2000). Some of them resist the degradation processes and therefore can persist in the
493 environment for long periods, such as polycyclic aromatic hydrocarbons (PAHs), pesticides,
494 pharmaceutical products and products for personal use. PAHs are classified by the European
495 Union and by USEPA (United States Environmental Protection Agency) as priority
496 environmental pollutants, because of their mutagenic impact on humans (Song et al., 2009).
497 Some of them are also classified as human carcinogens by the IARC (International Agency
498 for Research on Cancer) (IARC, 2010). Metals, which are more than 40% of the carcinogenic
499 materials released into surface waters (Chen & White, 2004), are currently considered the
500 main toxic and genotoxic compounds present in the water-soluble fractions (Rigaud et al.,
501 2012).

502 The consequences of a given pollutant depend on its concentration, source, properties
503 of the water bodies and their uses. Different studies showed that sources of contamination
504 with toxic substances induce genetic and toxicological damage (Cardozo et al., 2006; Stahl,
505 1991; Valent et al., 1993; Vargas et al., 1995). The assays performed with bacteria such as
506 *Salmonella*/microsome; micronuclei in plants and Zebrafish (*Danio rerio*) have been utilized
507 as methods to analyze the ecogenotoxicity in the aquatic environment (Fenech, 1993; Li et al.,
508 2007; Monica et al., 1995; Xing et al., 2002; Costa et al., 2012; 2017).

509 *Salmonella*/microsome is a widely accepted short-term assay to identify substances
510 that may produce genetic damage (Mortelmans & Zeiger, 2000). It is used worldwide to
511 detect the mutagenicity of complex mixtures dispersed in water, sediment, soil and air (Chen
512 & White, 2004; Claxton et al., 2004; Ohe et al., 2004; White & Claxton, 2004). Many
513 carcinogenic compounds are inactive until they are enzymatically transformed into an
514 electrophilic species, which can bond covalently to DNA, leading to mutation (Hakura et al.,
515 2005). Thus, metabolic activation is considered a critical step for mutation, and especially
516 human S9 fractions have been used to predict the metabolism of drugs in humans, since they
517 reproduce this response more faithfully (Hakura et al., 2005). Besides, these authors showed
518 that each S9 fraction of different organisms produces different rates of damage to DNA,
519 detected by *Salmonella typhimurium* strains. In the literature these strains have been
520 considered sensitive to the presence of environmental contaminants, including metals (direct
521 assays) and PAHs (associated with metabolic activation) (Chen & White, 2004; Pohren et al.,
522 2012; Coronas et al., 2013).

523 The *Allium cepa* test was used, employing meristematic cells to detect environmental
524 pollutants present in water, sediment and soils (Fernandes et al., 2007; Leme & Marin-
525 Morales, 2009; Pohren et al., 2013; Costa et al., 2012; 2017). The test allows evaluating
526 parameters that measure toxicity, such as changes in germination, root growth and cell
527 division, as well as genotoxicity, such as chromosomal aberrations and micronuclei in plant
528 cells (Grant, 1994; Leme & Marin-Morales, 2009; Nunes et al., 2011). Tests in fish have been
529 used to evaluate acute and chronic toxicity and have been accepted as representative of the
530 vertebrates for aquatic environments (Lammer et al., 2009; Henn & Braunbeck, 2011).
531 Moreover, they allow estimating the potential toxic, embryogenic and teratogenic effects not
532 only in fish but also in human beings (Lemos et al., 2007). Fish embryos are a promising tool

533 to substitute the acute tests based on adult fish (Braunbeck et al., 2005; Nagel, 2002), and
534 have the advantage of examining different parameters in a single test.

535 Taquari River regions in the Taquari Antas River Basin have been impacted by
536 different human activities. Due to local geology and deforestation, this river (approximately
537 500 km long) receives a large contribution of agricultural, livestock, industrial and domestic
538 wastes through rainfall runoff (Zanotelli et al., 2004). Gameiro et al. (2018a) showed
539 evidence of contamination by mutagenic agents at drinking water abstraction sites. The use of
540 water from this source, according to current law (Brasil, 2005) must preserve the quality of
541 public supply after conventional treatment (flocculation, filtration and chlorination).

542 Hence this study looked at the presence of contaminants at drinking water abstraction
543 sites, defining the sources and mutagenic effects of these stressors as a quality parameter for
544 the ecosystem and possible reflections on human health.

545 **2. Materials and methods**

546 **2.1. Study area**

547 The study was performed in the lower portion of the Taquari River belonging to the
548 Taquari-Antas River Basin located in the state of Rio Grande do Sul-Brazil between
549 coordinates 28°10'S to 29°57'S and 49°56'W to 52°38'W. The total area of this river is
550 2,640,930.40 ha and the area of interest covers 292,555.70 ha comprising the sub-basins of
551 Sampaio/Estrela stream and the Lower Taquari (RS, 2012). Sediment and water quality were
552 taken into account focusing on drinking water abstraction areas of four regions in the basin
553 (Figure 1).

554 Based on CONAMA Resolution nº 357/2005 (Brasil, 2005), establishing water
555 quality standards and limits of different uses, the Taquari-Antas River Basin Committee, in
556 2012 (RS, 2012) evidenced that the quality of the Lower Taquari is currently compatible with

557 class 4 (a class that is not adequate for drinking water), aiming at the classification for 10
558 years in class 3 (for watering animals and water supply for human consumption after
559 conventional or advanced treatment) and in 20 years time to class 2 (to be used to protect the
560 aquatic communities and human consumption supply after conventional treatment).
561 Conversely the Sampaio/Estrela stream sub-basin, whose quality of life is currently
562 compatible with class 3, in the administrative ruling for 10 years must maintain class 3 and, in
563 20 years time, class 2. These classifications are based on the levels of quality to meet future
564 needs defined by society.

565 Evidence of contamination in the Taquari river sediment was found at various
566 locations around the contaminated area with environmental damage due to wood
567 preservatives (with pentachlorophenol, creosote and chrome copper arsenate - CCA), and
568 acknowledged toxic and genotoxic action, which underwent the first stage of removal of these
569 contaminants (Appel et al., 2007; Costa et al., 2012; Gameiro et al., 2018a; Pohren et al.,
570 2012). Among the areas evaluated, two places were used for drinking water abstraction
571 Ta006, located at General Câmara, 4 km downstream from the contaminated site and Ta032,
572 21 km upstream from this site, outside its influence area. This region has been investigated in
573 recent years in a program developed by the FEPAM (Environmental Agency of the State of
574 Rio Grande do Sul) and the Post Graduate course in Ecology Program (UFRGS).

575

576

577

578

579

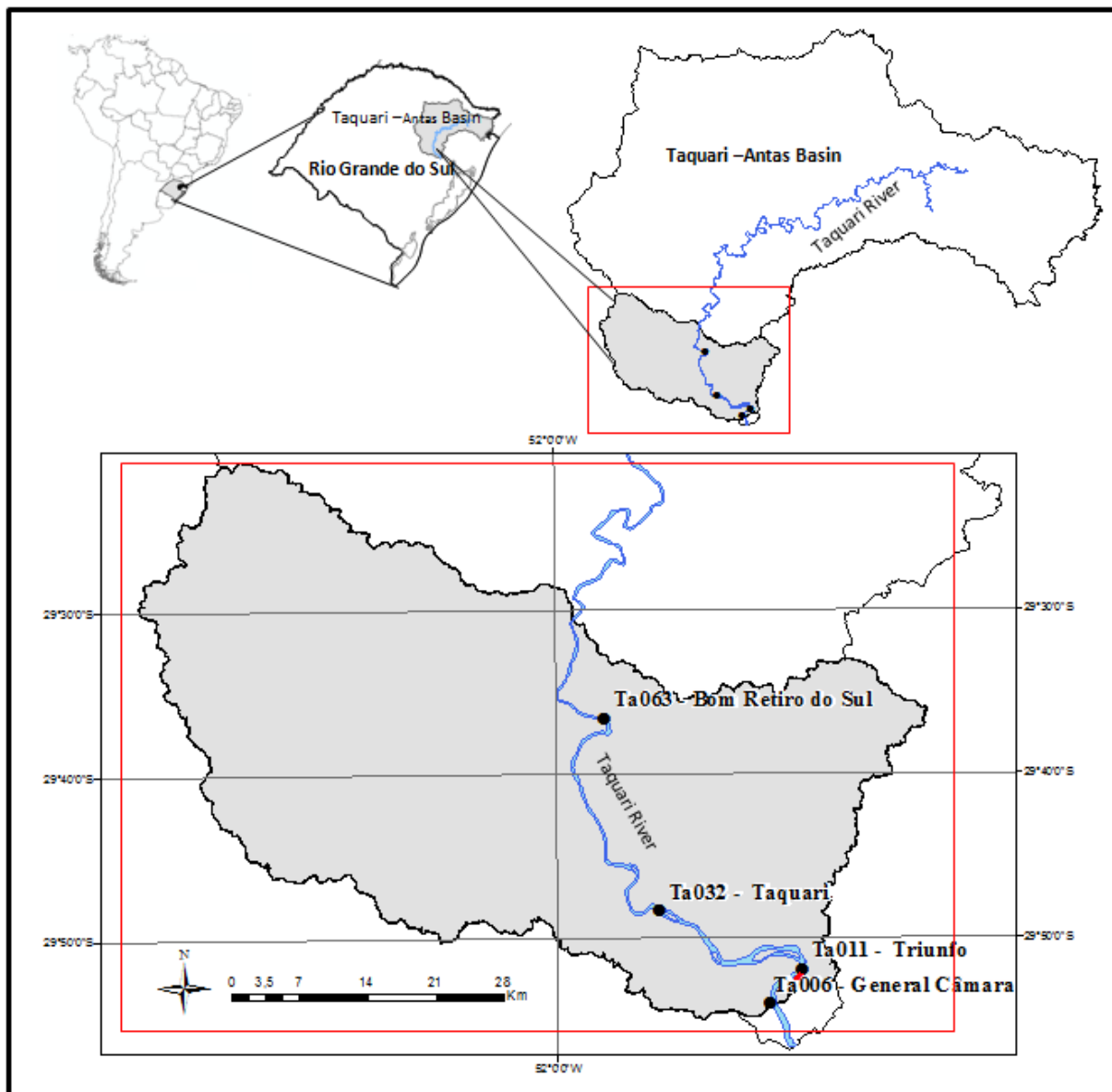
580

581 **2.2. Sampling Sites**

582 The water and sediment samples were collected in the central region of the state,
583 covering the following municipalities: Bom Retiro do Sul, Taquari, Triunfo and General
584 Câmara where there are abstraction areas for public water supply located on the Taquari River
585 (Figure 1). These places were named with the initial letters of the river (Ta) followed by the
586 number of kilometers away from the mouth:

- 587 • Ta063 ($29^{\circ}36'36,62''S$ e $51^{\circ}56'36,04''W$) – Located in the Sampaio/Estrela stream sub-
588 basin in Bom Retiro do Sul city and 12.8 km downstream from the mouth of Sampaio
589 Stream;
- 590 • Ta032 ($29^{\circ}48'21,86''S$ e $51^{\circ}52'50,86''W$) – Located on the Lower Taquari, at Taquari city;
- 591 • Ta011 ($29^{\circ}51'58,5''S$ e $51^{\circ}42'55,82''W$) – Located on the Lower Taquari, at Triunfo city -
592 Barreto district, 1 km upstream from a site contaminated by wood preservatives;
- 593 • Ta006 ($29^{\circ}54'3,10''S$ e $51^{\circ}45'9,30''W$) – Located on the Lower Taquari, at General
594 Câmara city.

595 The study area comprises municipalities that do not report the existence of domestic
596 sewage treatment plants.



597
598 **Figure 1.** Study area located in the lower part of the Taquari River and sampling sites in front
599 of the abstraction pump for water supply. The sites were named using the initial letters of the
600 river (Ta).

601
602 **2.3. Geographic Analysis of the area influenced by the sources of pollution**

603 The area studied was divided into four sub-basins, according to the sampling sites.

604 Afterwards these sub-basins were delimited using contour lines corresponding to the areas
605 that drain into each of the sites of interest. In order to delimit the area drained by collection
606 site, a digital cartographic basis for hydrography and altimetry was used, on an original scale

607 of 1:50,000 (Hasenack & Weber, 2010) to vectorize the dividing line of the sub-basins on the
608 screen.

609 The sub-basin data were combined with a map of land use and cover, base-year 2009
610 (Weber et al., 2016), to evaluate the possible contribution of the types of land use and cover
611 about the results of the contamination observed at each collection site. According to
612 Hasenack & Cordeiro (2006), most of the original vegetation of this region has already been
613 altered because it has been settled for a long time. More recently, the plantations of
614 eucalyptus, black wood acacia, maize, soy and cassava crops, among others, and the
615 cultivation of rice in wetlands, and urbanization itself greatly modified the original vegetation
616 (FEPAM, 2010). The occupied surface was classified and quantified as: contaminated area (in
617 the Barreto/Triunfo District); dry agriculture (dry areas); irrigated agriculture (rice);
618 grassland; urban area; native forest; silviculture; crops in small plots; wetland and water.

619 In these activities, the Cartalinx vectorial editing software (Clarklabs® and the
620 Geographic Information System (GIS) software, Idrisi (Clarklabs®) and ArcMap (ESRI®)
621 were used.

622 **2.4. Sample Collection**

623 The water and sediment samples to characterize the different regions were collected
624 during the period from 05/08/2015 to 05/10/2015, by the FEPAM sampling team, according
625 to the schedule for monitoring the water quality in drinking water abstraction areas in Taquari
626 River. The surface sediment was collected at shallow sites, approximately 20 cm from the
627 river banks using a Petersen grab (APHA, 1992). The samples were transported to the
628 laboratory under refrigeration, homogenized, sub-divided into fractions to prepare organic and
629 inorganic extracts, besides aliquots for tests of the *in natura* samples. After this, all aliquots
630 were kept in a freezer (-20 °C), until the assays or the extractions were performed.

631 The water samples were collected according to APHA, (1992) described in Vargas et
632 al. (1993), and 50 L of surface water were sampled per site, close to the abstraction pump for
633 the water from the river for the treatment plant. These samples were transported under
634 refrigeration and stored at 4 °C for at most 60 days, the time needed to perform the different
635 phases of organic compound extraction and the different assays.

636 **2.5. Organic extracts**

637 Sediment organic compounds were extracted by sonication (THORNTON — power
638 1800 W) 50 g of the sample and 100 mL of with dichloromethane solvent for each of four
639 cycles (DCM—CASRN 75-09-2), aiming to obtain moderately polar fractions as described in
640 Vargas et al., (2001) and Tagliari et al., (2004). The extracts were then prefiltered in a
641 chromatographic column, a glass column containing sodium sulfate and celite, and then
642 concentrated at 15 mL in a rotary evaporator (40 °C). The extracted organic matter
643 (EOM) was determined on an analytic balance. These extracts were used for mutagenicity
644 tests and PAHs analysis.

645 The organic extracts of water were obtained beginning with 50 L per site, by adsorption in
646 Amberlite XAD₄ type resins (1 mL/L of sample), in natural pH and acidified by the addition
647 of HCl up to pH 2.0 according by Pereira et al., 2007. The XAD₄ resin was pre-washed using
648 methanol (CASRN, 67-56-1). Then it was inserted into a chromatographic column treated
649 with the solvents methanol (CASRN, 67-56-1), ethyl ether (CASRN 60-29-7),
650 dichloromethane (DCM, CASRN, 75-09-2) and ultrapure water (1:1:2:3) according to the
651 sample pH. The water went through the chromatographic column through a vacuum closed
652 system (de 100 mL/min flow). The elution of the compounds in natural pH was performed in
653 methanol/dichloromethane (1:4) removing the moderately polar and nonpolar compounds.
654 Acid elution was performed in methanol/ethyl acetate (CASRN 141-78-6), for polar

655 compounds. The eluates were concentrated in a rotavapor until a volume of 10 mL. These
656 extracts were used for mutagenicity tests.

657 These concentrated extracts were placed in graduated flasks at -20 °C and at the time of
658 the test the solvents in the samples were evaporated under nitrogen flow and then resuspended
659 in spectrophotometric grade dimethylsulfoxide (DMSO—Riedel-de Haën, CASRN 67-68-5).

660 **2.6. Bioassays**

661 **2.6.1. *Salmonella/microsome assay***

662 The *Salmonella/microsome* assay was used to evaluate the mutagenic and cytotoxic
663 activity of sediment and water organic extracts, using the microsuspension protocol developed
664 by Maron & Ames (1983); Kado et al. (1986); Vargas et al. (1993). The TA98 and TA97
665 strains were used to detect frameshift mutagens, and the latter are more sensitive to heavy
666 metals (Levin et al., 1982; Pagano et al., 1992); TA100 strain that characterizes base pair
667 substitution; YG1041 (derived from TA98) and YG1042 (derived from TA100), sensitive to
668 nitroarenes and aromatic amines (Hagiwara et al., 1993). The assays were performed in the
669 presence and absence of metabolic activation (S9). In sediment samples the microsomal
670 fraction of Sprague-Dawley rat liver (4%) pre-treated with AROCLOR 1254 (acquired in
671 lyophilized form—Moltox, USA) is used and in water a mixture of human liver cells (Pooled
672 Human liver S9 - Moltox, USA).

673 The concentrations of sediment extract utilized in the tests were 2.5, 5, 7.5, 10, 15, 20, 40
674 and 80 µg equivalent to the dry mass of sediment and in organic extracts of water volumes 50,
675 100, 200, 500 and 750 mL equivalent per L of sample in duplicate assays. In all assays liquid
676 nutrient medium and the solvent DMSO were utilized as negative controls. Positive controls
677 used were sodium azide, (SAZ – CASRN 26628-22-8, Merck do Brasil) and 4-
678 nitroquinoline-1-oxide (4NQO, CASRN 56-57-5, Sigma Chemical Company) in assays

679 without S9, and 2-aminofluorene (2AF CASRN 153-78-6, Sigma Chemical Company) and 2-
680 nitrofluorene (2NF, CASRN. 607-57-8, Merck do Brazil) with S9.

681 The negative and positive controls are in the range observed in the historical data of the
682 laboratory, for negative control (5 µL DMSO/plate) –S9: 39 ± 9.1 (TA98), 121 ± 44.0
683 (TA97a), 85 ± 4 (YG1041), 199 ± 70 (TA100), 112 ± 8 (YG1042) rev/plate (revertants/plate);
684 +S9: 33 ± 5.3 (TA98), 102 ± 27.2 (TA97a), 156 ± 34.4 (TA100); Positive control, – S9:
685 4NQO (0.5 µg/plate) 239 ± 69.6 (TA98), 567 ± 90.5 (TA97a) and AZS (5 µg/plate) 1009 ±
686 288.4 (TA100); +S9: 2AF (10 µg/plate) 221 ± 33.2 (TA98), 431 ± 23.8 (TA97a) and 1334 ±
687 206.4 (TA100) rev/plate.

688 The samples were considered positive when the mutagenesis value presented a significant
689 ANOVA ($p < 0.05$) and a positive dose-response ($p < 0.05$) is observed. The result was
690 considered indicative when only one of the criteria was observed. The number of rev/plates
691 was analyzed in the SALANAL program (Analysis of *Salmonella* in Assay, the 1.0 version of
692 the Research Triangle Institute, RTP, North Carolina, EUA), selecting the linear regression,
693 Bernstein or lintox models. These values were expressed in number of revertants per gram of
694 dry sediment (rev/g) or revertants per liter (rev/L) of water sample.

695 Cytotoxic activity was evaluated using the survival curve of the test organism
696 compared to the different concentrations of samples after 72 hours of incubation. This was
697 considered positive when the percentage of surviving cells was below 60% of the colonies
698 compared to the negative control (Vargas et al., 1993).

699 **2.6.2. *Allium cepa* assay**

700 The assay was performed using *Allium cepa* seeds evaluating toxicity, cytotoxicity and
701 genotoxicity, in meristematic cells of roots exposed to the samples of sediments *in natura*
702 from the four study sites. The assays were performed according to the version of Grant's

703 protocol (Matsumoto et al., 2006). Fifty (50) seeds were exposed on Petri plates, in replicates,
704 totaling 100 seeds per treatment. The germination was performed at a temperature of 20 ± 5 °
705 C until the seeds reached about 2 cm, in 5 days, and those with a root growth less than the
706 growth of the negative control were not considered germinated. Then the roots were fixed in
707 Carnoy (ethanol: acetic acid 3:1). The slides were prepared using the squashing technique and
708 stained with Feulgen and *Fast Green* counterstain, according to Amaral et al., (2007) with
709 detailed modifications in Costa et al. (2012). The root region for analysis corresponds to the
710 final 2 mm close to the hood (Ma et al., 1995; Barbério et al., 2009). Potassium dichromate
711 ($K_2Cr_2O_7$, 2mg/L) was used for positive control of the test and artesian well water for
712 negative control.

713 The analyses were performed under an optical microscope (x 1000 magnification), 300
714 cells per slide, totaling 3000 cells per sample (Barbério et al., 2011). The parameters analyzed
715 in the assay were: (1) cytotoxicity – evaluated by the mitotic index (MI) which takes into
716 account the number of cells in division/ 1000 cells; (2) mutagenicity – analysis of the
717 frequency of micronuclei (MN); (3) toxicity – through the germination index (GI) , and the
718 samples with a GI of less than 60 % of that observed in the negative control are considered
719 toxic. The results obtained for MI were evaluated by Kruskal Wallis non-parametric
720 statistical analysis using Bioestat Software reversion 5.0. The MN frequencies were compared
721 by the Z-test (Zar, 1996) that compares Poisson distributions among samples and negative
722 control. Significant differences at a level of 5% were considered positive.

723 **2.6.3. Fish Embryo Toxicity (FET) assay**

724 The evaluation of the potential acute toxicity of the raw water samples from the study
725 sites was determined by the exposure of *D. rerio* embryos to the collected samples. The
726 toxicity assays were performed in the Ecotoxicology Laboratory at the Centro de Ecologia of

727 Universidade Federal do Rio Grande do Sul (ECOTOX/UFRGS). The embryos used were
728 generated from wild matrices of the species maintained in the laboratory itself.

729 After fertilization the eggs were transferred to Petri plates containing deionized water
730 reconstituted to a hardness of 40 - 47 mg.L-1 of CaCO₃ and pH 7,4 - 7,5 (negative control),
731 and evaluated under a stereomicroscope with a 70x magnification regarding embryo
732 development and their viability. The toxicity assays were begun up to 90 minutes after the
733 eggs were fertilized and followed the determinations of the FET (Fish Embryo Toxicity)
734 methodology, OECD 236 (OECD, 2013).

735 Approximately 30 eggs were selected and transferred to Petri plates containing each of
736 the four samples to be evaluated, the negative control and the positive control (4.0 mg/L of
737 3,4-Dichloroaniline). With the help of the stereomicroscope, the fertilized eggs were
738 individually transferred to the wells of the respective microplates containing the same
739 samples.

740 The embryos were observed every 24 hours during 96 hours. For each sampling point,
741 a microplate with 24 wells containing 2 mL each was used, maintained at 28°C ± 1°C and
742 with a photoperiod of 15L: 9E. The four end points for seen in the FET method were used as
743 an indication of the toxic effects: (1) coagulation of fertilized eggs; (2) non formation of
744 somite; (3) absence of separation between the caudal peduncle and the yolk sac; (4) absence
745 of heartbeats, considered lethal to the fish.

746 In order to observe the occurrence of late effects on the test-organisms, after the 96-
747 hour period of exposure foreseen in the methodology, the *D. rerio* larvae were transferred to
748 250 ml bechers, as a new aliquot of the respective samples and thus kept for another 24 hours.
749 The statistical analysis of the toxicity data observed was evaluated according to the Exact
750 Fisher carried in program Toxstat 3.5 (Gulley, 1996).

751 **2.7. Chemical Analyses**

752 **2.7.1. Metals**

753 The analysis to determine metals was performed by the extraction described in the
754 USEPA 3050B method (USEPA, 1996), followed by quantification according to the USEPA
755 6010C method (USEPA, 2007a). Method 3050B achieves the pseudo-total or bioavailable
756 concentration of metals defined as the fraction of metals weakly linked to the solid phase,
757 excluding the metals linked to the minerals that correspond to the part of the total
758 concentration that can be assimilated or acquired by living beings (Lima et. al, 2006). Cr (VI)
759 was quantified by UV-visible spectrometry, according to USEPA 7196A (USEPA, 1992).
760 And the method for quantification of Hg was based on method 7471B (cold-vapor technique)
761 in a closed system (USEPA, 2007b). The limits of quantification (LOQ) were found in the
762 range of 0.4 to 500 mg/Kg.

763 In order to evaluate the degree of metal enrichment in the sediments, the levels of
764 reference of CONAMA Resolution Nr 454 (Brasil, 2012) the similar values cited by USEPA
765 (Thomas, 1987) were adopted. The former establishes the levels of material to be dredged
766 (sediment) for elements As, Cd, Pb, Cu, Cr, Hg, Ni and Zn, using as reference the Canadian
767 legislation elaborated by the *Canadian Council of Ministers of the Environment* (CCME
768 2001). This legislation establishes the guiding values of sediment quality by two levels: TEL
769 (*threshold effect level*) and PEL (*probable effect level*), respectively Level-1 and Level- 2 of
770 the Brazilian Resolution (Brasil, 2012) (Level 1: threshold below which there is less
771 probability of adverse effects on the biota; Level 2: threshold above which there is a greater
772 probability of adverse effects on the biota).

773

774

775

2.7.2. Polycyclic Aromatic Hydrocarbons

776 The PAHs species were analyzed in sediment samples, focusing on the 16 species
777 classified as priority pollutants by USEPA (ATSDR, 2008): benzo(a)pyrene,
778 dibenzo(ah)anthracene, naphthalene, benzo(a)anthracene, chrysene, benzo(b)fluoranthene
779 benzo(k)fluoranthene, indene (1,2,3-cd-pyrene), acenaphthylene, acenaphthene, fluorene,
780 phenanthrene, anthracene, fluoranthene, pyrene and benzo(ghi)perylene. The extraction of
781 these compounds was based on Method 3550C: Ultrasonic extraction (USEPA, 2007c).
782 Finally, the cleanup was performed in a silica gel column (CASNR 112926-00-8, VETEC),
783 hexane/dichloromethane being the volume reduced to 1 ml.

784 The PAHs were quantified by gas chromatography coupled to the
785 mass spectrometer (GCMS Shimadzu QP2010 by *SIM — single ion monitoring*). The
786 capillarity column used was a DB-5 MS (10 m x 0.10 mm i.d. x 0.10 µm film thickness). The
787 initial temperature of the injector and interface was 310° C. Afterwards, 1 µL was injected in
788 the splitless mode. The limits of quantification (LOQ) for the 15 PAHs (two of them grouped)
789 were found in the range of 0.02 to 0.25 µg/g and the coefficient of determination varied from
790 0.991 to 0.998. The PAHs concentrations were also compared to the guiding values of
791 sediment quality (Brasil, 2012) of the sites studied.

792

3. Results

793

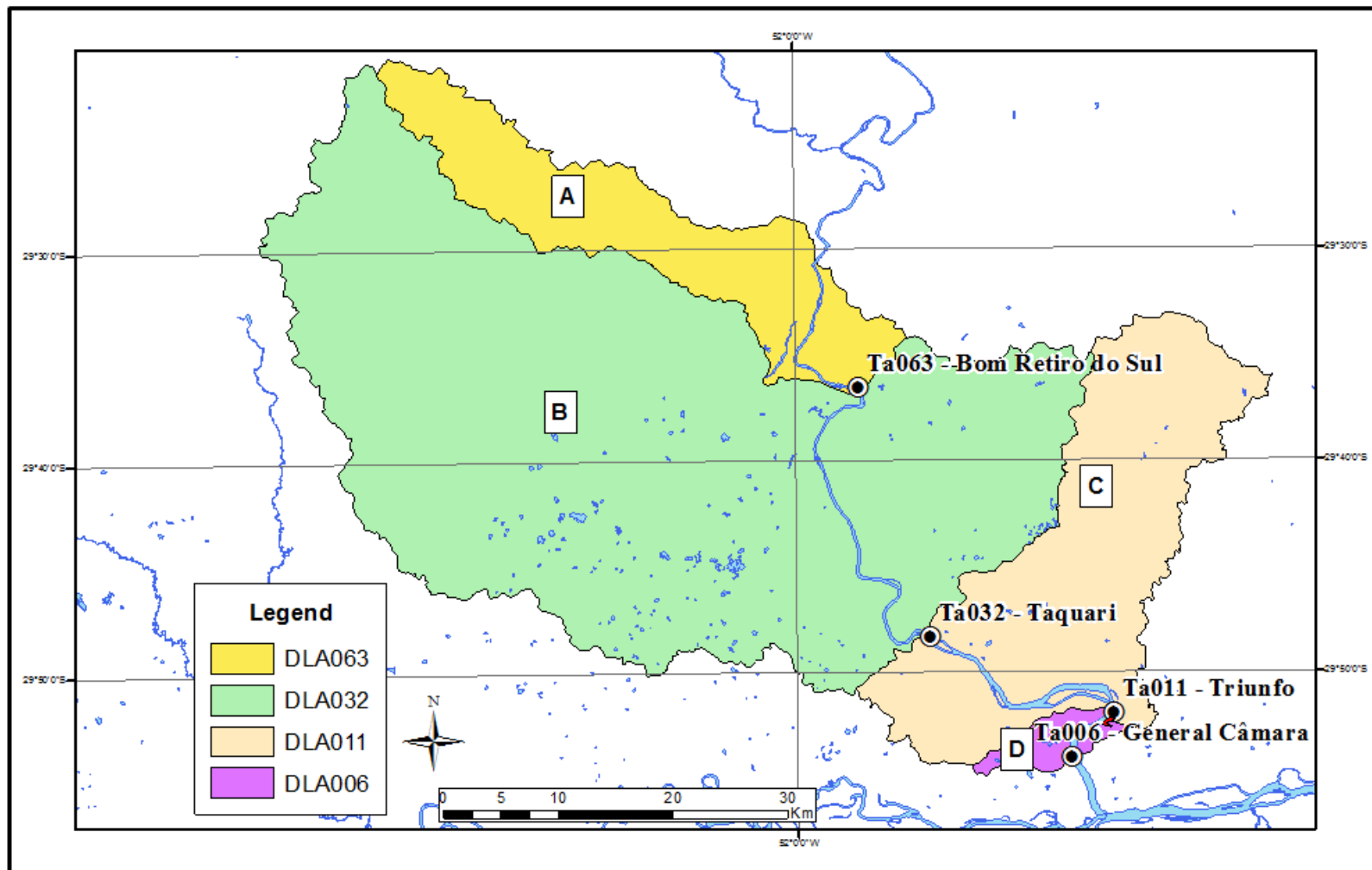
3.1. Geographic analysis of the area influenced by sources of pollution

794

The delimitation drained areas of each sampling sites were called DLA (Delimited
795 area) followed by the number of kilometers from the sampling site to the river mouth, as
796 follows: A = DLA063; B = DLA032; C = DLA011 and D = DLA006 (Figure 2). Using the
797 delimited areas, it was possible to estimate that the largest sub-basin is site Ta032, with

798 195,721.83 ha, followed by Ta011 with 57,393.56 ha; Ta063 with 35,667.38 ha and Ta006
799 with 3,772.93 ha.

800 The data characterizing the region of the study indicated different types of land use
801 and land cover that are presented in Figure A.1. This map was derived from Cordeiro &
802 Hasenack (2009), who mapped the current plant cover of Rio Grande do Sul state. Table A.1
803 shows the predominance of the crops in small plots, occupying 58.39% of the territory,
804 followed by native forest, which occupies 11.23% and grassland 10.43%. Specifically, in the
805 DLA063 sub-basin the largest areas comprised crops in small plots (73.48 %) and native
806 forest (14.34 %), although the latter were farther away from the Taquari River (Figura A.1).
807 Closer to the river there were uses corresponding to silviculture (1.63 %) and irrigated
808 agriculture (0.68 %). In the DLA032 there was an outstanding predominance of crops in small
809 plots (58.33 %) and irrigated agriculture, which is represented by the irrigated rice that
810 corresponds to about 11.61% of the sub-basin territory. These were found in areas close to the
811 collection site, except for native forest (11.82 %) whose largest areas were located farther
812 away from the river. At DLA011 crops in small plots (51.27 %), grassland (15.25 %) and
813 silviculture (13.30 %) were observed. Finally, at DLA006 the following classes: grassland
814 (27.36 %), crops in small plots (27.09 %) and silviculture (10.54 %) were found very close to
815 the Taquari River, besides the contaminated area in the Barreto District at Triunfo, which
816 formerly had soil contaminated by wood preservative proved and studied in the last few years
817 (Pohren et al., 2012).



818
 819 **Figure 2.** Delimitation of the areas according to the drainage of the relief in relation to a sampling site, A = DLA063; B =
 820 DLA032; C = DLA011 and D = DLA006. DLA = Delimited area and the numbers show the distance from the mouth in
 821 kilometers.

822 Besides the data on land use and cover, a survey was performed of the activities
823 licensed and registered at FEPAM in the municipalities where the collection sites are located.
824 This survey helped get to know the type of impact on these areas together with data already
825 obtained in Gameiro et al., (2018a) (Table A.2). The predominance of agriculture with a
826 medium and high pollution potential was observed, and also the presence of HPP and MPP
827 industries around some sites. In the regions of sites Ta063 and Ta032, although there were
828 many agricultural activities, in areas closer to these sites there are outstanding industries
829 manufacturing chemical products, tannery and meat packing (HPP), footwear and foodstuffs
830 (MPP), production of vectors/pest control (HPP), and also pesticide storage (HPP) and poultry
831 farms (MPP). Ta011, located 1 km upstream is a site contaminated by wood preservatives,
832 that has undergone the first stage of intervention (Gameiro et al., 2018a) and close to a
833 petrochemical complex (± 30 Km). However, the design tool for the sub-basins allowed
834 identifying that this area is located at DLA006, and thus influences sampling site Ta006 (red
835 in Figure A.1), which also receives a great contribution from agricultural contamination.

836 **3.2. Sediment results**

837 **3.2.1. *Salmonella/microsome assay in organic extracts***

838 The mutagenesis results of organic sediment extracts indicated a predominance of
839 direct-acting contaminants without metabolic activation (-S9), which caused both frameshift
840 (TA98 and TA97a) and base pair substitution (TA100) mutations (Table 1). The sum total of
841 the significant responses for the different strains highlighted site Ta032, in the city of Taquari,
842 with higher responses, 1987 ± 285.4 rev/g for TA100-S9 and 74 ± 34.4 rev/g for TA98-S9. In
843 the areas of the other municipalities, mutagenesis was lower at Ta063 (25 ± 12.9 rev/g for
844 TA97a+S9); Ta011 (160 ± 32.4 rev/g for TA98-S9 and 16 ± 6.2 rev/g for TA97a+S9) and

845 Ta006 (198 ± 19.8 rev/g for TA97a-S9). The assays performed with strains YG1041 and
 846 YG1042 were negative, ie., no nitrocompounds were found in the samples evaluated (data not
 847 shown). The results were analyzed using the linear models and Bernstein (Bernstein et al.,
 848 1982), in the dose-response curves, considering the dosages non cytotoxic with cellular
 849 growth above 60%. The first cytotoxic dosage of each assay condition for the different sites
 850 is shown in Table 1, indicating that the direct-acting compounds also contributed to the
 851 cytotoxicity site Ta032 and Ta011.

852

853 **Table 1.** Mutagenic and cytotoxic responses of organic sediment extracts (revertants/g
 854 equivalents of dry sediment) in the presence and absence of S9 fraction of rats at the sampling
 855 sites of Taquari River in the four municipalities investigated.

Sample	TA98		TA97a		TA100		Mutagenic potency	^a Cytotoxicity	
	-S9	+S9	-S9	+S9	-S9	+S9		-S9	+S9
Ta063 ^b	ns	ns	ns	25 ± 12.9^i	ns	ns	25	nc	nc
Ta032	74 ± 34.4^i	ns	ns	ns	1987 ± 285.4	ns	2061	40	Nc
Ta011	160 ± 32.4	ns	ns	16 ± 6.2^i	ns	ns	176	40	Nc
Ta006	ns	ns	198 ± 19.8	ns	ns	ns	198	nc	40

856 a: First dosage cytotoxic in g of dry weight of sediment with dosage cellular survival is less
 857 than 60% of negative control;

858 b: The sites were named using the initial letters of the river (Ta) followed by the number of
 859 kilometers from the mouth;

860 ns - non significant;;

861 nc - Noncytotoxic;

862 i: indicative values of mutagenicity.

863

864

865

3.2.2. *Allium cepa* assay: sediment *in natura*

866 The responses of the analyses of micronuclei, germination and mitotic indices are
 867 presented in Table 2. The values obtained both for the MI and for GI were negative. However,
 868 it should be underscored that samples Ta063 and Ta006 presented higher GIs than the

negative control and may be related to a greater availability of micronutrients contained in the organic matter of these sediments than those available in well water. This increase also occurred in the positive control that contains potassium, a nutrient needed by plants in relatively high amounts which acts, among other functions, on root growth. This result does not interfere in the genotoxic evaluation that requires root growth and cell division to detect genetic damage.

The analysis of micronuclei showed a significant different in relation to the negative control for sample Ta032 (Table 2). Indicative values of mutagenicity were also found in the samples from Ta063 and Ta006, (values twice the size of those of the negative control but that did not attain statistical significance).

Table 2: Toxicity, cytotoxicity and genotoxicity of sediment samples from the Taquari River in areas from the abstraction of drinking water in the *Allium cepa* test.

SAMPLE	GI%	MI/1000	MN/3000
NC	100	3,2	3
PC	136	7,0	17***
TA063 ^a	136	4,7	7 ⁱ
TA032	97	3,4	13***
TA011	97	3,9	1
TA006	125	5,9	6 ⁱ

GI- germination index- percentage related to NC - negative control (artesian well water); PC- positive control ($K_2Cr_2O_7$, potassium dicromate, 2 mg/L); MI-mitotic index = cells in division/1000 X 100; MN – numbers of micronuclei counted in 3000 cells. ***= significant at $p \leq 0,001$; i= indicative response (two times higher than the negative control value without statistical significance).

a: The sites were named using the initial letters of the river (Ta) followed by the number of kilometers from the mouth.

889

890

891

892

893

894

895

896

897

898

3.2.3. Chemical analysis

899 The analysis of heavy metals in sediments of the Taquari River followed a descriptive
 900 approach and the data were compared to international (CCME, 2001) and national laws
 901 (Brasil, 2012). No significant spatial variation was found in most of the heavy metal contents
 902 between kilometers 63 (Ta063) and the neighborhood of the mouth (Ta006) (Table 3).

903

904 **Table 3.** Taquari River sediment metals values at the four drinking water abstraction sites.

Metal (mg/Kg)	Ta063 ^a	Ta032	Ta011	Ta006	LOQ
Al	32992	34712	40318	37896	125
Sb	4.1	4	3.9	4.1	0.5
As	<2.5	<2.5	<2.5	<2.5	2.5
Ba	255	235	221	228	2.5
Be	<0.5	<0.5	<0.5	<0.5	0.5
B	<1	<1	<1	<1	1
Cd	<0.5	<0.5	<0.5	<0.5	0.5
Pb	4.8	6.6	7.6	9.8	2.5
Co	16.5	16.2	19.6	19.8	2.5
Cu	43.2	47.5	59.6	60.4	2.5
Cr	31.2	27.4	27.2	26.5	2.5
Cr (VI)	<0.4	<0.4	<0.4	<0.4	0.4
Cr (III)	31.2	27.4	27.2	26.5	2.5
Se	<2	<2	<2	<2	2
Fe	22541	22387	22414	22876	125
Mn	448	543	782	610	2.5
Hg	<0.15	<0.15	<0.15	<0.15	0.15
Mo	<2.5	<2.5	<2.5	<2.5	2.5
Ni	21.6	19	19.4	17.7	2.5
Ag	<0.5	<0.5	<0.5	<0.5	0.5
Se	<0.5	<0.5	<0.5	<0.5	0.5
Na	<0.5	<0.5	<0.5	<0.5	500
V	133	137	127	140	2.5
Zn	66.9	70	81.1	85	2.5

905 LOQ – The limits of quantification in mg/Kg.

906 a: The sites were named using the initial letters of the river (Ta) followed by the number of
 907 kilometers from the mouth.

908

909 According to the laws, the guide-values obtained for Cu (all sites - Ta063 = 43.2
 910 mg/Kg; Ta032 = 47.5 mg/Kg; Ta011 = 59.6 mg/Kg; Ta006 = 60.4 mg/Kg) and Ni (Ta063 =
 911 21.6 mg/Kg; Ta032 = 19 mg/Kg; Ta011 = 19.4 mg/Kg) were situated between the minimum
 912 level for the occurrence of effects (TEL – Cu = 35.7 mg/Kg and Ni = 18 mg/Kg) and the level

913 with a probability of occurrence of effects that are harmful to the biota (PEL – Cu = 197
914 mg/Kg and Ni = 35.9 mg/Kg).

915 The concentration of the sixteen PAHs considered a priority by USEPA (ATSDR,
916 2008) was analyzed, and seven of them were classified by the International Agency for
917 Research on Cancer (IARC, 2010) as: group 1 (carcinogenic to man: benzo(a)pyrene), group
918 2A (probably carcinogenic to man: dibenzo(ah)anthracene) and group 2B (possibly
919 carcinogenic to man: naphthalene, benzo(a)anthracene, chrysene, benzo(b)fluoranthene
920 benzo(k)fluoranthene, indene (1,2,3-cd-pyrene). The sum total of the concentration of these
921 compounds was low in the four regions, with greater evidence at Ta011 (0.0925 µg/g),
922 followed by Ta032 (0.0426 µg/g) (Table 4). In addition, the PAHs contents of each site
923 sampled were also compared to the guide-values of sediment quality (Brasil, 2012; CCME,
924 2001) and the results showed that only site Ta011 (92.5 µg/kg – change of unit to compare
925 with the legislation) presented a value between TEL (31.9 µg/kg) and PEL (782 µg/kg) for
926 benzo(a)pyrene, indicating that occasionally effects on the biota are expected (Table 4).

927 **3.1. Water results**

928 **3.1.1. *Salmonella*/microsome assay in organic extracts**

929 The mutagenic potency of the water extracts in the presence and absence of human S9 is
930 shown in the Table 5. Significant results predominated for strain TA100 and were found
931 at two of the four sites studied, Ta063 and Ta011. Site (Ta063) presented higher values
932 for direct mutagenesis in acid pH (1066±27.2 rev/L) and natural pH (647±81.8 rev/L)
933 and in the latter sample the significant response persisted in the presence of metabolic
934 activation (274±74 rev/L).

935 At Ta011, the results showed a predominance of mutations caused by agents that need
936 metabolic activation to be expressed. In strain TA100+S9, 618±65 rev/L were found in the

sample of natural pH and 566 ± 66 rev/L in the acid one. Although with a reduced value, mutagenesis was also found with TA98+S9 (24 ± 10.6 rev/L). The extracts of Ta032 and Ta006 were not mutagenic and no sample was cytotoxic.

940

941 **Table 4.** Concentration of sixteen priorities PAHs¹ analyzed in organic sediment extract
942 from drinking water abstraction sites on the Taquari River.

	PAHs ($\mu\text{g/g}$)	Ta063 ⁵	Ta032	Ta011	Ta006	LOQ	TEL ² Level 1 ($\mu\text{g/g}$)	PEL ² Level 2 ($\mu\text{g/g}$)	TEL ³ Level 1 ⁴ ($\mu\text{g/kg}$)	PEL ³ Level 2 ⁴ ($\mu\text{g/kg}$)
Carcinogenics PAHs	benzo(a)pyrene	0.0150	0.0275	0.0574	0.0098	0.02	0.031	0.782	31.9	782
	Benzo(b+k)fluoranthene	ND	ND	ND	0.0065	0.02	-	-	-	-
	Chrysene	0.0001	0.0001	0.001	0.0006	0.02	0.057	0.862	57.1	862
	Indene (1,2,3-cd-pyrene)	ND	ND	ND	ND	0.02	-	-	-	-
	Benzo(a)anthracene	0.0001	0.0003	0.0005	0.0003	0.02	0.031	0.385	31.7	385
	Dibenzo(ah)anthracene	ND	ND	ND	ND	0.02	0.006	0.135	6.22	135
	Naphthalene	0.0037	0.0083	0.0118	0.0064	0.02	0.034	0.391	34.6	391
Others PAHs	Pyrene	0.0003	0.0015	0.0085	0.0033	0.02	0.053	0.875	53	875
	Fluoranthene	0.0002	0.0004	0.0028	0.0011	0.02	0.111	0.235	111	2355
	Benzo(ghi)perylene	ND	ND	ND	ND	0.02	-	-	-	-
	Phenanthrene	0.0009	0.0026	0.0071	0.0034	0.02	0.041	0.515	41.9	515
	Fluorene	0.0006	0.001	0.0015	0.001	0.02	0.021	0.144	21.2	144
	Anthracene	0.0009	0.0001	0.0004	0.0003	0.02	0.046	0.245	46.9	245
	Acenaphthylene	ND	ND	ND	ND	0.02	0.005	0.128	5.87	128
	Acenaphthene	0.0005	0.0008	0.0015	0.0009	0.02	0.006	0.088	6.71	88.9
	Total	0.0223	0.0426	0.0925	0.0336					

943 ND – Not detected. TEL (threshold effect level) and PEL (probable effect level), respectively Level-
944 1 and Level- 2 of the Brazilian Resolution (Level 1: threshold below which there is less probability of
945 adverse effects on the biota; Level 2: threshold above which there is a greater probability of adverse
946 effects on the biota). Bold: values between TEL and PEL. ¹USEPA (ATSDR, 2008); ² PAHs
947 concentrations referred to in the legislation (CCME, 2001; Brazil, 2012) converted to $\mu\text{g} / \text{g}$ for
948 comparison; 3 (CCME, 2001); 4 (Brasil, 2012).

949 5: The sites were named using the initial letters of the river (Ta) followed by the number of
950 kilometers from the mouth.

951

952

953 The information on the extracted organic matter (EOM) from the water extracts
 954 showed that site TA063 presented the most matter (14690 µg/mL) extracted both at a natural
 955 pH (N=8720 µg/mL) and an acid pH (A=5970 µg/mL). The values of EOM from the other
 956 areas studied were in decreasing order: Ta006: N=1420 and A= 2270 µg/mL; Ta011: N=1040
 957 µg/mL and A=1320 µg/mL; Ta032: N= 430 µg/mL and A=1320 µg/mL. It should be
 958 considered that the organic compounds were extracted from a large volume of sample (50 L),
 959 which thus allows the absorption of a larger concentration of substances in the final extract.
 960 However, the EOM of the sediment extracts showed an inverse order and at site Ta032 the
 961 largest concentration of moderately polar compounds (210 µg/mL), followed by Ta011 (90
 962 µg/mL), Ta006 (60 µg/mL) and Ta063 (50 µg/mL).

963
 964 **Table 5.** Summary of the results obtained in the *Salmonella*/microsome assay in surface water
 965 samples in the presence and absence of human S9 at different abstraction sites for supply in
 966 Taquari River, expressed in revertants per liter (rev/L) of water sample.

Sample	TA98				TA100				Mutagenic potency	
	-S9		+S9		-S9		+S9			
	N	A	N	A	N	A	N	A		
Ta063 ^b	ns	ns	ns	ns	647 ±81.8	1066 ±27.2	274±74	ns	1987	
Ta032	ns	ns	ns	ns	ns	ns	ns	ns	ns	
Ta011	ns	ns	ns	24±10.6	ns	ns	618±65	566±66	1208	
Ta006	ns	ns	ns	ns	ns	ns	ns	ns	ns	

967 a: First dosage cytotoxic in g of dry weight of sediment with dosage cellular survival is less
 968 than 60% of negative control;

969 b:The sites were named using the initial letters of the river (Ta) followed by the number of
 970 kilometers from the mouth.

971 ns - non significant. ;

972 nc - Non cytotoxic;

973 N: natural pH

974 A: acidic pH

975

976

977 **3.1.2. Fish Embryo Toxicity (FET) assay: water *in natura***

978 Based on the results observed in raw water samples, acute toxicity assays performed with
979 the *D. rerio* embryos did not present, after the exposure period of 96 hours, statistically
980 significant differences ($\alpha=0.05$) between the mortalities observed in the samples
981 compared to the control groups. After the assay was extended for another 24 hours, now in the
982 form of larvae, it was also not possible to observe statistically significant differences between
983 the mortality observed in the control group and the samples evaluated according to Fisher's
984 exact test.

985 **4. Discussion**

986 This study attempted to investigate sources of toxic and genotoxic compounds, routes and
987 contaminants dispersion that reach the Taquari River. Initially the GIS tools delimited the
988 sub-basins of the four sites of interest and verified the possible sources of contamination. The
989 sediment and surface water samples were evaluated regarding the presence of mutagenic
990 compounds including analyses of the main chemical stressors already defined in previous
991 studies (Costa et al., 2012; 2017; Gameiro et al., 2018a). Although site Ta063 was classified
992 as the one with the best quality in the study area, the analysis of use and land cover showed
993 that the DLA063 sub-basin has the largest area of activities involving agriculture.
994 Furthermore, the presence of industries with a high and medium potential for pollution was
995 identified close to the sampling area (manufacture of chemical products, tannery and meat-
996 packing, footwear and food). These activities call attention to the quality of water supplied to
997 the population. At the other sites, the predominant activities are related to agriculture (surface
998 irrigation and silviculture and livestock), although there is industrial activity (production of
999 controls of vectors/pests, agricultural pesticide deposits, petrochemical complex) and sand
1000 mining.

1001 The *Salmonella* strains were sensitive to direct action mutagenesis in sediment and water
1002 extracts, and the mutagenesis was higher at TA100 in sediment samples. Site Ta032 presented
1003 the highest responses, both for base pair substitution and for frameshift error (Table 1). In the
1004 organic extracts of water the results were negative. The mutagenic potency of water was
1005 found only at sites Ta063 (1987 rev/L) and Ta011 (1208 rev/L) detected by TA100 in direct
1006 assays and measured after metabolic activation with human S9. At Ta063 the predominant
1007 result was without S9, followed by a reduction in the presence of S9 (Table 5). The difference
1008 between mutagenic activity with direct action and activated by S9 may help identify sources
1009 of contamination. Some authors suggest that the presence of direct-acting compounds may be
1010 attributed to natural sources (Chen & White, 2004). Loper (1984) suggested that the direct-
1011 action mutagenesis detected by TA100 or both, TA100 and TA98, that decreases in the
1012 presence of S9, is not related to industrial or agricultural activity. Other authors also reported
1013 the presence of direct genotoxic activity in particles in suspension in water and in sediments
1014 from sites that were not affected by urban, industrial or municipal discharges (Grabow et al.,
1015 1980; White et al., 1998). Although our results have been similar for mutagenesis, it was
1016 possible to observe in the geographic analyses that the sub-basin at site Ta063 has an
1017 upstream contribution from anthropic activities of large urban centers and suggests a
1018 prevalence of direct-acting mutagens.

1019 The mutagenesis of the water extracts at Triunfo (Ta011) was detected by strains
1020 TA98 and TA100 in the presence of S9. Compounds depending on metabolic activation are
1021 related to activities from anthropic sources, especially industrial sources, domestic and
1022 agricultural effluents (Loper, 1984; Houk; 1992; Chen & White, 2004). The results of sites
1023 Ta063 and Ta011, presented a classification as “moderate” (from 500 to 2500 rev/L) for
1024 mutagenic activity of TA100 with and without S9, considering the worldwide overview of
1025 surface water quality monitoring (Umbuzeiro et al., 2001; Ohe et al., 2004). According to Ohe

1026 et al. (2004) established a relation of positive and negative samples for TA98 and TA100 in
1027 the absence and presence of S9. Among all the data analyzed, the percentage of samples for
1028 TA98 was approximately 15%, both in the absence and presence of S9. On the other hand, the
1029 results for TA100, under the same assay conditions, were 7%. These observations suggest the
1030 predominance of frameshift compounds (TA98) in surface waters worldwide, differently from
1031 the evidence observed in the present study. This evidence of mutagenesis observed in organic
1032 extracts obtained from large volumes of water, did not result in significant toxic and
1033 teratogenic effects in relation to bioassays with *D. rerio* embryos and larvae exposed to raw
1034 water. This may be indicative of the dilution effect of these samples.

1035 The sediment samples from these sites (Ta063 and Ta011) presented lower values for
1036 mutation in the presence of S9, and this result may be related to PAHs group compounds that
1037 even at low total concentrations evidenced the presence of the species considered
1038 carcinogenic (IARC, 2010). A previous study in this region (Gameiro et al., 2018a), also
1039 indicated that samples with PAHs concentrations below 0.1 µg/g do not present a mutagenic
1040 response. At Ta011, however, the value of total PAHs was close to this limit (0.0925 µg/g),
1041 being 0.0707 µg/g for PAHs with a carcinogenic potential, which might justify the presence
1042 of mutagenicity for the strain TA97a+S9 (16 ± 6.2 rev/g). But, at site Ta063, the mutagenesis
1043 value similar for strain TA97a+S9 (25 ± 12.9 rev/g) presented a concentration of total PAHs
1044 less than (0.0223 µg/g with 0.0189 µg/g for carcinogenic). All these results may not be related
1045 only to PAHs. The complexity of the aquatic environment where other substances may be
1046 contributing to the mutagenesis found must be considered. The abstraction site at General
1047 Câmara, Ta006, showed lower values for mutagenesis only in sediments for strain TA97a
1048 (198 ± 19.8 rev/g). In a previous study (Gameiro et al., 2018a) this site had positive results
1049 before and an elevation of mutagenesis after the soil intervention in the contaminated area
1050 (finalized in 2013) at Triunfo (4 Km upstream), indicating the possible contribution of

1051 stressors of this area to the downstream regions. Besides, it should be emphasized that this
1052 region also has areas where there are agricultural and sand mining activities.

1053 Regarding the analysis of metals in sediment, Cu and Ni were present at the four sites
1054 studied, at levels that may occasionally generate deleterious effects on the biota according to
1055 national and international legislation (Brasil, 2012; CCME, 2001). Chen & White (2004)
1056 reported an increase in direct mutagenesis related to the presence of metal ions. Capra (2014)
1057 also emphasized a few variables that could contribute to increasing these ions and elevate the
1058 complexity of the mixture in the aquatic environment, such as the physical-chemical factors
1059 resulting from the high erosive potential of the basin, dilution or even concentration of
1060 contaminants present in the solid material transported by the river.

1061 The mutagenesis results of the sediment and water samples indicated the presence of a
1062 biologically active mixture that induced mutagenic values, reaching up to 1066 ± 27.2 rev/L
1063 (Ta063), as moderate mutagenesis for water and 1987 ± 285.4 rev/g (Ta032), as highly
1064 contamination region in the sediment samples (table 1 and 5) (Chen & White, 2004; Ohe et
1065 al., 2004). However, the concentrations of metals and PAHs, identified in this basin in
1066 previous studies (Costa et al., 2012; 2017; Gameiro et al., 2018a; 2018b), did not
1067 satisfactorily explain the presence of mutagenesis observed in sediments. Nitrocompounds
1068 were not found when the sensitive strains were used in the present study.

1069 The analyses performed on the samples of sediment *in natura* at the four sites by the
1070 *A. cepa* bioassay showed negative results for the mitotic and germination indices, showing the
1071 absence of a toxic effect on the germination and cell division. Sample Ta032 presented a
1072 significant response to the induction of micronuclei. The micronucleus is a parameter used to
1073 evaluate the mutagenic potential of substances, because is the result of the absence or
1074 incorrect repair of alterations in the parental cells, being considered an effective and simple
1075 test for mutagenicity analysis (Pohren et al., 2013). Micronuclei are masses with cytoplasmic

1076 chromatin which appear as small nuclei formed from chromosome fragments in the anaphase
1077 phase of cell division or due to loss of whole chromosomes; they are induced by agents that
1078 are able to break the DNA or interfere in fuse formation (Fenech et al., 1999). Samples Ta063
1079 and Ta006 presented values indicating genotoxicity (MN frequency) in root meristems of *A.*
1080 *cepa*. This response may suggest the presence of pollutants in the sediment at these sites,
1081 agreeing with significant responses observed in the *Salmonella*/microsome assay. In the study
1082 performed by Costa et al. (2012; 2017) site Ta032 also showed significant results for the
1083 index of chromosomal aberrations and mutagenesis of *A. cepa* in samples of interstitial water
1084 in sediment. Besides, the authors performed an assay with *Salmonella*/microsome at this site,
1085 finding significant results for the TA98 strain, without metabolic activation. The associations
1086 of these results together with those of the present study are in agreement and allow stating the
1087 presence of different compounds at Ta032, detected by the two bioassays.

1088 Non-point pollution resulting from urban surface runoff is acknowledged as one of the
1089 main deteriorations causes of the water resources quality (Gnecco et al., 2005; Li et al., 2007)
1090 During the period before samples were collected to characterize site Ta063, there was high
1091 pluviosity in the region (± 30 mm), according to data extracted at INMET (Instituto Nacional
1092 de Meteorologia), and this may account for the high mutagenicity values in water samples,
1093 since the contaminants may have been leached from the soil or groundwater and carried to the
1094 river. Different responses were found at the other sites, where there was a lower mean rainfall
1095 in 7 days of the period (1.3 mm), which may have contributed to a greater absorption of
1096 organic matter with hazardous substances in the sediment particles, found at sites Ta032 and
1097 Ta011. Some studies showed that the rainwater contains levels of pollution with different
1098 characteristics and accumulation rates that increase the complexity of chemical interactions
1099 present in the surface waters (Kim et al., 2005; Ohe et al., 2004; Zhao et al., 2006).

1100 It should also be mentioned that the landscape analysis of the study areas showed large
1101 extensions areas related to the agricultural activities, effectively exposing these environments
1102 to the pesticides. The percentages of agricultural areas in sub-basins DLA032 (76.95%),
1103 DLA063 (75.79 %) and DLA011 (72.53 %) presented a relationship to the mutagenic
1104 potentials observed at sites TA032 (2061 rev/g in sediment), Ta063 (1987 rev/L in water) and
1105 Ta011 (1208 rev/L in water). Furthermore, the non- existence or a low mutagenesis found at
1106 General Câmara (Ta006) may be related to the smaller of agricultural areas at DLA (52.24%).
1107 The pesticides may produce a variety of toxic side effects, which are a risk to the environment
1108 (Golfinopoulos et al., 2003). The mutagenic and carcinogenic activities of herbicides,
1109 insecticides and fungicides in experimental animals have already been reported by Bull et al.
1110 (2006) and Karabay & Gunnehir (2005). Anjum & Malik (2013) evaluated the mutagenic
1111 activity of industrial effluents close to the pesticides industry and obtained positive responses
1112 for TA98 and TA100 with and without S9. They also found the presence of organochlorinated
1113 and organophosphorated pesticides at concentrations varying from 1.62 to 220 ng/ml,
1114 highlighting that even at low concentrations it was possible to identify the reported mutagenic
1115 effects.

1116 In a review of literature Tijani et al, (2016) call attention to the presence of
1117 micropollutants, also called Emerging Pollutants (EPs), that alter the ecosystems including
1118 water resources, modifying the composition and reactivity of the mixtures present. The
1119 occurrence of EPs in the environment is related to the effects of bioaccumulation and
1120 biomagnification, persistence, toxicity, potential effects of endocrine deregulation, besides
1121 carcinogenic, mutagenic and teratogenic effects (Guillén et al., 2012). The EPs are present in
1122 the waters at concentrations that vary from a few nanograms per liter (ng/L) to several
1123 micrograms per liter (μ g/L). The EPs consist of endocrine deregulator compounds, by-
1124 products of disinfection, nanomaterials, veterinary medicines, industrial chemical products,

1125 pesticides, personal use products, and others (Luo et al., 2014; Tijani et al, 2016). The “low
1126 concentration” and diversity of these compounds not only make them difficult to detect and
1127 carry out analysis procedures. They also present challenges for legislation, requiring new
1128 water and sewage treatment processes (Luo et al., 2014), since domestic sewerage is still
1129 being implemented at the study sites.

1130 **5. Conclusion**

1131 The ecological impact of genotoxic substances on aquatic biota is difficult to estimate,
1132 because after effective exposure to an organism the pollutants depend on a broad variety of
1133 environmental and biological factors. In *Salmonella*/microsome assays performed on
1134 sediment and water samples showed the prevalence of direct-acting mutagens at the drinking
1135 water abstraction sites studied. Site Ta032 had the greatest mutagenic potential in a sediment
1136 sample, while Ta063 did in the water sample. The testing system in plants, *A. cepa*, was
1137 sensitive to investigate the genotoxicity of the *in natura* sediment samples and was
1138 concordant with the widely used and validated *Salmonella*/microsome mutagenicity assay.
1139 The sub-basins of these sites were larger and through geographic analyses it was found that
1140 agriculture-related activities predominate, with cultivation of small plots. However, close to
1141 the collection sites, non-agricultural anthropic areas were found with medium and high
1142 potentially polluting industries. Site Ta011 had significant responses, both in sediment and in
1143 water samples, indicating that it also received a higher contribution from agricultural
1144 activities. Another important aspect is the proximity to the site contaminated by wood
1145 preservatives, which underwent the first stage of intervention (distance less than 1 km
1146 upstream). Finally, Ta006 showed the lowest presence of contaminants among the sites
1147 studied, as a likely consequence of the removal of the main active sources from the
1148 contaminated soil area, located 4 km downstream. The small contribution from the chemical

1149 groups analyzed to explain the mutagenic potential cause concern as to the possible complex
1150 mixture of pollutants present at the drinking water abstraction sites. Besides industries and
1151 agricultural activities close to the abstraction pump, the lack of adequate treatment of
1152 domestic sewage may also contribute to forming contaminants in the water and sediment.
1153 Thus, new challenges are created in the scientific community to define methodologies of
1154 analysis and treatment of these new stressors.

1155 **Author Contributions**

1156 Paula Hauber Gameiro wrote the manuscript with a major intellectual contribution
1157 from PhD Vera Maria Ferrão Vargas. Kauê Hohn Assis an undergraduate student helped
1158 perform *Salmonella*/microsome tests and extract the samples. Prof. Dr. Heinrich Hasenack
1159 helped elaborate the images using GIS tools. Dr. Clarice Torres de Lemos participated in
1160 guiding the Genotoxicity assays with *Allium cepa* and Dr. Alexandre Arenzon, in the studies of
1161 FET Ecotoxicity with *Danio rerio*. All the authors approved the final manuscript.

1162 **Acknowledgments**

1163 The authors thank Coordenação de Aperfeiçoamento de Pessoal de Nível Superior
1164 (CAPES) for the doctoral fellowship given to Paula Hauber Gameiro and the Conselho
1165 Nacional de Desenvolvimento Científico e Tecnológico for the scientific initiation scholarship
1166 given to Kauê Hohn Assis. We also thank the sample collection group of FEPAM for
1167 performing the collections. This work was funded by Conselho Nacional de Desenvolvimento
1168 Científico e Tecnológico (Processos CNPq 307884/2011-2 e CNPq 479566/2012-7).

1169 **6. References**

- 1170
1171 Amaral, A.M., Barbério, A., Voltolini, J.C., Barros, L. 2007. Avaliação preliminar da
1172 citotoxicidade e genotoxicidade, da água da bacia do rio Tapanhon (SP- Brasil) através
1173 do teste Allium (*Allium cepa*). Revista Brasileira de Toxicologia. 20 (1 e 2), 65-72.
1174 Anjum, R., Malik, A. 2013. Evaluation of mutagenicity of wastewater in the vicinity of
1175 pesticide industry. Environ Toxicol Pharmacol. 35,284–291.

- 1176 APHA. Standart Methods for the Examination of Water and Wastewater. American Public
1177 Health Association, American Water Works Association and Water Environment
1178 Federation. 18th eds. M.A.H Franson, Washington, p 1-20, 1992.
- 1179 Appel, J.S.L., Terescova, V., Rodrigues, V.C.B., Varga, V.M.F. 2007. Aspectos toxicológicos
1180 do preservativo de madeira CCA (arsenato de cobre cromato): revisão. Rev. Bras.
1181 Toxicol. 19, 29 – 43 (in Portuguese).
- 1182 ATSDR (Agency for Toxic Substances and Disease Registry). 2008. Resumende Salud
1183 Pública—Hidrocarburos Aromáticos Policíclicos. Available. http://www.atsdr.cdc.gov/es/phs/es_phs69.pdf.
- 1185 Barbério A., Barros, L., Voltolini, J.C., Mello, M.L.S. 2009. Evaluation of the cytotoxic and
1186 genotoxic potential of water from the Brazilian river Paraíba do Sul with the Allium cepa
1187 test. Braz J Biol. 69, 837–842.
- 1188 Barbério, A., Voltolini, J. C., Mello, M.L. S. 2011. Standardization of bulb and root sample
1189 sizes for the Allium cepa test. Ecotoxicology. 20, 927–935.
- 1190 Bernstein, L., Kaldor, J., Mccann, J., Pike, M.C. 1982. An empirical approach to the statistical
1191 analysis of mutagenesis data from the Salmonella test, Mutat. Res. 97, 267–287.
- 1192 Braunbeck, T., Bottcher, M., Hollert, H., Kosmehl, T., Lammer, E., Leist, E., Rudolf, M.,
1193 Seitz, N. 2005. Towards an alternative for the acute fish LC50 test in chemical
1194 assessment: the fish embryo toxicity test goes multi-species—an update. Altex 22 (2),
1195 87–102.
- 1196 Brasil. 2005. Conselho Nacional do Meio Ambiente. Resolução CONAMA nº 357 de 17 de
1197 março de 2005. Dispõe sobre a classificação dos corpos de água e diretrizes ambientais
1198 para o seu enquadramento, bem como estabelece as condições e padrões de lançamento
1199 de efluentes, e dá outras providências. Available. <http://www.mma.gov.br/conama> (in
1200 Portuguese).
- 1201 Brasil, 2012. Conselho Nacional do Meio Ambiente - Resolução CONAMA nº 454 de 08 de
1202 novembro de 2012, data em que entrou em vigor, revogou expressamente a Resolução
1203 CONAMA nº 344 de 25 de março de 2004, que estabelecia diretrizes gerais e
1204 procedimentos mínimos para a avaliação do material a ser dragado em águas
1205 jurisdicionais brasileiras, e dá outras providências. Available.
<http://www2.mma.gov.br/port/conama> (in Portuguese).
- 1207 Bull, S., Fletcher, K., Boobis, A., Batterrhill, J. 2006. Evidence for genotoxicity of pesticides
1208 in pesticide applicators. Mutagenesis. 21, 93–103.
- 1209 Capra, M. 2014. Análise espacial da mudança do leito do Rio Taquari entre os municípios de
1210 Muçum e Arroio do Meio/RS.73 f. Monografia de Conclusão de Curso – Centro
1211 Universitário Univates, Curso de Engenharia Ambiental, Univates, Lageado, Brasil (in
1212 Portuguese).
- 1213 Cardozo, T.R., Rosa,D.P., Feiden, I.R., Rocha, J.A.V., Oliveira, N.C.A., Pereira, T.S.P.,
1214 Pastoriza, T.F., Marques, D.M., Lemos, C.T.L. Terra, N.R., Vargas, V.M.F. 2006.
1215 Genotoxicity and toxicity assessment in urban hydrographic basins. Mutat Res. 603, 83–
1216 96.
- 1217 CCME - Canadian Council of Ministers of the Environment. 2001. Canadian sediment quality
1218 guidelines for the protection of aquatic life: Introduction. Updated. In: Canadian
1219 environmental quality guidelines, 1999, Canadian Council of Ministers of the
1220 Environment, Winnipeg.
- 1221 Chen, G., White, P.A. 2004. The mutagenic hazards of aquatic sediments: a review. Mutat.
1222 Res. 567, 151-225.
- 1223 Claxton, L.D., Matthews, P.P., Warren, S.H., 2004. The genotoxicity of ambient outdoor air,
1224 a review: *Salmonella* mutagenicity. Mutat. Res. 567, 347-399.

- 1225 Cordeiro, J.L.P., Hasenack, H. 2009. Cobertura vegetal atual do Rio Grande do Sul. In:
1226 Pillar, V. D.; Müller, S. C.; Castilhos, Z. M. S.; Jacques, A. V. A. (ed.) Campos Sulinos
1227 conservação e uso sustentável da biodiversidade. Ministério do Meio Ambiente. Brasília,
1228 403 p. il. col. Capítulo 23. p. 285 – 299 (in Portuguese).
- 1229 Coronas, M.V., Bavaresco, J., Rocha, J.A.V., Gelle, A.M., Caramão, E.B., Rodrigues,
1230 M.L.K., Vargas, V.M.F. 2013. Attic dust assessment near a wood treatment plant: Past air
1231 pollution and potential exposure. Ecotox. and Environ. 95, 153–160.
- 1232 Costa, T.C., Brito, K.C.T., Rocha, J.A.V., Leal, K. A., Rodrigues, M.L.K., Minella, J.P.G.,
1233 Matsumoto, S.T., Vargas, V.M.F. 2012. Run off of genotoxic compounds in river basin
1234 sediment under the influence of contaminated soils. Ecotox. Environ. 75, 63–72.
- 1235 Costa, T.C., Brito, K.C.T., Rocha, J.A.V., Leal, K. A., Rodrigues, M.L.K., Minella, J.P.G.,
1236 Matsumoto, S.T., Vargas, V.M.F. 2017. Corrigendum to: Runoff of genotoxic
1237 compounds in river basin sediment under the influence of contaminated soils [Ecotoxicol.
1238 Environ. Saf. 75 (2012) 63–72]. Ecotox. Environ. 143, 351–352.
- 1239 Fenech, M. 1993. The cytokinesis-block micronucleus technique: a detailed description of the
1240 method and its application to genotoxicity studies in human populations. Mutation
1241 Research, Amsterdam. 285, 35-44.
- 1242 Fenech, M., Crott, J., Turner, J., Brown, S. 1999. Necrosis, apoptosis, cytostasis and DNA
1243 damage in human lymphocytes measured assay: description of the
1244 method and results for hydrogen peroxide. Mutagenesis. 14(6), 605–612.
- 1245 FEPAM - Fundação Estadual de Proteção Ambiental Henrique Luis Roessler, 2010.
1246 Estratégias ecotoxicológicas para caracterizar áreas contaminadas como medida de
1247 risco à saúde populacional [Ecotoxicological strategies to characterize contaminated
1248 areas as a measure of population health risk]. Vargas VMF (coord.). Eco-Risco Saúde
1249 Project Report, Porto Alegre, p. 164 (in portuguese).
- 1250 Fernandes, T.C.C., Mazzeo, D.E.C., Marin-Morales, M.A. 2007. Mechanism of micronuclei
1251 formation in polyploidized cells of Allium cepa exposed to trifluralin herbicide.
1252 Pesticide Biochemistry and Physiology. 88, 252–259.
- 1253 Gameiro a, P.H., Pereira, N.C., Rocha, J.A.V., Leal, K.A., Varga, V.M.F. 2018a. Assessment
1254 of Sediment Mutagenicity in Areas under the Influence of a Contaminated Site
1255 Undergoing a Remediation Process. Environ. Mol. Mutagen. 59, 625-638.
- 1256 Gameiro b, P.H., Pereira, N.C., Rocha, J.A.V., Leal, K.A., Vargas, V.M.F. 2018b. PAHs as
1257 quality markers of the sediments in the Lower Taquari sub-basin during the period of
1258 intervention in a contaminated site. Ecotoxicol. Environ. Contam. 13(2), 19-23.
- 1259 Golfinopoulos, S.K., Nikolasou, A.D., Kostopoulou, M.N., Xilourgidis, N.K., Vagi, M.C.,
1260 Lekkas, D.T., 2003. Organochlorine pesticides in the surface waters of northern Greece.
1261 Chemosphere 50, 507–516.
- 1262 Gnecco, I., Berretta, C., Lanza L.G., La Barbera P. 2005. Storm water pollution in the urban
1263 environment of Genoa, Italy. Atmospheric Research. 77, 60–73.
- 1264 Grabow, W., Denkhaus, R., Van Rossum, P.G. 1980. Detection of mutagens in waste water, a
1265 polluted river and drinking water by means of the Ames Salmonella typhimurium and
1266 microsome assay. S. Afr. J. Sci. 76, 118–123.
- 1267 Grant, W.F. 1994. The present status of higher plant bioassays for detection of environmental
1268 mutagens. Mutation Research, 310, 175–185.
- 1269 Guillén, D., Ginebreda, A., Farré, M., Darbra, R.M., Petrovic, M., Gros, M., Barceló, D.
1270 2012. Prioritization of chemicals in the aquatic environment based on risk assessment:
1271 analytical, modeling and regulatory perspective. Sci. Total Environ. 440, 236-252.
- 1272 Gulley, D., 1996, Toxstat 3.5, West Inc. University of Wyoming. Cheyenne, Wyoming.

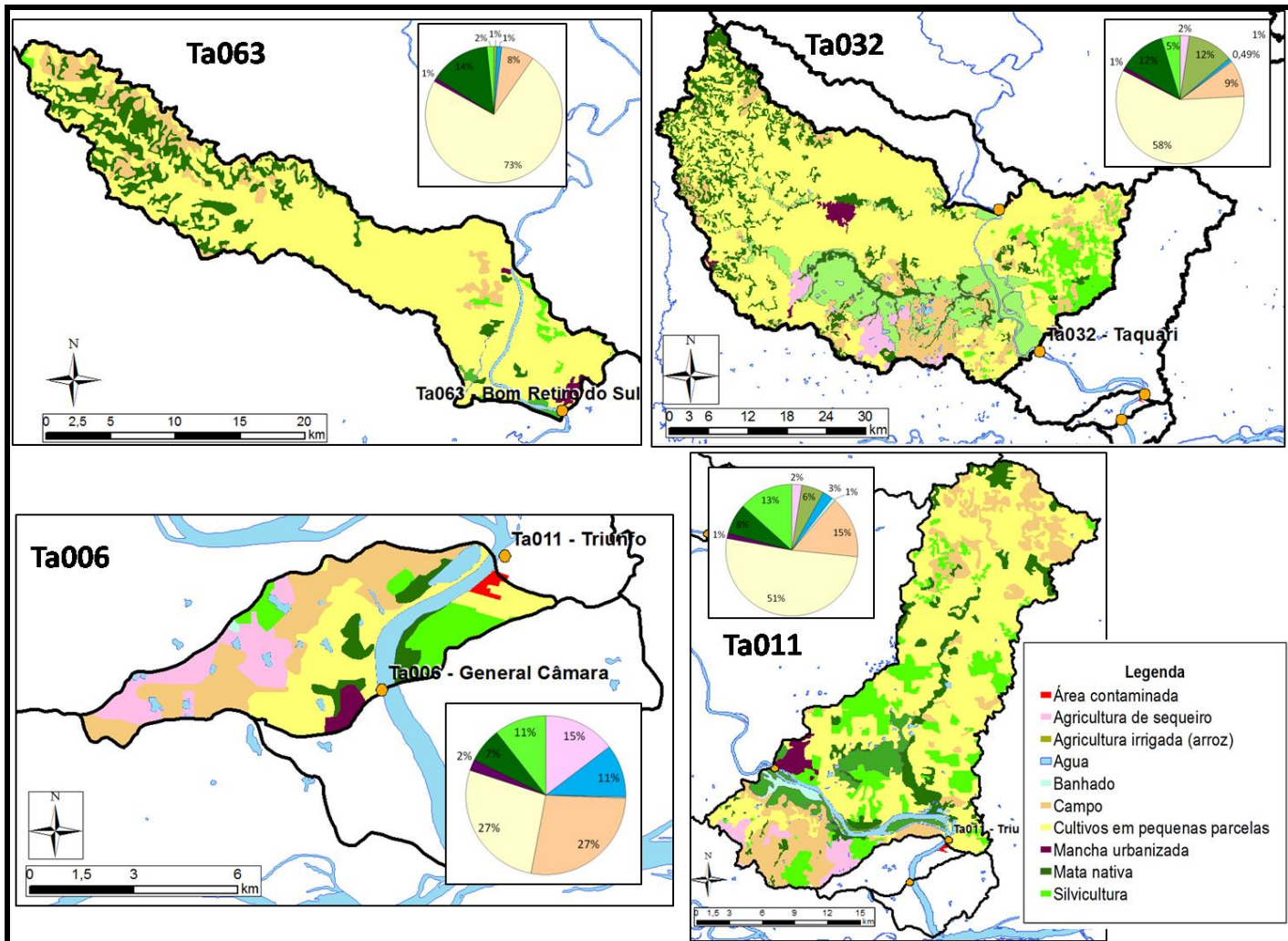
- 1273 Hagiwara, Y., Watanabe, M., Oda, Y., Sofuni, T., Nohmi, T. 1993. Specificity and sensitivity
1274 of *Salmonella typhimurium* YG1041 and YG1042 strains possessing elevated levels of
1275 both nitroreductase and acetyltransferase activity. *Mutat. Res.* 291,171–180.
- 1276 Hakura, A., Shimada, H., Nakajima, M., Sui, H., Kitamoto, S., Suzuki, S., Satoh, T. 2005.
1277 *Salmonella/human S9 mutagenicity test: a collaborative study with 58 compounds.*
1278 *Mutagenesis*, 20 (3), 217—228.
- 1279 Hasenack, H. & Cordeiro, J.L.P. 2006. Mapeamento da cobertura vegetal do Bioma Pampa.
1280 Porto Alegre, UFRGS Centro de Ecologia. 30 p. (Relatório técnico Ministério do Meio
1281 Ambiente: Secretaria de Biodiversidade e Florestas no âmbito do mapeamento da
1282 cobertura vegetal dos biomas brasileiros) (in Portuguese).
- 1283 Hasenack, H., Weber, E.(org.). 2010. Base cartográfica vetorial contínua do Rio Grande do
1284 Sul - escala 1:50.000. Porto Alegre: UFRGS Centro de Ecologia (in Portuguese).
- 1285 Henn K., Braunbeck, T. 2011. Dechorionation as a tool to improve the fish embryo toxicity
1286 test (FET) with the zebrafish (*Danio rerio*). *Comp Biochem Physiol C Toxicol*
1287 *Pharmacol.* 153(1):91-8.
- 1288 Holt, M. S. 2000. Sources of chemical contaminants and routes into the freshwater
1289 environment. *Food Chem. Toxicol.* 38, 521-527.
- 1290 Houk, V. 1992. The genotoxicity of industrial wastes and effluents: A review. *Mutat.* 277, 91-
1291 138.
- 1292 Hug, C., Sievers, M., Ottermanns, R., Hollert, H., Brack, W., Krauss, M. 2015. Linking
1293 mutagenic activity to micropollutant concentrations in wastewater samples by partial
1294 least square regression and subsequent identification of variables. *Chemosphere*.138,
1295 176–182.
- 1296 IARC (Internacional Agency for Research on Câncer). 2010. Monographs on the evaluation of
1297 carcinogenic risks to humans, 2010. Some non-heterocyclic aromatic hydrocarbons and
1298 some related exposure. IARC, Lyon, 92, p.33-110.
- 1299 Kado, N., Guirguis, G., Flessel, C., Chan, R., Chang, K., Wesolowski, J. 1986. Mutagenicity of
1300 fine (less than 2.5 microns) airborne particles: diurnal variation in community air
1301 determined by a *Salmonella* micro preincubation (microsuspension) procedure. *Environ.*
1302 *Mutagen*. 8, 53-66.
- 1303 Karabay, N.U., Gunnehir, O.M., 2005. Cytogenetic and genotoxic effects of the insecticides,
1304 imidacloprid and methamidophos. *Genet. Mol. Res.* 4, 653–662.
- 1305 Kim, R.H., Lee, S., Kim, Y. M., Lee, J.H., Kim, S.K., Kim, S.G. 2005. Pollutants in rainwater
1306 runoff in Korea: their impacts on rainwater utilization. *Environmental Technology*. 26,
1307 411–420.
- 1308 Lammer, E., Carr, G., Wendler, K., Rawlings, J., Belanger, S., Braunbeck, T. 2009. Is the fish
1309 embryo toxicity test (FET) with the zebrafish (*Danio rerio*) a potential alternative for the
1310 fish acute toxicity test? *Comp. Biochem. Physiol., Part C* 149 (2), 196–209.
- 1311 Leme, D.M., Marin-Morales, M.A. 2009. Allium cepa test in environmental monitoring: A
1312 review on its application. *Mutat Res.* 682, 71–81.
- 1313 Lemos, C.T., Roedel, P.M., Terra, N.R., Oliveira, N.C.D., Erdtmann, B. 2007. River water
1314 genotoxicity evaluation using micronucleus assay in fish erythrocytes. *Ecotox. Environ.*
1315 *Safe* 66, 391–401.
- 1316 Levin, D.E., Yamasaki, E., Ames, B.N. 1982. A new *Salmonella* tester strain, TA97, for the
1317 detection of frameshift mutagens. A run of cytosines as a mutational hot-spot. *Mutat.*
1318 *Res.* 2, 315-30.
- 1319 Li, J.F., Li, W.H., Jin, T.Y., Ding, X.C. 2005. Zebrafish and its application in environmental
1320 toxicology. *Journal of Environmental and Occupational Medicine*. 22(5), 460–463.

- 1321 Li, L.Q., Yin, C.Q., He, Q.C., Kong, L.L. 2007. Contribution of pollution load of storm runoff
1322 in urban areas of Hanyang, Wuhan City on the receiving water. *China Environmental*
1323 *Science.* 27, 312–316.
- 1324 Lima, E.A.R., Siqueira, G.W., Lima,W.N. 2006.Utilização de critérios de avaliação ambiental
1325 de metais pesados nos sedimentos de fundo da plataforma continental do Amazonas. *Bol.*
1326 *Mus. Para. Emílio Goeldi. Ciências Naturais, Belém.* 1, 105-114 (in Portuguese).
- 1327 Loper, J.C. 1984. Biological testing of waterborne organics, in: I.H. Suffet, M. Malaiyandi
1328 (Eds.), *Organic Pollutants in Water: Sampling, Analysis and Toxicity Testing. Advances*
1329 *in Chemistry, Series 214, American Chemical Society.* 595–604.
- 1330 Luo, Y., Guo, W., Ngo, H. H., Nghiem, L.D., Hai, F. Ibney., Zhang, J., Liang, S. 2014. A
1331 review on the occurrence of micropollutants in the aquatic environment and their fate and
1332 removal during wastewater treatment. *Science of the Total Environment,* 473-474
1333 (March), 619-641.
- 1334 Ma, T.H.; Xu, Z.; Xu, C.; McConnell,H.; Rabago, E.V.; Arreola, G.A. & Zhang, H. 1995. The
1335 improved Allium/Vicia root tip micronucleus assay for clastogenicity of environmental
1336 pollutants. *Mutation Research.* 334, 185-195.
- 1337 Maron, D.M., Ames, B.N. 1983. Revised methods for the *Salmonella* mutagenicity test.
1338 *Mutat. Res.* 11,173-215.
- 1339 Matsumoto, S.T., Mantovani,M.S.,Malagutti,M.I.A.,Dias,A.L.,Fonseca,I.C., Marin-Morales,
1340 M.A. 2006. Genotoxicity and mutagenicity of water contaminated with tannery effluents,
1341 as evaluated by the micronucleus test and comet assay using the fish *Oreochromis*
1342 *niloticus* and chromosome aberrations in onion root-tips. *Genet.Mol.*29,148–158.
- 1343 Monica, L., Wolfgang, G., Jurgen, M., Roland, G. 1995. Comparison of testing acute toxicity
1344 on embryo of zebrafish, *Brachydanio*rio and RTG-2 cytotoxicity as possible
1345 alternatives to the acute fish test. *Chemosphere.* 30 (11), 2087–2102.
- 1346 Mortelmans, K., Zeiger, E. 2000. The Ames *Salmonella*/microsome mutagenicity assay.
1347 *Mutat. Res.* 455,29–60.
- 1348 Nagel, R. 2002. DarT: The embryo test with the zebrafish *Danio rerio*"a general model in
1349 ecotoxicology and toxicology. *Altex* 19 (Suppl 1), 38–48.
- 1350 Nunes, E. A., Lemos, C.T., Gavronski, L., Moreira, T. N., Oliveira, N.C.D., Silva, J. 2011.
1351 Genotoxic assessment on river water using different biological systems. *Chemosphere.*
1352 84, 47–53.
- 1353 OECD (Organization for Economic Co-Operation and Development). 2013. Guideline for
1354 Testing of Chemicals. Fish Embryo Toxicity (FET) Test (236).
- 1355 Ohe, T., Watanabe, T., Wakabayashi, K. 2004. Mutagens in surface waters: a review.
1356 *Mutation Research.* 567, 109-149.
- 1357 Pagano, A. D., Zeiger, E. 1992. Conditions for detecting the mutagenicity of divalent metals
1358 in *Salmonella typhimurium*. *Environ. Mol. Mutag.* 19, 139-146.
- 1359 Pereira, T.S., Rocha, J.A.V., Duccatti, A., Silveria, G.A., Pastoriza, T.F., Bringuenti, L.,
1360 Vargas, V.M.F. 2007. Evaluation of mutagenic activity in supply water at three sites in
1361 the state of Rio Grande do Sul, Brazil. *Mutat. Res.* 629,71-80.
- 1362 Pohren, R.S., Rocha, J.A.V., Leal, K.A., Vargas, V.M.F. 2012. Soil mutagenicity as a strategy
1363 to evaluate environmental and health risks in a contaminated area. *Environ.* 44, 40–52.
- 1364 Pohren, R.S., Rocha, Costa, T.C., Vargas, V.M.F. 2013. Investigation of Sensitivity of the
1365 Allium cepa Test as an Alert System to Evaluate the Genotoxic Potential of Soil
1366 Contaminated by Heavy Metals. *Water Air Soil Pollut.* 224, 1460-1470.
- 1367 Rigaud, S., Giorgio, C.D., Radakovitch, O., Garnier, J., Méo M.D. 2012. Genotoxicity of
1368 sediment extracts of the Berre lagoon (France). *Chemosphere.* 88, 937-944.

- 1369 RS, (Rio Grande do Sul). Secretaria Estadual do Meio Ambiente / Departamento de Recursos
1370 Hídricos (SEMA/DRH)/Fundação Estadual de Proteção Ambiental Henrique Luiz
1371 Roessler – FEPAM/Comitê de Gerenciamento da Bacia Hidrográfica do Rio Taquari-
1372 Antas. Plano de Bacia Hidrográfica do Rio Taquari – Antas. Relatório Síntese - Etapa A
1373 e B . Elaborado por: STE – Serviços Técnicos de Engenharia. 2012 (in Portuguese).
- 1374 Song, Y., Li, G., Thornton, S.F., Thompson, I.P., Banwart, S.A., Lerner, D.N., Huang, W.E.
1375 2009. Optimization of bacterial whole cell bioreporters for toxicity assay of
1376 environmental samples. *Environ. Sci. Technol.* 43, 7931–7938.
- 1377 Stahl, R.G. 1991. The genetic toxicology of organic compounds in natural waters and
1378 wastewaters. *Ecotoxicol Environ Saf.* 22, 94–125.
- 1379 Tagliari, K.C., Cecchini, R., Rocha, J.A.V., Vargas, V.M.F. 2004. Mutagenicity of sediment
1380 and biomarkers of oxidative stress in fish from aquatic environments under the influence
1381 of tanneries. *Mutat. Res.* 561, 101–117.
- 1382 Thomas, R.L. 1987. A protocol for these lection of process-oriented remedial options to
1383 control in situ sediments contaminants. Ecological effects of in situ sediments
1384 contaminants. *Hydrobiolology.* 149, 247–258.
- 1385 Tijani, J.O., Fatoba, O.O., Babajide, O.O., Petrik, L.F. 2016. Pharmaceuticals, endocrine
1386 disruptors, personal care products, nanomaterials and perfluorinated pollutants: a review.
1387 *Environ Chem Lett.* 14, 27–49.
- 1388 Umbuzeiro, G.d.A., Roubicek, D.A., Sanchez, P.S., Sato, M.I. 2001. The *Salmonella*
1389 mutagenicity assay in a surface water quality monitoring program based on a 20-year
1390 survey. *Mutat. Res.* 491, 119–126.
- 1391 USEPA. 1992. Method 196A: Chromium, Hexavalent (Colorimetric); SW-846. Third Edition,
1392 Update V. U.S. Government Printing Office, Washington DC.
- 1393 USEPA. 1996. Method 3050B: Acid digestion of sediments, sludges, and soils; test Methods
1394 For Evaluating Solid Waste, Physical/Chemical Methods; SW-846. Revision 2.
1395 Government Printing Office, Washington DC.
- 1396 USEPA. 2007a. Method 6010C: Inductively coupled plasma atomic emission spectroscopy;
1397 Test Methods For Evaluating Solid Waste, Physical/Chemical Methods. SW-846;
1398 Revision 3. Government Printing Office, Washington DC.
- 1399 USEPA. 2007b. Method 7471B: Mercury in Solid or Semisolid Waste (Manual Cold-Vapor
1400 Technique). Revision I. Government Printing Office, Washington DC.
- 1401 USEPA. 2007c. Method 3550C: Ultrasonic Extraction. Available.
1402 <https://www.epa.gov/sites/production/files/2015-12/documents/3550c.pdf>.
- 1403 Valent, G.U., Sato, M.I., Coelho, M.C., Coimbrão, C. A., Sanchez, P.S. 1993. Monitoring
1404 São Paulo state rivers in Brazil for mutagenic activity using the Ames test. *Environ
1405 Toxicol Water Qual.* 8, 371–381.
- 1406 Vargas, V.M.F., Motta, V.E.P., Henriques, J.A.P. 1993. Mutagenic activity detected by the
1407 Ames test in river water under the influence of petrochemical industries. *Mutat. Res.* 319,
1408 31–45.
- 1409 Vargas ,V.M.F., Guidobono, R.R., Jordão, C., Henriques, J.A.P. 1995. Use of two short term
1410 test to evaluate genotoxicity of river water treated with different concentration extraction
1411 procedure. *Mutat Res.* 343, 31–52.
- 1412 Vargas, V.M.F., Migliavacca, S.B., Melo, A.C., Horn. R.C., Guidobono, R.R.; Ferreira,
1413 I.C.F.S.; Pestana, M.H.D. 2001. Genotoxicity assessment in aquatic environments under
1414 the influence of heavy metals and organic contaminants. *Mutat. Res.* 490, 141–158.
- 1415 Weber, E.J., Hoffmann, G.S., Oliveira, C.V., Hasenack, H. (Org.). 2016. Uso e cobertura
1416 vegetal do Estado do Rio Grande do Sul – situação em 2009. Porto Alegre. UFRGS IB
1417 Centro de Ecologia (In Portuguese).

- 1418 White, P.A., Claxton, L.D. 2004. Mutagens in contaminated soil: a review. *Mutat Res.* 567,
1419 227-345.
- 1420 White, P.A., Rasmussen, J.B., Blaise, C. 1998. Genotoxic substances in the St. Lawrence
1421 system I: Industrial genotoxins sorbed to particulate matter in the St. Lawrence, St.
1422 Maurice, and Saguenay Rivers, Canada. *Environ. Toxicol. Chem.* 17: 286–303.
- 1423 Xing, W.P., Zhao, H.K., Jiang, Z.R. 2002. A application of micronucleus assay in genetic
1424 toxicology. *Anhui Journal of Preventive Medicine*.8, (5), 317–320 (in Chinese).
- 1425 Zanotelli, M.L., Stülp, S., Ethur, E.M., Passos, I.S., Marmitt, S., Caramão, E.B. 2004. Análise
1426 de pesticidas organofosforados em sedimentos dos recursos hídricos do vale do Taquari.
1427 In: IV Simpósio Internacional de Qualidade Ambiental. Porto Alegre. Tema 6, trabalho
1428 332 (In Portuguese).
- 1429 Zar, J.H. 1996. *Biostatistical Analysis*. 3rd ed., Prentice-Hall, Englewood Cliffs, NJ.
- 1430 Zhao, J.W., Shan, B.Q., Yin, C.Q. 2006. Effect of impervious surface on stormwater runoff
1431 pollution in urban tourist attractions. *Techniques and Equipment for Environmental.*
1432 *Pollution Control.* 7(12), 14–17.
- 1433
- 1434
- 1435
- 1436

7. Appendices



1439 Figure A.1. Land use and cover in the areas delimited at the sampling sites in front of the public water supply abstraction pump.

1440 **Table A.1.** Surface occupied by different types of land use and cover in the Taquari-Anta river basin. Total area delimited and delimited areas
 1441 of the four sites of water supply abstraction.

Land use/Land cover type ^a	Taquari–Antas Basin ^a		Total DLA		DLA063 ^b		DLA032		DLA011		DLA006	
	Area (ha)	(%)	Area (ha)	(%)	Area (ha)	(%)	Area (ha)	(%)	Area (ha)	(%)	Area (ha)	(%)
Water	13,771.12	0.52	3,897.15	1.33	402.46	1.13	1,602.86	0.82	1,486.34	2.59	405.49	10.75
Wetland	994.75	0.04	994.58	0.34	0	0	521.76	0.27	463.43	0.81	9.39	0.25
Native forest	430,760.64	16.35	32,863.08	11.23	5,123.46	14.36	23,126.29	11.82	4,344.44	7.57	268.89	7.13
Grassland	730,565.63	27.73	30,516.09	10.43	2,793.94	7.83	17,939.79	9.17	8,749.96	15.25	1,032.40	27.36
Crops in small plots ^c	996,482.98	37.83	170,828.20	58.39	26,208.63	73.48	114,170.50	58.33	29,426.87	51.27	1,022.20	27.09
Dry agriculture ^c	335,715.23	12.74	6,431.55	2.20	0	0	4,468.87	2.28	1,411.51	2.46	551.17	14.61
Irrigated agriculture (rice) ^c	29,589.43	1.12	26,126.20	8.93	242.02	0.68	22,727.92	11.61	3,156.26	5.50	0	0
Silviculture ^c	67,898.20	2.58	17,869.18	6.11	580.95	1.63	9,258.81	4.73	7,631.65	13.30	397.77	10.54
Urban area	28,676.03	1.09	3,029.63	1.04	315.92	0.89	1,905.02	0.97	723.09	1.26	85.60	2.27
Total	2,634,454.00	100	292,555.70	100	35,667.38	100	195,721.83	100	57,393.56	100	3,772.93	100

1442 ^a Cordeiro & Hasenack (2009)

1443 ^b DLA (Delimitation Area) followed by the number of kilometers away from the mouth

1444 ^c agricultural areas

1445

1446

1447

1448 **Table A.2.** Impactful uses and activities in the study regions

Abstraction Water	Uses
Ta063 ^a	Tourism, leisure, fishing, waterway transportation, in addition to medium (MPP) and high polluting potential (HPP) agricultural and industrial activities.
Ta032	Tourism and leisure, fishing, waterway transport, sand, gravel and clay extraction, irrigated agriculture, silviculture of exotic species and MPP and HPP industries;
Ta011	Irrigated agriculture and silviculture of exotic species.
Ta006	Fishing, transportation, recreation, sand, gravel and clay extraction, irrigated agriculture and forestry of exotic species.

1449
 1450 a: The sites were named using the initial letters of the river (Ta) followed by the number of
 1451 kilometers away from the mouth.

1452

1453 **Capítulo 2 - Presença de compostos mutagênicos na água potável de quatro**
1454 **cidades do sul do Brasil**

1455 Paula Hauber Gameiro ^a, Kauê Hohn Assis ^b, Lívia Rozino ^b, Ismael Krüger Pescke ^b, Tatiane

1456 Rocha Cardozo ^c, Flávio Andre Pavan^c, Vera Maria Ferrão Vargas^{ab*}

1457

1458 ^aPrograma de Pós-graduação em Ecologia, Universidade Federal do Rio Grande do Sul
1459 (UFRGS), Av. Bento Gonçalves, 9500, 91501-970, Cx Postal 15007, Porto Alegre, RS, Brazil

1460 ^bFundação Estadual de Proteção Ambiental Henrique Luís Roessler (Programa de Iniciação
1461 Científica/FEPAM), Rua Aurélio Porto, 37, 90620-090, Porto Alegre, RS, Brazil.

1462 ^cDepartamento de Química, Campus Bagé, Universidade Federal do Pampa. Av. Maria
1463 Anunciação Gomes de Godoy, 1650 - Bairro Malafaia - Bagé, RS, Brazil.

1464
1465 *Programa de Pós-graduação em Ecologia
1466 Universidade Federal do Rio Grande do Sul (UFRGS)
1467 Av. Bento Gonçalves, 9500, Cx Postal 15007, 91501-970, Porto Alegre, RS, Brazil
1468 E-mail: verafvargas@gmail.com.

1469

1470

1471

1472

1473

1474

1475

1476

1477

1478

1479

1480

1481

1482

1483

1484

1485

1486

1487

1488 **Resumo**

1489

1490 Subprodutos de desinfecção (DBPs) genotóxicos são formados durante o tratamento
1491 convencional quando o desinfectante reage com a matéria orgânica presente na água
1492 superficial. Recentemente alguns compostos têm sido encontrados em concentrações muito
1493 baixas no ambiente e podem ser carreados para a água tratada, os conhecidos micropoluentes
1494 emergentes (MEs). Este estudo investigou a presença de compostos mutagênicos em água,
1495 antes e após tratamento, de quatro cidades que captam água do Rio Taquari, sul do Brasil. As
1496 estações de tratamento de água (ETAs) estudadas foram: (WTP01), (WTP02), (WTP03) e
1497 (WTP04). As amostragens foram realizadas nas estações de tratamento para análises químicas
1498 de MEs e de mutagênese no ensaio *Salmonella/microssoma*. As linhagens utilizadas foram
1499 TA98, que mede erro no quadro de leitura e TA100 e YG7108, substituição de pares de bases
1500 do DNA, na ausência e presença de metabolização (S9 humana). A mutagênese na água bruta
1501 foi encontrada apenas na WTP03, pela linhagem Ta98 com e sem S9, reduzindo 90% após
1502 tratamento. Nas amostras de água tratada, resultados significativos foram encontrados para as
1503 duas linhagens, sendo a mais sensível a TA100. A ordem decrescente de respostas positivas
1504 foi: WTP04>WTP02>WTP01>WTP03. No estudo foram incluídos ainda resultados de
1505 amostragem realizada anteriormente no local WTP04, indicando que a mutagênese na água
1506 tratada já estava presente, porém com outro padrão de resposta. As análises químicas
1507 indicaram que o local WTP04 foi o que apresentou teores de MEs totais mais elevados, sendo
1508 a atrazina, paracetamol e ácido salicílico, os predominantes. Nos demais locais também foram
1509 encontrados MEs, sendo o WTP02 com menor valor total na água tratada, representando uma
1510 redução de 45,3% de MEs comparados com a bruta. A presença de MEs nas amostras de água
1511 após o tratamento sugeriu a importância de diretrizes que incluam os MEs para estabelecerem
1512 melhores padrões de preservação da vida aquática, conservação dos mananciais e potabilidade
1513 da água distribuída à população.

1514 **Palavras chaves:** Ensaio *Salmonella/microsoma*; S9 humano *in vitro*; micropoluentes
1515 emergentes; extratos orgânicos; DPBs micropoluentes.

1516

1517

1518

1519

1520 **1. Introdução**

1521 A redução de várias doenças com a descoberta da desinfecção da água potável foi um
1522 marco importante para saúde pública, porém existe outra preocupação relacionada a formação
1523 de subprodutos de desinfecção (DPBs), especialmente devido à extensa exposição da
1524 população humana a estes compostos (Cortés & Marcos, 2018). Os DBPs são formados
1525 durante o tratamento da água através da reação dos desinfetantes (cloro, cloraminas ou
1526 dióxido de cloro) com matéria orgânica natural (MON) e/ou brometo/iodeto presentes na
1527 maioria dos rios, lagos e águas subterrâneas (Richardson et al., 2007). Nos últimos 40 anos,
1528 estudos epidemiológicos verificaram uma correlação entre o consumo da água tratada e
1529 câncer no trato gastrointestinal, urinário, além de outros efeitos como complicações no
1530 desenvolvimento e reprodução podem ser observados (Legay et al., 2010; Grellier et al.,
1531 2015).

1532 Os DPBs são amplamente estudados e, embora mais de 600 DBPs já tenham sido
1533 relatados na literatura (Richardson, 1998; Boorman et al., 1999), apenas um pequeno número
1534 tem sido avaliado em estudos de ocorrência quantitativa ou de efeitos na saúde. A USEPA
1535 (Agência de Proteção Ambiental dos EUA) determina os níveis máximos de 11 DBPs na água
1536 potável, enquanto as diretrizes da Organização Mundial da Saúde incluem 14 DBPs
1537 (Richardson et al., 2007). O cloro é o desinfetante mais utilizado e a relação entre sua dose e a
1538 concentração de matéria orgânica é um fator determinante na formação de subprodutos
1539 (Pereira et al., 2007). A presença de moléculas aromáticas parece aumentar a formação de
1540 DBPs (Nihemaiti et al., 2017). Tradicionalmente, o foco dos poluentes químicos são os
1541 hidrocarbonetos policíclicos aromáticos (HPAs), bifenilas policloradas (PCBs) e os pesticidas
1542 organoclorados. Entretanto, o uso desenfreado de agrotóxicos e o crescente desenvolvimento
1543 de novos medicamentos e nanomateriais geraram um desafio adicional para definir métodos

1544 de detecção para esses compostos, considerados micropoluentes emergentes (ME), um novo e
1545 grave problema ambiental (Satinder, 2009). Os efluentes sanitários e hospitalares são a
1546 principal fonte de entrada desta classe de espécies químicas no meio ambiente, podendo
1547 atingir mananciais de águas superficiais ou subterrâneas (Luo et al., 2014). Estes produtos
1548 apresentam efeitos mesmo em baixas concentrações, sendo também relacionadas a processo
1549 de bioacumulação e fenômeno de biomagnificação, persistência, toxicidades, potencialidade
1550 de desregulação endócrina, além de efeitos carcinogênicos, mutagênicos e
1551 teratogênicos (Guillén et al., 2012).

1552 A natureza hidrofóbica de alguns contaminantes favorece a ocorrência de reações de
1553 adsorção destes compostos no material particulado em suspensão. No tratamento
1554 convencional de água são utilizados processos físico-químicos para a potabilização, dentre os
1555 quais as unidades de clarificação (floculadores, decantadores e filtros), de desinfecção
1556 (cloradores e aminoadores) e de polimento (correção do pH e fluoretação). Assim como nas
1557 estações de tratamento de esgoto (ETE), os processos convencionais de tratamento nas
1558 estações de tratamento de água (ETA) não são eficientes para a eliminação de inúmeros
1559 desses contaminantes, devido principalmente a natureza polar de muitos deles (Wang et. al.,
1560 2011; Stackelberg et. al., 2007; Bodzek & Dudziak, 2006). Consequentemente, alguns deles
1561 acabam sendo encontrados na água tratada distribuída à população a qual é oriunda de
1562 mananciais já comprometidos (Raimundo, 2011; Ternes et al., 2015). O destino e os efeitos
1563 de micropoluentes emergentes em águas brasileiras ainda têm sido pouco discutidos na
1564 literatura. Entretanto, a principal via de aporte deles em águas superficiais é o esgoto bruto,
1565 uma vez que a maioria dos brasileiros não possui rede coletora de esgoto, descartando os
1566 dejetos diretamente nos rios e nos solos (Raimundo, 2011; IBGE, 2019).

1567 Os primeiros DBPs de cloração a serem descobertos foram da classe dos
1568 trihalometanos (THMs) (Meier et al., 1983). A formação dos THMs recebe atenção especial
1569 devido a sua classificação como Grupo 2B, possível carcinogênico ao homem (IARC, 1999a;
1570 1999b). Outras classes de DBPs também são formadas com o uso do cloro: ácidos
1571 haloacéticos (HAAs), halonitrometanos (HNMs), haloacetonitrilos, cloraminas, clorofenóis,
1572 os chamados "Mutagênico X" (3-cloro-4- (diclorometil) - 5-hidroxi-2 (5H) -furanona - MX) e
1573 as N-nitrosaminas (N-nitrosodimetilamina - NDMA). Apesar do grande número de DBPs
1574 formados durante a desinfecção, estudos avaliando a mutagenicidade de DBPs individuais se
1575 concentraram principalmente nas N-nitrosaminas e nas halofuranonas ou na MX (Cortés &
1576 Marcos, 2018). Essa halofuranona é altamente mutagênica, testada sozinha ou em combinação
1577 com outros contaminantes da água desinfetada (Wang et al., 2013). As NDMA são
1578 reconhecidas como DBP mais tóxico (Nawrocki & Andrzejewski, 2011), com sete deles
1579 sendo classificados USEPA como B2, ou seja, prováveis agentes cancerígenos (USEPA,
1580 2012).

1581 Dentre os MEs detectados na água destacam-se: os fármacos (paracetamol, ácido
1582 acetilsalicílico, diclofenaco, tetraciclinas, amoxicilina, cafeína), os pesticidas (atrazina,
1583 diuron, 2-nitrofenol e 4-nitrofenol) e outros fenóis. Estudos realizados com o composto ativo
1584 do paracetamol (acetaminofeno) mostraram que sua reação com o cloro tem formado
1585 numerosos subprodutos, sendo dois deles considerados compostos tóxicos (Glassmeyer &
1586 Shoemaker, 2005; Bedner & MacCrehan, 2006a). Ainda verificou-se que a cloração do
1587 diclofenaco forma pelo menos cinco subprodutos (Bedner & MacCrehan, 2006b). A atrazina é
1588 um dos herbicidas mais consumidos no Brasil (IBAMA, 2010). Sua principal via de
1589 exposição ao homem é a ingestão de água tratada, uma vez que a exposição por alimentos não
1590 é significativa (ATSDR, 2008) e as estações de tratamento de água não são capazes de

1591 remover este contaminante com eficiência (Benotti et al., 2009; Verliefde et al., 2007;
1592 Quintana et al., 2001). A cafeína, presente em produtos alimentícios e medicamentos, tem
1593 sido usada como traçador de contaminação por esgoto doméstico em situações onde há
1594 vazamentos na rede coletora capazes de atingir outros cursos d'água. É considerado um
1595 marcador químico sensível e específico que pode ser detectado rapidamente, pois se apresenta
1596 em altas concentrações no esgoto, é estável e bastante solúvel em água (Raimundo, 2011).

1597 Muitos compostos orgânicos semi-voláteis e não-voláteis de natureza polar e apolar,
1598 extraídos pelas resinas Amberlite XAD são diagnosticados como mutagênicos no ensaio
1599 *Salmonella*/microssoma (IARC, 1991). Warren et al. (2015) avaliaram a mutagenicidade da
1600 água superficial, sedimento e água tratada do rio Penobscot, na India e verificaram que as
1601 amostras variaram de não mutagênicas a potências mutagênicas baixas e moderadas. No
1602 Japão, pesquisadores utilizaram o ensaio *Salmonella* para monitorar a variação sazonal da
1603 mutagenicidade da água do rio em Fukui, Japão (Watanabe et al., 2002). No Brasil, o órgão
1604 regulador do Estado de São Paulo, rotineiramente tem monitorado seus rios com o ensaio
1605 *Salmonella* por mais de 20 anos (Umbuzeiro et al., 2001). Especificamente no Rio Grande do
1606 Sul (RS), o ensaio foi utilizado por Lemos et al. (2009) que verificaram a influência dos
1607 fatores climáticos na mutagênese de manancial impactado por diferentes fontes antrópicas no
1608 rio dos Sinos. Cardozo et al. (2006) definiram a influência de dejetos urbanos na resposta
1609 mutagênica de pequenas bacias da região metropolitana de Porto Alegre. Pereira et al. (2007)
1610 analisaram a atividade mutagênica em água de abastecimento público em três cidades do
1611 estado; e Vargas et al. (1993; 2008) investigaram a presença de substâncias mutagênicas na
1612 água bruta do rio Caí, região influenciada por indústrias petroquímicas.

1613 O objetivo deste trabalho foi avaliar o potencial mutagênico da carga orgânica na água
1614 potável, o efeito de subprodutos genotóxicos e a presença de micropoluentes emergentes antes
1615 e após o tratamento convencional.

1616

1617 **2. Materiais e métodos**

1618 **2.1. Área de estudo**

1619 A área estudada abrange quatro cidades banhadas pelo Rio Taquari, pertencente à
1620 Bacia Hidrográfica Taquari-Antas, RS- Brasil, localizada na porção central do estado. Bom
1621 Retiro do Sul, Taquari, Triunfo e General Câmara pertencem à região do Vale do Taquari,
1622 tendo como forte característica a produção de alimentos e grande parte de sua atividade
1623 produtiva gira em torno do agronegócio, além de indústrias de alto e médio potencial
1624 poluidor. Sua localização está compreendida entre as coordenadas 28°10'S a 29°57'S e
1625 49°56'W a 52°38'W. Estudos desenvolvidos nesta região por Costa et al. (2012; 2017) e
1626 Gameiro, (2015) verificaram respostas mutagênicas no sedimento, em locais com influencia
1627 do escoamento superficial de solo contaminado por preservantes de madeira (pentaclorofenol,
1628 creosoto e arseniato de cobre cromado - CCA). Gameiro et al. 2018a ainda detectou
1629 mutagênese nas diferentes fases do processo de remediação do solo desta área e evidências de
1630 contaminação por agentes mutagênicos em locais de captação de água potável.

1631

1632 **2.2. Coleta das amostras**

1633 As amostras de água foram coletadas no inverno de 2017 na estação de tratamento
1634 (water treatment plant sites = WTP) das quatro cidades banhadas pelo Rio Taquari (Tabela 1 e
1635 Figura 1), antes e depois do processo de tratamento convencional, segundo Pereira et al.

1636 (2007). O volume amostrado foi de 40L por amostra, sendo os frascos transportados sob-
1637 refrigeração e armazenadas a 4 °C por no máximo 10 dias, tempo necessário para a realização
1638 das diferentes fases de extração dos compostos orgânicos. Neste trabalho também foram
1639 abordados dados da amostragem realizada no outono de 2015, antes e depois do tratamento,
1640 denominadas WTP04R2015 (R = Raw = água bruta) e WTP04T2015 (T = Treated = água
1641 tratada).

1642 **Tabela 1.** Informações sobre amostragem de água bruta e tratada de quatro cidades do Vale
1643 do Taquari RS, Brasil.

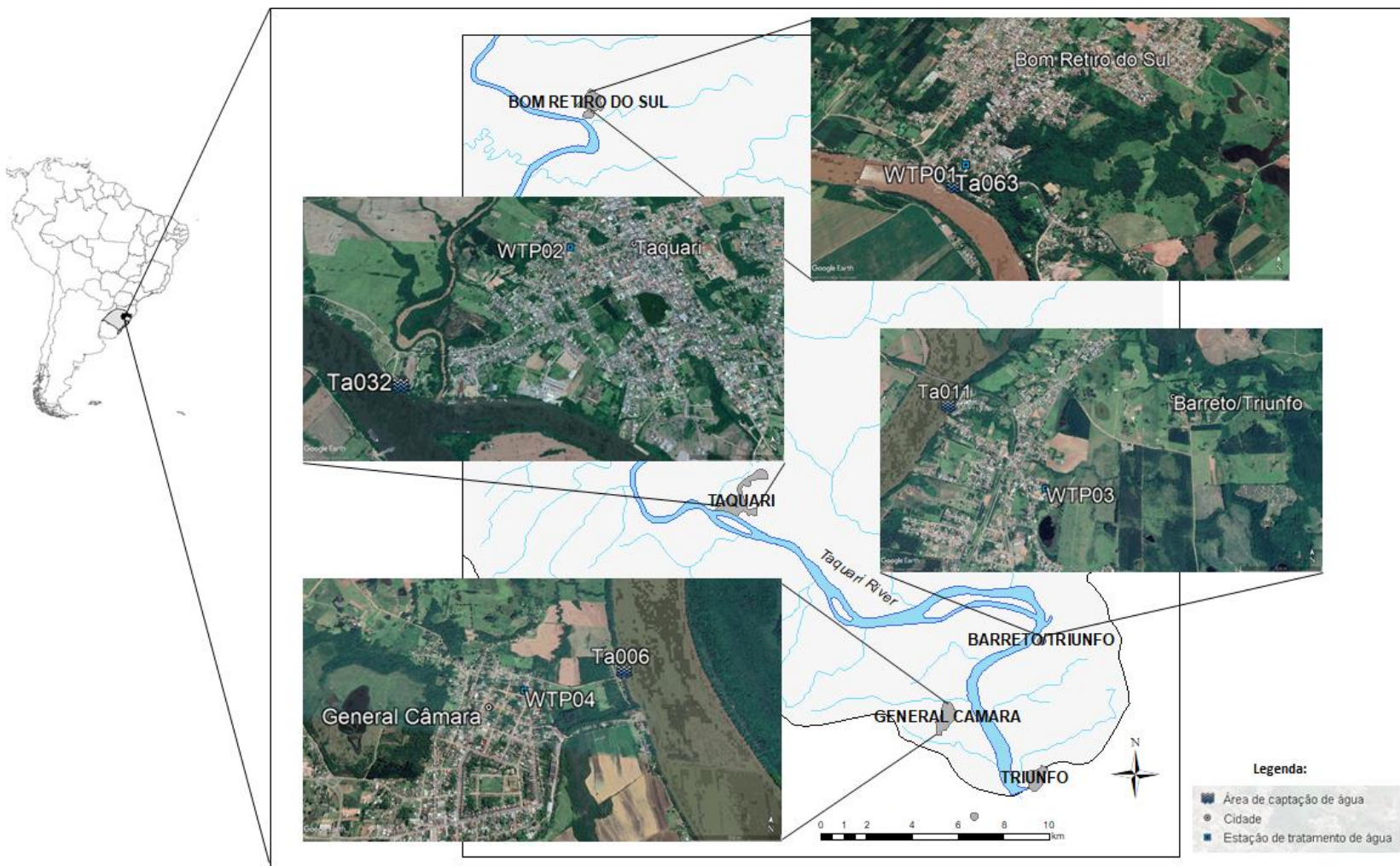
Locais	Cidades	Locais de captação de água	Coordenadas
WTP01 ^a	Bom Retiro do Sul	Ta063 ^b	29°36'33.08"S; 51°56'35.17"W
WTP02	Taquari	Ta032	29°47'53.93"S; 51°52'11.69"W
WTP03	Barreto Distrito/Triunfo	Ta011	29°52'18.57"S; 51°42'33.75"W
WTP04	General Câmara	Ta006	29°54'8.88"S; 51°45'34.57"W

1644 ^aWTP (water treatment plant sites = ETAs - Estação de Tratamento de Águas)

1645 ^bTa: letras iniciais do rio seguidas pelo número de quilômetros de distância da foz

1647 2.1. Extratos orgânicos para testes mutagênicos

1648 A extração dos compostos orgânicos da água (40L) foi realizada com a adsorção em resinas
1649 do tipo Amberlite XAD₄ (1 mL/L de amostra), em pH natural e acidificadas pela adição de
1650 HCl até pH 2,0 (Pereira et al., 2007). A resina XAD₄ foi pré-lavada usando metanol (CASRN,
1651 67-56-1). Em coluna cromatográfica a água passou por sistema fechado a vácuo com fluxo de
1652 100 mL/min. Nesta coluna a resina foi tratada com os solventes metanol, éter etílico (CASRN
1653 60-29-7), diclorometano (DCM, CASRN, 75-09-2) e água ultrapura (1:1:2:3), conforme o pH
1654 da amostra. Após, a eluição dos compostos em pH natural foi realizada em
1655 metanol/diclorometano (1:4) para retirada dos compostos moderadamente polares e apolares e
1656 a eluição ácida em metanol/etilo acetato (CASRN 141-78-6), para extração dos compostos
1657 polares.



1658

1659 **Figura 1.** Localização dos locais de amostragem para a pesquisa de mutagenicidade em água bruta e tratada de quatro cidades do Vale do
 1660 Taquari. Ta (letras iniciais do Rio Taquari seguido da sua quilometragem de distância em relação a foz); WTP (water treatment plant sites -
 1661 ETAs).

1662 Após, a eluição dos compostos em pH natural foi realizada em metanol/diclorometano
1663 (1:4) para retirada dos compostos moderadamente polares e apolares e a eluição ácida em
1664 metanol/etilo acetato (CASRN 141-78-6), para extração dos compostos polares. Os eluatos
1665 foram concentrados em rotavapor até um volume de 10 mL e o material orgânico extraído
1666 (MOE) foi determinado em balança analítica. Por fim, os extratos foram acondicionados em
1667 frascos graduados à -20°C e no momento do teste os solventes das amostras foram evaporados
1668 sob fluxo de nitrogênio e em seguida ressuspensos com dimetilsulfóxido grau pesticida
1669 (DMSO-Riedel-de Haën, CASRN 67-68-5).

1670 **2.2. Ensaio *Salmonella*/microssoma**

1671 A atividade mutagênica e citotóxica foi avaliada pelo ensaio *Salmonella*/microssoma
1672 através do protocolo de microssuspensão desenvolvido por Maron & Ames (1983) e Kado et
1673 al. (1986). As linhagens utilizadas foram TA98, que detecta mutagênicos por erro no quadro
1674 de leitura, e TA100 que caracteriza substituição de pares de bases. A linhagem YG7108 foi
1675 utilizada devido à sua maior sensibilidade a agentes alquilantes (Yamada et al., 1997),
1676 incluindo as NDMA (Yamada et al., 1997; Wagner et al., 2012). Os ensaios foram realizados
1677 na presença e ausência de metabolização (S9) - mistura de células de fígado humano (Pooled
1678 Human liver S9- Moltox, USA).

1679 Os volumes dos extratos utilizados nos ensaios de mutagênese foram 50, 100, 200, 500 e
1680 750 mL equivalente por L de amostra, em duplicata de ensaios. Em todos os ensaios foram
1681 utilizados como controles negativos o meio nutriente líquido e o solvente DMSO (5 µL).
1682 Como controles positivos foram utilizados a azida sódica (AZS – CASRN 26628-22-8, Merck
1683 do Brasil) e 4-nitroquinoleina-1-oxido (4NQO, CASRN 56-57-5, Sigma Chemical Company)
1684 em ensaios sem S9 mix e 2-aminofluoreno (2AF CASRN 153-78-6, Sigma Chemical
1685 Company) com S9 mix. Com base na faixa observada dos dados históricos do laboratório a

1686 mutação espontânea (controles negativos) encontrada para 5 µL DMSO/placa – S9 foi: 41 ±
1687 8,9 (TA98), 148 ± 48,3 (TA100) revertentes/placa (rev/placa); +S9: 30 ±6,7 (TA98), 149 ±
1688 45,9 (TA100); Controles positivos, – S9: 4NQO (0,5µg/placa) 382 ± 150,5 (TA98), AZS
1689 (5µg/placa) 4229 ± 1425 (TA100); +S9: 2AF (10µg/placa) 405 ± 158,4 (TA98), 1334 ± 206,4
1690 (TA100) e 1022 ± 73,6 (YG7108) rev/placa.

1691 As amostras foram consideradas mutagênicas quando apresentaram ANOVA
1692 significativa ($p<0,05$) e dose-resposta positiva ($p< 0,05$). O resultado foi considerado
1693 indicativo quando apenas um desses critérios foi observado. O número de revertentes por
1694 placa foi analisado no programa SALANAL (Análise de Salmonella de Ensaio, a versão 1.0
1695 do Research Triangle Institute, RTP, North Carolina, EUA), selecionando os modelos de
1696 regressão linear ou Bernstein. Esses valores foram expressos em revertentes por litro (rev/L)
1697 de amostra de água. A concentração da mutagênese efetiva (CME), que pode dobrar o número
1698 revertentes espontâneos, foi utilizada para calcular a sensibilidade mutagênica comparando
1699 diferentes linhagens e condições de ensaios. A citotoxicidade das amostras foi considerada
1700 positiva quando a porcentagem de células sobreviventes (após 72 horas de incubação) foi
1701 inferior a 60% comparada ao valor observado no controle negativo (Vargas et al., 1993).

1702 **2.3. Análises química: Micropoluentes Emergentes**

1703 Após a coleta das amostras, ajustou-se o pH das mesmas para 3,0 com adição de HCl 6
1704 mol L⁻¹ e realizou-se filtração através de membrana de nitrato de celulose de 0,45 µm
1705 (UNIFIL) em sistema de vácuo para remoção de material particulado em suspensão. As
1706 amostras filtradas acondicionadas em frascos de vidro âmbar foram mantidas sob refrigeração
1707 (4°C) para posterior análise. Em etapa subsequente as amostras passaram por um processo de
1708 extração em fase sólida utilizando cartuchos de extração em fase sólida (SPE) em
1709 polipropileno Chroma bond® C18 (6 mL/500 mg) e equipamento Manifold à vácuo

1710 (Montagner et al., 2014, com modificações). Para o condicionamento dos cartuchos, foram
1711 utilizados 5 mL de metanol seguidos de 5 mL de água ultrapurificada. Em seguida, cada
1712 amostra foi percolada através dos cartuchos com fluxo ajustado para 5 mL.min⁻¹. Após
1713 percolar toda a amostra, os cartuchos foram secos em temperatura ambiente por 24 horas.
1714 Após a secagem, os analitos foram eluídos com 2 mL de metanol, concentrados em
1715 equipamento rotaevaporador, transferidos para tubos de ensaio para análise cromatográfica.
1716 As determinações quantitativas dos poluentes emergentes (diclofenaco sódio, paracetamol,
1717 ácido acetil salicílico, amoxicilina, tetraciclina, cafeína, atrazina, diuron, 2- nitrofenol, 4-
1718 nitrofenol, fenol) presentes em águas superficiais foram feitas através da Cromatografia
1719 Líquida de alta eficiência (CLAE) utilizando um equipamento da marca equipamento da
1720 marca Shimadzu® com detector UV-VIS (SPD-20A) e coluna C18 (RESTEK®, 4,6 mm x
1721 150 mm x 5 µm), fase móvel etanol: água (95 %: 5 %) com fluxo de 1,2 ml min⁻¹ e volume
1722 de injeção 20,0 µL. (Montagner et al., 2014, com modificações). As Curvas analíticas foram
1723 confeccionadas utilizando-se soluções padrões dos analitos nas concentrações de 0,5; 1,0; 2,0;
1724 3,5; 5,0; 10,0; 15,0, 20,0 e 30 µg L⁻¹ apresentando os coeficientes de correlação (R^2) ≥ 0,99.
1725 Os limites de quantificação do método variaram de 0,018 µg L⁻¹ a 0,225 µg L⁻¹. Todas as
1726 análises foram feitas em replicatas para melhor confiabilidade dos resultados.

1727

1728 **3. Resultados**

1729 **3.1. Potencial mutagênico e citotóxico**

1730 Os resultados do ensaio *Salmonella*/microsoma mostraram que das amostras de água
1731 bruta, apenas a estação WTP03 apresentou mutagênese e citotoxicidade detectadas pela TA98
1732 em ensaios diretos do extrato ácido (277±89 rev/L) (Tabela 2). Compostos de ação indireta
1733 também foram encontrados na fração neutra (184±37,7 rev/L) e ácida (166±29 rev/L) deste

1734 local. Considerando as amostras de água tratada, a resposta mutagênica e/ou indicativa foi
1735 encontrada em todas as WTPs tanto para mutagênese por erro no quadro de leitura (TA98)
1736 como por substituição de pares de bases (TA100) (Tabela 2). Entretanto, a linhagem TA100,
1737 em ensaios com e sem S9, foi a que apresentou valores mais expressivos obtidos nas estações.
1738 A ordem decrescente de resultados significativos encontrados foi:
1739 WTP04>WTP02>WTP01>WTP03. Com exceção da WTP01, as outras três estações
1740 apresentaram valores mais elevados nas frações ácidas em ensaios de ação direta, comparadas
1741 com as neutras, embora mutagênicos também estivessem presentes nesta última. WTP04
1742 apresentou potência mutagênica mais elevada, sendo observado um valor de $1283 \pm 245,8$
1743 rev/L no extrato ácido. Em relação às respostas significativas para promutágenos, verificou-se
1744 que WTP04 teve maior valor de rev/L, ($807 \pm 147,4$ rev/L) em pH ácido, enquanto o local
1745 WTP02 para pH neutro ($102 \pm 47,9$ rev/L). A linhagem TA98 detectou valores baixos para
1746 compostos que causam erro no quadro de leitura, sendo estes encontrados apenas em ensaios
1747 de ação direta nas estações WTP02, WTP03 e WTP04. É importante destacar que nas
1748 amostras de Triunfo (WTP03) houve um decréscimo de 90% da mutagenicidade na água
1749 tratada (29 ± 14 rev/L) comparada com a detectada na água bruta (277 ± 47 rev/L). A
1750 citotoxicidade foi detectada nas amostras de WTP03 e WTP04 (Tabela 2). Os ensaios
1751 realizados com a linhagem YG7108 não foram significativos.

1752 Na amostragem realizada em 2015 em WTP04, a mutagênese foi encontrada na água
1753 bruta, em pH ácido, na linhagem TA100 com ativação metabólica ($362 \pm 41,7$ rev/L), Tabela 2.
1754 Nos ensaios realizados em água tratada verificou-se também o predomínio de danos por
1755 substituição de pares de bases, com valores mais elevados em pH neutro, tanto de ação direta
1756 ($1263 \pm 188,9$ rev/L) quanto indireta ($263 \pm 74,2$ rev/L). Valores de menor intensidade foram
1757 observados em TA98 sem atividade metabólica. Na Figura 2 são mostrados os valores dos

1758 rev/L e a CME avaliados pelo *software* Salanal (Tagliari et al., 2004). Os cálculos de CME
1759 indicaram que a linhagem TA100 foi a mais sensível na maioria dos ensaios de água tratada,
1760 destacando a estação WTP04 com as menores dosagens necessárias para dobrar o número de
1761 colônias revertentes: 0,102 L, na fração neutra, sem S9, amostragem de 2015; 0,103 Lácida,
1762 com S9, em 2017 e 0,120 L ácida, sem S9, em 2017. Embora a linhagem TA100 tenha sido a
1763 mais sensível na maioria dos ensaios da água tratada, a TA98 foi a única que detectou a
1764 presença de compostos mutagênicos na água bruta no local WTP03. Os valores mostraram
1765 que 0,17 L da amostra ácida - sem S9, 0,211 L da amostra neutra - com S9 e 0,24 L da
1766 amostra ácida - com S9, foram necessários para dobrar o número de colônias revertentes.

1767 A relação das MOE dos diferentes extratos indicou que a amostra WTP04R de 2015
1768 em pH neutro, com a maior massa (16,280 μ g/mL) de todas as analisadas. A massa de
1769 WTP042015 foi reduzida após o tratamento nas duas frações, ácida (2,910 μ g/mL) e neutra
1770 (2,930 μ g/mL). Da amostragem realizada em 2017, WTP03T, pH ácido, foi a que apresentou
1771 maior massa (3,950 μ g/mL). Observou-se ainda um aumento da massa após ser realizado
1772 tratamento da água nos seguintes extratos: WTP01 ácido (de 0,840 μ g/mL para 1,480 μ g/mL)
1773 e neutro (de 1,270 μ g/mL para 1,320 μ g/mL); WTP02 neutro (de 0,950 μ g/mL para 3,270
1774 μ g/mL) e WTP03 ácido (de 2,700 μ g/mL para 3,950 μ g/mL).

1775

1776 3.2. Análises químicas: Micropoluentes emergentes

1777 O diagnóstico dos contaminantes emergentes foi realizado a partir de ferramentas
1778 analíticas capazes de detectar até mesmo concentrações muito baixas desses compostos. Na
1779 Tabela 3 estão relacionados os MEs por categoria, observados nas WTPs estudadas. As
1780 amostras das águas brutas apresentaram as maiores concentrações de micropoluentes
1781 emergentes em quase todos os locais comparadas com as de água tratada. Em ordem

1782 decrescente, os valores totais de MEs mais elevados foram detectados na WTP04 com
1783 $12,991 \mu\text{g L}^{-1}$, seguida da WTP02 ($7,341 \mu\text{g L}^{-1}$), WTP03 ($7,050 \mu\text{g L}^{-1}$) e WTP01 ($6,578 \mu\text{g}$
1784 L^{-1}).

1785 Dentre os microcompostos analisados, verificou-se que as maiores concentrações foram
1786 determinadas para a cafeína, presente em quase todas as WTPs e com valores variando de
1787 $1,156 \mu\text{g L}^{-1}$ na WTP02 a $1,647 \mu\text{g L}^{-1}$, na WTP01. Além da cafeína, nestas amostras foram
1788 encontrados outros fármacos e pesticidas. Na WTPO4 os fármacos detectados com maiores
1789 concentrações foram o Paracetamol ($2,114 \mu\text{g L}^{-1}$), Diclofenaco de sódio ($1,895 \mu\text{g L}^{-1}$) e
1790 ácido salicílico ($1,796 \mu\text{g L}^{-1}$). Neste local, também foram encontrados pesticidas, como 2-
1791 nitrofenol, em maior concentração ($1,103 \mu\text{g L}^{-1}$) e Fenol ($1,136 \mu\text{g L}^{-1}$). A tetraciclina e a
1792 atrazina foram os compostos de menor abrangência, sendo o último encontrado apenas na
1793 WTP04. Em Triunfo - WTP03, o ácido salicílico ($1,493 \mu\text{g L}^{-1}$), a cafeína ($1,347 \mu\text{g L}^{-1}$) e o
1794 paracetamol ($1,104 \mu\text{g L}^{-1}$) foram os poluentes de maior predominância.

1795 Assim como nas amostras de água bruta, a categoria dominante de MEs analisados na
1796 água tratada foi a dos fármacos presentes nas diferentes cidades. Dentre os contaminantes
1797 detectados, os fármacos como: a cafeína, o ácido salicílico e o paracetamol foram os mais
1798 abundantes em 100 % das amostras. O tratamento como um todo apresentou eficiência de
1799 remoção em torno de 23,1% a 45,3 %, sendo que os valores variaram de $3,977 \mu\text{g L}^{-1}$ na
1800 WTP02 a $7,113 \mu\text{g L}^{-1}$ em WTP04. Neste último local de captação, onde foram detectadas
1801 concentrações mais elevadas de ME, foi possível observar em ordem decrescente, predomínio
1802 da cafeína ($1,394 \mu\text{g L}^{-1}$), seguida de Paracetamol ($1,037 \mu\text{g L}^{-1}$), Amoxicilina ($0,904 \mu\text{g L}^{-1}$) e
1803 Diclorofenaco de sódio ($0,833 \mu\text{g L}^{-1}$).

1804 **Tabela 2.** Mutagenicidade de amostras de água bruta e tratada das estações de tratamento de água das quatro cidades em revertentes por litro
1805 (rev / L) de água amostrada

1806

Amostra	TA98								TA100								^a Citotoxicidade			
	-S9				+S9				-S9				+S9				-S9		+S9	
	N	A	N	A	N	A	N	A	N	A	N	A	N	A	N	A	N	A	N	A
Bruta																				
WTP01	ns	ns	ns	ns	ns	ns	ns	ns	ns	ns	ns	ns	nc	nc	nc	nc	nc	nc	nc	nc
WTP02	ns	ns	ns	ns	ns	ns	ns	ns	ns	ns	ns	ns	nc	nc	nc	750	375			
WTP03	ns	277±89	184±37,7	166±29	ns	ns	ns	ns	ns	ns	ns	ns	nc	187,5	nc	nc				
WTP04	ns	ns	ns	ns	ns	ns	ns	ns	ns	ns	ns	ns	750	nc	nc	nc	nc	nc		
Tratada																				
WTP01	ns	ns	ns	ns	94±32,1 ⁱ	ns	51±25,2 ⁱ	ns	nc	nc	nc	nc	nc	nc	nc	nc	nc	nc	nc	nc
WTP02	30±10 ⁱ	ns	ns	ns	185±26,7	384±65,5	102±47,9	74±31,5	nc	nc	nc	nc	nc	nc	nc	nc	nc	nc	nc	nc
WTP03	23±7,6	29±14	ns	ns	ns	83±26,7 ⁱ	ns	54±18,1	nc	750	nc	nc	750	nc	nc	nc	nc	nc	nc	nc
WTP04	21±6	40±9,3	ns	ns	253±147,1 ⁱ	1283±245,8	41±20,3	807±147,4	nc	nc	nc	nc	375	nc	nc	375	nc	nc	nc	nc
2015	WTP04bruta	ns	ns	ns	ns	ns	ns	362±41,7	nc	nc	187,5	nc								
	WTP04tratada	28±10,3	27±14,1	ns	ns	1263±188,9	282±38,8	263±74,2	124±36,8	nc	nc	nc	nc	nc	nc	nc	nc	nc	nc	nc

1807 a: primeira dosagem citotóxica em ml de peso seco de água com dosagem de sobrevivência celular inferior a 60% comparada com controle
1808 negativo; ns – não significativa; nc – Não citotóxica; i: indicativo de mutagenicidade; N: pH natural; A: pH ácido; WTP = water treatment plant
1809 sites (ETAs)

1811

1812

1813

1814

1815

1816

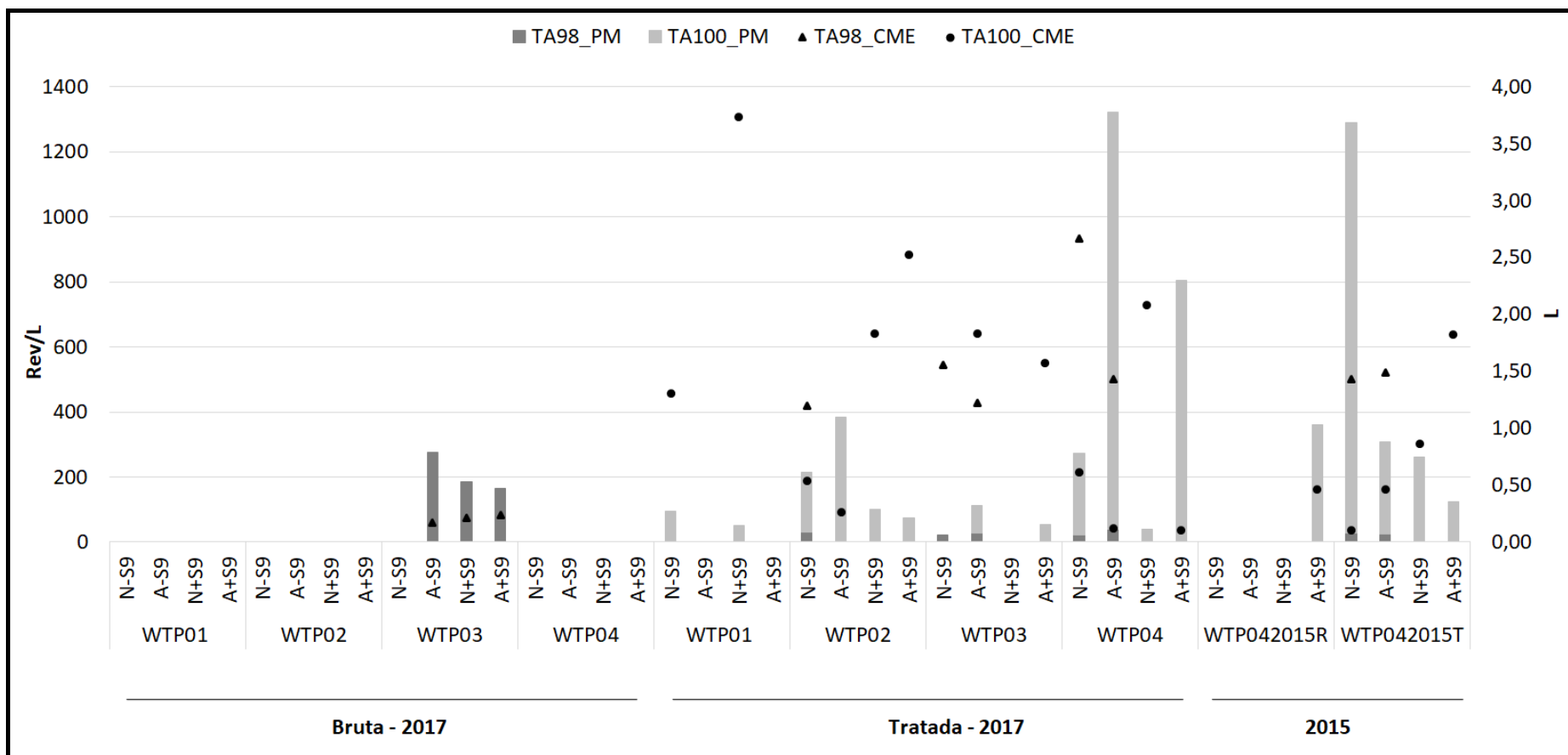


Figura 2. Comparação da sensibilidade das linhagens de *Salmonella* de acordo com a concentração mutagênica efetiva (CME em L) e a Potência Mutagênica (PM em rev / L) de amostras de água de abastecimento na ausência (-S9) e presença (+ S9) de ativação metabólica (S9 humana *in vitro*).

N: pH natural;

A: pH ácido;

WTP = water treatment plant sites (ETAs)

1825 Na WTP02 destaca-se como composto predominante o ácido salicílico com maiores
1826 teores tanto na água bruta ($1,1818 \mu\text{g L}^{-1}$) quanto na tratada ($0,930 \mu\text{g L}^{-1}$). Nos demais
1827 locais, WTP01 e WTP03, os resultados foram semelhantes na maioria das amostras (Tabela
1828 03).

1829
1830 **4. Discussão**

1831 Este estudo buscou investigar a presença de compostos mutagênicos nas amostras de
1832 água bruta e tratada, coletadas nas estações de tratamento. Esta região tem sido alvo de
1833 pesquisas quanto à qualidade da água tratada, uma vez que em estudos anteriores foram
1834 encontrados compostos mutagênicos em amostras de sedimento em dois destes locais de
1835 captação de água (Ta032 e Ta006) (Costa et al., 2012; 2017; Gameiro, 2015; Gameiro et al.,
1836 2018a; 2018b). Na fase atual da pesquisa foi detectado decréscimo na contribuição de HPAs
1837 e metais pesados para explicar o potencial mutagênico de sedimento, descritos em estudos
1838 anteriores, como estressores principais e secundários deste manancial (Gameiro, 2019). Isto
1839 gera um alerta quanto à natureza da mistura complexa de poluentes desta região. Resultados
1840 significativos de mutagenicidade da água tratada foram encontrados nas quatro estações de
1841 tratamento. Entretanto, as respostas das amostras da WTP04 foram as mais expressivas
1842 comparadas com as dos outros locais da presente amostragem de 2017 e persistentes com a
1843 de dois anos anteriores (2015). Comparando os valores das duas amostragens realizadas na
1844 WTP04, houve uma diferença no padrão das respostas encontradas pela linhagem TA100
1845 sem S9. Em 2015 foi observada potência mutagênica de $282 \pm 38,8$ rev/L na fração ácida e
1846 $1263 \pm 188,9$ rev/L na fração neutra, enquanto em 2017 os valores foram inversos,
1847 $1283 \pm 245,8$ rev/L na fração ácida e $253 \pm 147,1$ rev/L na fração neutra.

1848 **Tabela 3.** Concentração de micropoluentes presentes nas estações de tratamento de água das cidades banhadas pelo Rio Taquari.

Categorias	Compostos	Amostras ($\mu\text{g L}^{-1}$)									
		WTP01		WTP02		WTP03		WTP04			
		Bruta	Tratada	Bruta	Tratada	Bruta	Tratada	Bruta	Tratada		
Fármacos											
Analgésicos e anti-Inflamatórios		Diclofenaco Sodio	0,532±0,01	0,202±0,01	0,7553± 0,06	0,346 ±0,02	0,856 ±0,02	0,653± 0,06	1,895± 0,41	0,833± 0,06	
Antibióticos		Paracetamol	0,810±0,05	0,6310±0,05	1,13 ± 0,001	0,74±0,002	1,104±0,03	1,02 ± 0,13	2,11358±0,23	1,037 ± 0,01	
Antibióticos		Ácido salicílico	1,273±0,02	1,0373±0,2	1,1818±0,02	0,93±0,03	1,493±0,03	1,0218±0,2	1,7962±0,29	0,618±0,02	
Estimulante		Amoxicilina	0,216±0,03	0,116±0,03	0,354± 0,01	0,14±0,02	0,304±0,02	0,254± 0,01	0,901±0,06	0,904± 0,1	
Estimulante		Tetraciclina	0,107±0,04	nd	nd	nd	0,145±0,04	0,104±0,03	0,3677±0,05	0,105± 0,05	
Pesticidas		Cafeína	1,647± 0,02	1,073± 0,02	1,156 ± 0,03	0,84±0,04	1,347±0,04	1,056 ± 0,03	1,512 ± 0,12	1,394 ± 0,3	
Pesticidas		Atrazina	nd	nd	nd	nd	nd	nd	0,734 ±0,045	0,272±0,04	
Outros		Diuron	0,266±0,001	0,1235±0,05	0,513±0,003	0,163±0,03	0,45±0,03	0,243±0,03	0,805±0,002	0,13±0,003	
Outros		2-nitrofenol	0,681±0,004	0,4881±0,04	0,7310±0,2	0,506±0,02	0,706±0,02	0,510±0,02	1,103±0,11	0,810±0,02	
Outros		4-nitrofenol	0,304±0,03	0,104±0,03	0,893±0,01	0,169± 0,03	0,202±0,03	0,183±0,01	0,627±0,02	0,583±0,01	
Total		Fenol	0,742±0,02	0,442±0,02	0,627±0,02	0,143±0,05	0,443±0,05	0,378±0,02	1,136±0,38	0,427±0,02	
			6,578	4,217	7,341	3,977	7,050	5,423	12,991	7,113	

1849 ND: não detectada; Análises feitas em replicatas (n= 3); WTP = water treatment plant sites (ETAs).

1850 Segundo De Marini et al., (1995), muitos DBPs gerados durante a cloração da água
1851 são mutágenos detectados principalmente na fração de pH ácida pelas linhagens TA98 e
1852 TA100 sem S9, sendo mais mutagênicos na TA100. O procedimento de extração dos
1853 compostos com resina XAD e a acidificação das amostras em pH 2 permite a adsorção de
1854 compostos mutagênicos, como no caso de alguns DBPs (MX, por exemplo) (IARC, 1991;
1855 Rezemini et al., 2008). Assim, os resultados observados na água tratada dos extratos ácidos
1856 podem ter sido causados por DBPs.

1857 A presença de mutagenicidade mais elevada nos extratos neutros em relação aos
1858 ácidos, como detectado em WTP01 ($94\pm32,1$ rev/L) e WTP04T2015 ($1263\pm188,9$ rev/L) não
1859 são esperadas como resposta aos DBPs e podem indicar interferência antrópica. Gameiro
1860 (2019) sugerem que os locais de captação de água para estas estações estão sob influência
1861 industrial (Ta063) e agrícola (Ta063 e Ta006). No local de captação Ta006, recebe ainda
1862 influência da área com solo contaminado por preservantes de madeira (Pohren et al., 2012;
1863 Costa et al., 2012; 2017; Gameiro et al.; 2018a). A amostragem de 2015 em WTP04 foi
1864 realizada após o processo de intervenção para retirada das principais fontes ativas de
1865 contaminação presentes no solo da área 4 km a montante de Ta006. A partir desta atividade,
1866 contaminantes poderiam ter sido escoados até o local Ta006 do Rio Taquari (Gameiro et al.,
1867 2018a) comprometendo a água captada pela WTP04. Assim, mostrando a diferença no padrão
1868 de mutagenicidade encontrada na porção neutra da água potável de WTP04T2015.

1869 A mutagenicidade de alguns compostos só é detectada após serem metabolizados pelo
1870 organismo, porém, a adição da mistura S9, que contém a enzima citocromo P450 responsável
1871 pela atividade metabólica, demonstrou reduzir a mutagenicidade dos extratos de água tratada
1872 com cloro (Bedoya et al., 2012). Segundo Bedoya e colaboradores, a redução no potencial
1873 mutagênico das amostras de água tratada na Colômbia foi de 51% em ensaios com a linhagem

1874 TA98 e 68% para TA100 na presença de S9, indicando que as substâncias presentes nos
1875 extratos (DBPs) eram de ação direta (-S9). Nossos resultados mostraram redução da
1876 mutagenicidade na presença de S9 concordando com o estudo realizado por nosso grupo de
1877 pesquisa (Pereira et al., 2007) e outros estudos da literatura (Backlund et al. 1985, Park et al.,
1878 2000; Bedoya et al., 2012). Nossos resultados mostraram que a utilização de frações S9
1879 humanas permitiu prever o metabolismo dos compostos mutagênicos em humanos,
1880 concordando com Hakura et al. (2005), uma vez que reproduzem a resposta com mais
1881 fidelidade.

1882 Em ensaios realizados na água bruta, da amostragem de 2017, foi possível verificar
1883 atividade mutagênica apenas no local WTP03, detectada pela linhagem TA98, sensível a
1884 compostos que causam erro no quadro de leitura. As respostas foram tanto na presença quanto
1885 na ausência de metabolização, porém a mais elevada foi em ensaio direto do extrato ácido
1886 (277 ± 89 rev/L). Este resultado permitiu a classificação desta região como pouco mutagênica
1887 (<500 rev/L) comparada com o ranking de resultados compilados de monitoramento da
1888 qualidade da água de superfície em águas residuais (Umbuzeiro et al., 2001; Ohe et al., 2004).
1889 Assim como a linhagem TA100 é reconhecida na literatura como a mais sensível em ensaios
1890 *Salmonella* de amostras de água tratada (De Marini et al., 1995), a TA98 é amplamente
1891 utilizada para testar água e sedimentos dos rios (Chen e White, 2004; Ohe et al., 2003; 2004).

1892 Os resultados significativos da água bruta em WTP03 mostraram um decréscimo de 90
1893 a 100% após o tratamento da água. Além disso, esta amostra, antes do tratamento, foi a mais
1894 citotóxica (na dosagem 187,5 ml) comparada com as demais, mostrando complexidade das
1895 interações causadas por compostos perigosos encontrados no meio aquático. O ponto de
1896 entrada de água (Ta011) para tratamento (WTP03) está localizado 1 km a montante da antiga
1897 usina de tratamento de madeira, de modo que não se espera influência na qualidade da água

1898 devido à contaminação presente na área. No estudo de Coronas et al. (2016) não foi
1899 encontrada mutagenicidade da água neste local, antes e depois do tratamento, amostrada em
1900 janeiro de 2010.

1901 A amostra de WTP04T2015 apresentou resposta significativa para água bruta, porém
1902 detectadas pela TA100+S9, $362 \pm 41,7$ rev/L e decrescendo para $124 \pm 36,8$ rev/L na água
1903 tratada. As demais amostras de água bruta não foram mutagênicas e similares com resultados
1904 encontrados em outros trabalhos (Meier, 1988; Liu et al., 1999; Warren et al., 2015). Em
1905 casos que ocorre aumento da mutagenicidade na água tratada comparada com a bruta sugere-
1906 se que a adição de cloro seja responsável pelos resultados significativos (Park et al., 2000).
1907 Somando aos dados de mutagenicidade, este estudo realizou cálculo da mutação efetiva que
1908 indica o nível máximo de rev/placa, sem e com ativação metabólica, para gerar o dobro da
1909 mutação espontânea. Ao calcular o CME, observamos que houve uma variação de resposta
1910 entre as linhagens estudadas. No ranking de mutagenicidade das amostras foi possível
1911 observar que a WTP04, após tratamento, apresentou CME menor (0,103 L), nas amostragens
1912 de 2017 e 2015, ou seja, estas amostras foram as mais mutagênicas, em menores
1913 concentrações, detectadas pela linhagem TA100.

1914 A ocorrência de micropoluentes no ambiente aquático foi revisada em recentes estudos
1915 de 2008 a 2014 por Luo et al. (2014) que relataram suas concentrações em diferentes tipos de
1916 águas, incluindo águas residuais, águas superficiais, águas subterrâneas e água potável. Entre
1917 os locais estudados neste trabalho, a maior concentração de MEs foi detectada na WTP04 -
1918 em General Câmara, com $12,991 \mu\text{g L}^{-1}$. Nas demais estações as concentrações totais foram
1919 WTP02 ($7,341 \mu\text{g L}^{-1}$), WTP03 ($7,050 \mu\text{g L}^{-1}$) e WTP01 ($6,578 \mu\text{g L}^{-1}$). A presença desses
1920 MEs está relacionada com as atividades antrópicas desenvolvidas nas regiões próximas às
1921 ETAs (Vettorello et al., 2017).

1922 As maiores concentrações encontradas na água bruta foram determinadas para a
1923 cafeína, presentes em todas as WTPs e com valores variando de 1,156 µg L⁻¹ na WTP02 a
1924 1,647µg L⁻¹, na WTP01. Sua presença nos mananciais está diretamente relacionada com o
1925 aporte de esgoto doméstico nos corpos d'água. Em países onde o problema de coleta e
1926 tratamento de esgoto já foi equacionado, a presença de cafeína nos corpos d'água está
1927 relacionada com a eficiência das estações de tratamento de esgoto, que são capazes de
1928 remover entre 80 e 99 % desses contaminantes, dependendo do tipo de tratamento que é
1929 aplicado (Raimundo, 2011). A cafeína, o ácido salicílico e o paracetamol foram os mais
1930 abundantes em 100 % das amostras. O tratamento como um todo apresentou eficiência de
1931 remoção em torno de 23,1% na WTP03 a 45,3 % na WTP04, sendo que os valores variaram
1932 de 5,423 µg L⁻¹ a 7,113 µg L⁻¹. As concentrações de cafeína foram baixas comparadas com as
1933 reportadas em outros mananciais brasileiros que são em níveis de centenas de µg L⁻¹. Desta
1934 forma, Frohener et al. (2010) determinaram concentrações entre 1,4 e 753,5 µg L⁻¹ em
1935 mananciais na região de Curitiba (PR) e Gonçalves (2008) determinou concentrações entre
1936 0,2 e 47,5 µg L⁻¹ em Teresópolis (RJ). Em Campinas, o histórico de contaminação desses
1937 mananciais por cafeína aponta concentrações entre 0,2 e 127 µg L⁻¹ (Montagner e Jardim,
1938 2011). Nos EUA e Canadá, as concentrações determinadas em regiões densamente povoadas
1939 relatadas na literatura, não ultrapassam 0,225 µg L⁻¹ (Wang et al., 2011; Focazio, et al., 2008;
1940 Conley et al., 2008; Stackelberg et al., 2007; Chen et al., 2006). Para países como Itália,
1941 Alemanha, França e Espanha são reportados valores de cafeína nos mananciais de até 3 µg L⁻¹,
1942 dependendo da região (Loos et al., 2007; Musolff et al., 2009; Togola & Budzinski, 2008;
1943 Fernandez et al., 2010; Huerta-Fontela et al., 2007).

1944 Entre os fármacos com maiores concentrações destacaram-se o Paracetamol (2,114 µg
1945 L⁻¹), Diclofenaco de sódio (1,895 µg L⁻¹) e ácido salicílico (1,796 µg L⁻¹) em WTP04; e, o

1946 ácido salicílico ($1,493 \mu\text{g L}^{-1}$) e o paracetamol ($1,104 \mu\text{g L}^{-1}$) na WTP03. Como
1947 medicamentos ingeridos via oral são metabolizados no corpo humano e subsequentemente
1948 excretados pela urina e fezes, sua taxa de excreção desempenha um papel importante na
1949 introdução desses produtos nas águas brutas. O diclofenaco, por exemplo, possui baixas taxas
1950 de excreção e baixos níveis dele significam que as baixas taxas de excreção são compensadas
1951 pelo uso massivo deste composto (Luo et al., 2014). Além disso, as doenças comuns locais
1952 podem induzir um maior consumo de produtos farmacêuticos específicos em determinados
1953 períodos. Pesquisas mostraram que condições climáticas podem causar entrada flutuante de
1954 micropoluentes (Kolpin et al., 2002). No País de Gales e Reino Unido o paracetamol foi
1955 detectado em níveis altos em águas residuais brutas ($> 10 \mu\text{g/L}$) e isso pode ser explicado pelas
1956 altas quantidades de seu descarte (Kasprzyk-Hordern et al., 2008).

1957 Em WTP04 foram encontrados valores mais elevados para as pesticidas, como: 2-
1958 nitrofenol, em maior concentração ($1,103 \mu\text{g L}^{-1}$), Diuron ($0,805 \mu\text{g L}^{-1}$) e Fenol ($1,136 \mu\text{g L}^{-1}$). A atrazina foi detectada apenas na WTP04 ($0,734 \mu\text{g L}^{-1}$). Esta é um dos herbicidas mais
1959 consumidos no Brasil (IBAMA, 2010). Usada no combate a plantas infestantes e aplicada em
1960 inúmeras culturas, rodovias e linha férreas. Além disso, é o único pesticida regulamentado nas
1961 águas superficiais no Brasil com uma concentração máxima permitida de $2 \mu\text{g L}^{-1}$ (Brasil,
1962 2005). Apesar de ser bastante estável no ambiente, a presença deste herbicida nos corpos
1963 d'água está relacionada com a lixiviação de solos agrícolas e, por isso, pode haver um
1964 aumento na concentração dela em períodos chuvosos, o que aconteceu na amostra WTP04
1965 (Raimundo, 2011). Assim como nos mananciais, dentre os contaminantes detectados na água
1966 tratada, a cafeína foi a que apresentou maior concentração em todas as WTPs, com valores
1967 variando de $0,840 \mu\text{g L}^{-1}$, na WTP02 a $1,349 \mu\text{g L}^{-1}$, na WTP04. Trabalhos descritos na
1968 literatura reportam concentrações menores que as determinadas neste trabalho, entre 0,012 e

1970 0,181 µg L⁻¹ na Itália, França, EUA e Canadá (Loos et al., 2007; Togola e Budzinski, 2008;
1971 Stackelberg et al., 2007; Wang et al., 2011; Chen et al., 2006). O ácido salicílico também foi
1972 detectado com teores mais elevados em relação a outros compostos, variando de 0,618 µg L⁻¹,
1973 na WTP04 a 1,037 µg L⁻¹, na WTP01. Nossos valores indicaram estar um pouco acima da
1974 faixa encontrada em outros trabalhos, ND a 0,50 µg L⁻¹ (Gracia-Lor et al., 2012; Kasprzyk-
1975 Hordern et al., 2009; Stamatis & Konstantinou, 2013).

1976 A presença de MEs, na água bruta e na tratada, mostra que a maioria destes, com
1977 exceção do pesticida atrazina, não estariam contribuindo na mutagênese detectada pelo ensaio
1978 *Salmonella*, já que as amostras brutas foram quase todas negativas. Entretanto, após
1979 tratamento, a mutagenicidade foi encontrada em todas as ETAS. Segundo a literatura
1980 (Glassmeyer & Shoemaker, 2005; Bedner & MacCrehan, 2006a, 2006b) alguns fármacos
1981 como paracetamol, mais especificamente seu princípio ativo, o acetaminofeno, além do
1982 diclofenaco, podem reagir com cloro formando numerosos DBPs, alguns considerados
1983 tóxicos. Assim, a formação de DBPs a partir da reação com MEs, bem como a persistência de
1984 MEs após tratamento, serve de alerta para órgãos ambientais quanto a fiscalização e uso
1985 destes, pois muitos produtos são de uso pessoal e descartados de forma inadequada nos
1986 recursos hídricos.

1987 5. Conclusão

1988 A crescente preocupação científica sobre a presença de micropoluentes orgânicos em
1989 ambientes aquáticos e seus potenciais riscos têm sido amplamente avaliada nos últimos anos,
1990 principalmente nos países desenvolvidos. Uma variedade de metodologias vem sendo
1991 desenvolvidas para melhorar a eficiência na remoção dos resíduos tóxicos e genotóxicos,
1992 porém na maioria dos países a adoção destes procedimentos ainda está distante. Neste
1993 trabalho foi verificada a presença de mutagenicidade, detectada pelo ensaio

1994 *Salmonella*/microssoma, nas amostras de água tratada de todas as WTPs. Na água bruta,
1995 apenas a WTP03 foi mutagênica. Através dos resultados significativos encontrados na água
1996 tratada foi possível concluir que a presença dos contaminantes nas águas das quatro WTPs
1997 está relacionada ao processo de tratamento da água utilizado. Em WTP04, antes e depois do
1998 tratamento, foram encontrados resultados mais expressivos para potências mutagênicas e
1999 concentrações de micropoluentes. Respostas também foram encontradas nos demais locais,
2000 porém com menores valores. Nossos resultados de MEs indicaram que, embora tenham
2001 apresentado uma redução destes compostos nas águas tratadas em relação às brutas, eles ainda
2002 estiveram presentes nas águas distribuídas para população. Além disso, a maioria dos MEs,
2003 com exceção da atrazina, não contribuíram na mutagênese detectada pelo ensaio *Salmonella*,
2004 já que as amostras brutas foram quase todas negativas. Entretanto, após tratamento, a
2005 mutagênese foi encontrada em todas as ETAS, podendo os MEs também estarem reagindo
2006 com o cloro, contribuindo na formação de DBPs mutagênicos com padrão diferente do
2007 esperado, após o tratamento convencional. A cafeína foi encontrada em todas as amostras e
2008 em maiores concentrações, após tratamento, em relação aos outros compostos analisados.
2009 Como ela é considerada também um marcador químico de qualidade ambiental, verificou-se
2010 que nas regiões estudadas não apresentam tratamento e destino de esgoto adequado, sendo
2011 dessa forma, uma importante fonte de contaminação no Rio Taquari. Assim, a elaboração de
2012 diretrizes que inclua os contaminantes emergentes é fundamental, pois permitiria que as
2013 agências regulatórias ambientais e órgãos do governo estabelecessem melhores padrões para a
2014 preservação da vida aquática, conservação dos mananciais e potabilidade da água distribuída à
2015 população.

2016

- 2017 **Declaração de Contribuições do Autor**
- 2018 Paula escreveu o manuscrito com importante contribuição intelectual do PhD. Vera. O
2019 estudante de graduação Kauê auxiliou nas coletas das amostras, extrações dos compostos
2020 orgânicos e nos testes de *Salmonella*/microssoma. Tatiana e Flávio realizaram as análises
2021 químicas. Todos os autores aprovaram o manuscrito final.
- 2022 **Agradecimentos**
- 2023 Os autores agradecem a Coordenação de Aperfeiçoamento de Pessoal de Nível
2024 Superior (CAPES) pela bolsa de doutorado cedida a Paula Hauber Gameiro e ao Conselho
2025 Nacional de Desenvolvimento Científico e Tecnológico pela bolsa de iniciação científica de
2026 Kauê Hohn Assis, Ismael Pescke e Lívia Rozino. Agradecimentos também à Vanda Garibotti,
2027 da Divisão de Vigilância Ambiental de Saúde pela permissão ao acesso nas Estações de
2028 Tratamento de Água para realização das coletas. Este trabalho foi financiado Conselho
2029 Nacional de Desenvolvimento Científico e Tecnológico (Processos CNPq 307884/2011-2 e
2030 CNPq 479566/2012-7).
- 2031
- 2032
- 2033
- 2034
- 2035
- 2036

6. Referências

- Appel, J.SL, Terescova, V, Rodrigues, VCB, Varga, VMF. 2007. Aspectos toxicológicos do preservativo de madeira CCA (arsenato de cobre cromato): revisão. Rev. Bras. Toxicol. 19, 29 – 43 (in Portuguese).
- ATSDR - Agency for Toxic Substances and Disease Registry. 2008. Resumende Salud Pública—Hidrocarburos Aromáticos Policíclicos. Available:http://www.atsdr.cdc.gov/es/phs/es_ph69.pdf.
- Backlund, P., Kronberg, L., Pensar, G., Tikkanen, L. 1985. Mutagenic activity in humic water and alum flocculated humic water treated with alternative disinfectant. Science of the total environment. 47, 257-264.
- Bedoya, E.R., Velasquez, N., Quijano, J., Bravo-linares, C. 2012. Mutagenicity and Genotoxicity of water treated for human consumption induced by chlorination by-products. National Environmental Health Association
- Bedner, M., MacCrehan, W.A., 2006a. Reactions of the amine-containing drugs fluoxetine and metoprolol during chlorination and dechlorination processes used in wastewater treatment. Chemosphere 65, 2130–2137.
- Bedner, M., MacCrehan, W.A., 2006b. Transformation of acetaminophen by chlorination produces the toxicants 1,4-benzoquinone and n-acetyl-pbenzoquinone imine. Environ. Sci. Technol. 40, 516–522.
- Benotti, M.J., Trenholm, R.A., Van der Ford, B.J., Holady, J.C., Stanford, B.D., Snyder, S.A. 2009. Pharmaceuticals and endocrine disrupting compounds in U.S. drinking water. Environ. Sci. Technol. 43, p 597.
- Bernstein, L., Kaldor, J., Mccann, J., Pike, M.C. 1982. An empirical approach to the statistical analysis of mutagenesis data from the Salmonella test, Mutat. Res. 97, 267–287.
- Boorman, G.A., Dellarco, V., Dunnick, J.K., Chapin, R.E., Hunter, S., Hauchman, F., Gardner, H., Cox, M., Sills, R.C. 1999. Drinking water disinfection byproducts: review and approach to toxicity evaluation, Environ. Health Perspect. 107, 207–217.
- Bodzek, M., Dudziak, M. 2006. Elimination of steroidal sex hormones by conventional water treatment and membrane processes. Desalination. 198., p 24.
- Brasil. 2005. Conselho Nacional do Meio Ambiente. Resolução CONAMA nº 357 de 17 de março de 2005. Dispõe sobre a classificação dos corpos de água e diretrizes ambientais para o seu enquadramento, bem como estabelece as condições e padrões de lançamento de efluentes, e dá outras providências. Available. <http://www.mma.gov.br/conama> (in Portuguese).
- Cardozo, T.R., Rosa,D.P., Feiden, I.R., Rocha, J.A.V., Oliveira, N.C.A., Pereira, T.S.P., Pastoriza, T.F., Marques, D.M., Lemos, C.T.L. Terra, N.R., Vargas, V.M.F. 2006. Genotoxicity and toxicity assessment in urban hydrographic basins. Mutat Res. 603, 83–96.
- Chen, G., White, P.A. 2004. The mutagenic hazards of aquatic sediments: a review. Mutat. Res. 567, 151-225.
- Chen, M., Ohman, K., Metcalfe, C., Ikonomou, M.G., Amatya, P.L., Wilson, J. 2006. Pharmaceuticals and endocrine disruptors in wastewater treatment effluents and in the water supply system of Calgary, Alberta, Canada. Water Qual. Res. J. Canada. 41, p.351.
- Conley, J.M., Symes, S.J., Schorr, M.S., Richards, S.M. 2008. Spatial and temporal analysis of pharmaceutical concentrations in the upper Tennessee River basin. Chemosphere. 73, p.1178.

- 2083 Coronas, M.V., Rocha, J.A.V., Salvadori, D.M.F., Vargas, V.M.F., 2016. Evaluation of area
2084 contaminated by wood treatment activities: Genetic markers in the environment and in
2085 the child population. Chemosphere 144, 1207-1215.
- 2086 Cortés, C, Marcos, R. 2018. Genotoxicity of disinfection byproducts and disinfected waters:
2087 A review of recent literature. Mutat Res Gen Tox En. 831, 1–12.
- 2088 Costa et al., 2012; Costa, T.C., Brito, K.C.T., Rocha, J.A.V., Leal, K. A., Rodrigues, M.L.K.,
2089 Minella, J.P.G., Matsumoto, S.T., Vargas, V.M.F. 2012. Run off of genotoxic compounds
2090 in river basin sediment under the influence of contaminated soils. Ecotox. Environ. 75,
2091 63–72.
- 2092 Costa, T.C., Brito, K.C.T., Rocha, J.A.V., Leal, K. A., Rodrigues, M.L.K., Minella, J.P.G.,
2093 Matsumoto, S.T., Vargas, V.M.F. 2017. Corrigendum to: Runoff of genotoxic
2094 compounds in river basin sediment under the influence of contaminated soils [Ecotoxicol.
2095 Environ. Saf. 75 (2012) 63–72]. Ecotox. Environ. 143, 351–352.
- 2096 De Marini, D.M., Abu-Shakra, A., Felton, C.F., Patterson, K.S., Shelton, M.L., 1995.
2097 Mutation spectra in *Salmonella* of chlorinated, chloraminated, or ozonated drinking water
2098 extracts: comparison to MX. Environ. Mol. Mutagen. 26, 270–285.
- 2099 Fernandez, C., González-Doncel, M., Pro, J., Carbonell, G., Tarazona, J.V. 2010. Occurrence
2100 of pharmaceutically active compounds in surface waters of the Henares-Jarama-Tajo
2101 River system (Madrid, Spain) and a potential risk characterization. Sci. Total Environ.
2102 408, p.543. Huerta-Fontela, M., Galceran, M.T., Ventura, F. 2011. Occurrence and
2103 removal of pharmaceuticals and hormones through drinking water treatment. Water Res.
2104 45, p.1432.
- 2105 Focazio, M.J., Kolpin, D.W., Barnes, K.K., Furlong, E.T., Meyer, M.T., Zaugg, S.D., Barber,
2106 L.B., Thurman, M.E. 2008. A national reconnaissance for pharmaceuticals and other
2107 organic wastewater contaminants in the United States - II) Untreated drinking water
2108 sources. Sci. Total Environ. 402, p201.
- 2109 Froehner, S., Souza, D.B., Machado, K.S., Rosa, E.C. 2010. Tracking anthropogenic inputs in
2110 Barigui River, Brazil using biomarkers. Water Air Soil Pollut. 210, p.33.
- 2111 Gameiro, PH. Qualidade ambiental da sub-bacia do Baixo Taquari influenciada por sítio
2112 contaminado em processo de remediação 100 f. Dissertação de Mestrado (Ecologia) –
2113 Instituto de Biociências, Programa de Pós-Graduação em Ecologia, Universidade Federal
2114 do Rio Grande do Sul, Porto Alegre, 2015. (in portuguese)
- 2115 Gameiro, PH, Pereira, NC, Rocha, JAV, Leal, KA, Varga, VMF. 2018a. Assessment of
2116 Sediment Mutagenicity in Areas under the Influence of a Contaminated Site Undergoing
2117 a Remediation Process. Environ. Mol. Mutagen. 59, 625-638.
- 2118 Gameiro, PH, Pereira, NC, Rocha, JAV, Leal, KA, Vargas, VMF. 2018b. PAHs as quality
2119 markers of the sediments in the Lower Taquari sub-basin during the period of
2120 intervention in a contaminated site. Ecotoxicol. Environ. Contam. 13(2), 19-23.
- 2121 Glassmeyer, S.T., Shoemaker, J.A., 2005. Effects of chlorination on the persistence of
2122 pharmaceuticals in the environment. Bull. Environ. Contam. Toxicol. 74, 24–31.
- 2123 Gonçalves, E.S. 2008. Uso da Cafeína como Indicador de Contaminação por Esgoto
2124 Doméstico em Águas Superficiais; Dissertação de mestrado; Universidade Federal
2125 Fluminense, 90 pp.
- 2126 Gracia-Lor ,E., Sancho, J.V., Serrano, R., Hernández, F. 2012. Occurrence and removal of
2127 pharmaceuticals in wastewater treatment plants at the Spanish Mediterranean area of
2128 Valencia. Chemosphere.87, 453-462.

- 2129 Grellier, J., Rushton, L., Briggs, D.J., Nieuwenhuijsen, M.J. 2015. Assessing the human
2130 health impacts of exposure to disinfection by-products – a critical review of concepts and
2131 methods, Environ. Int. 78, 61–81, <http://dx.doi.org/10.1016/j.envint.2015.02.003>.
- 2132 Guillén, D, Ginebreda, A, Farré, M, Darbra, RM, Petrovic, M, Gros, M, Barceló, D. 2012.
2133 Prioritization of chemicals in the aquatic environment based on risk assessment:
2134 analytical, modeling and regulatory perspective. Sci. Total Environ.440, 236-252.
- 2135 Huerta-Fontela M., Galceran M.T., Ventura F. 2007. Ultraperformance liquid
2136 chromatography-tandem mass spectrometry analysis of stimulatory drugs of abuse in
2137 wastewater and surface waters; Anal. Chem. 79, p.3821.
- 2138 IARC - Internaciona Agency for Reserch on Câncer. 1991. Monographs on the evaluation of
2139 carcinogenic risks to humans: occupational exposures in insecticide application, and
2140 some pesticides. Pentachlorophenol. Lyon. 53, 371- 402.
- 2141 IARC - Internaciona Agency for Reserch on Câncer. 1999a. Monographs on the Evaluation
2142 of Carcinogenic Risks to Humans. Some Chemicals that Cause Tumours of the Kidney or
2143 Urinary Bladder in Rodents and Some Other Substances, vol. 73, Lyon,France.
- 2144 IARC - Internaciona Agency for Reserch on Câncer. 1999b. Re-evaluation of Some Organic
2145 Chemicals, Hydrazine and Hydrogen Peroxide, vol. 71, Lyon, France.
- 2146 IBAMA – Instituto Brasileiro do meio Ambiente e dos Recursos Renováveis (2010) Produtos
2147 agrotóxicos e afins comercializados em 2009 no Brasil – uma abordagem ambiental;
2148 Avaiable: <http://www.ibama.gov.br> (in portuguese)
- 2149 IBGE - Instituto Brasileiro de Geografia e Estatística, Censo 2019.
- 2150 Kado, N., Guirguis, G., Flessel, C., Chan, R., Chang, K., Wesolowsi, J. 1986. Mutagenicity of
2151 fine (less than 2.5 microns) airborne particles: diurnal variation in community air
2152 determined by a *Salmonella* micro preincubation (microsuspension) procedure. Environ.
2153 Mutagen. 8, 53-66.
- 2154 Kasprzyk-Hordern, B., Dinsdale, R.M., Guwy, A.J. 2008. The occurrence of pharmaceuticals,
2155 personal care products, endocrine disruptors and illicit drugs in surface water in South
2156 Wales, UK. Water Res. 42, p.3498.
- 2157 Kasprzyk-Hordern, B., Dinsdale, R.M., Guwy, A.J. 2009. The removal of pharmaceuticals,
2158 personal care products, endocrine disruptors and illicit drugs during wastewater treatment
2159 and its impact on the quality of receiving waters. Water Res.43, 363-380.
- 2160 Kolpin, D. W., Furlong, E.T., Meyer, M.T., Thurman, E.M., Zaugg, S.D., Barber, L.B.,
2161 Buxton, H.T. 2002. Pharmaceuticals, hormones and other organic wastewater
2162 contaminants in U.S. streams, 1999-2000: A national reconnaissance. Environ. Sci.
2163 Technol. 36, p.1202.
- 2164 Legay, C., Rodriguez, M.J., Sérodes, J.B., Levallois, P; 2010. Estimation of chlorination by-
2165 products presence in drinking water in epidemiological studies on adverse reproductive
2166 outcomes: A review. Science of the Total Environment. 408, 456–472
- 2167 Lemos, A.T., Rosa, D.P., Rocha, J.A.V., Vargas, V.M.F., 2009. Mutagenicity assessment in a
2168 river basin influenced by agricultural, urban and industrial sources. Ecotoxicol. Environ.
2169 Saf. 72, 2058–2065.
- 2170 Liu, Q., Jiao, Q.C., Hung, X.M., Cui, S.Q., Yao, G.H., Ziang, Z.R., Zhao, H.K., Wang, N.Y.
2171 1999. Genotoxicity of drinking water from Chao Lake, Environ. Res. 127–131.
- 2172 Loos, R., Wollgast, J., Huber, T., Hanke, G. 2007. Polar herbicides, pharmaceutical products,
2173 perfluorooctanesulfonate (PFOS), perfluorooctanoate (PFOA), and nonylphenol and its
2174 carboxylates and ethoxylates in surface and tap waters around Lake Maggiore in
2175 Northern Italy. Anal. Bioanal. Chem. 387, p.1469.

- 2176 Luo, Y., Guo, W., Ngo, H. H., Nghiem, L.D., Hai, F. Ibney., Zhang, J., Liang, S. 2014. A
2177 review on the occurrence of micropollutants in the aquatic environment and their fate and
2178 removal during wastewater treatment. *Science of the Total Environment*, 473-474
2179 (March), 619-641.
- 2180 Maron, D.M., Ames, B.N. 1983. Revised methods for the *Salmonella* mutagenicity test.
2181 *Mutat. Res.* 11,173-215.
- 2182 Meier, J.R., Lingg, R.D., Bull, R.J. 1983. Formation of mutagens following chlorination of
2183 humic acid. A model for mutagen formation during drinking water treatment, *Mutat. Res.*
2184 118, 25-41.
- 2185 Meier, J.R. 1988. Genotoxic activity of organic chemicals in drinking water. *Mutat Res.* 196,
2186 211-45.
- 2187 Montagner, C.C., Jardim, W.F. 2011. Spatial and seasonal variations of pharmaceuticals and
2188 endocrine disruptors in the Atibaia River, São Paulo State (Brazil). *J. Braz. Chem. Soc.*
2189 22, p 1452.
- 2190 Musolff, A., Leschik, S., Möder, M., Strauch, G, Reinstorf, F., Schirmer, M. 2009. Temporal
2191 and spatial patterns of micropollutants in urban receiving waters. *Environ. Pollut.* 157,
2192 p.3069.
- 2193 Nawrocki, J., Andrzejewski, P., 2011. Nitrosamines and water. *J. Hazard Mater.* 189, 1-18.
- 2194 Nihemaiti, M., Le Roux, J., Hoppe-Jones, C., Reckhow, D.A., Croué, J.P. 2017. Formation of
2195 haloacetonitriles, haloacetamides, and nitrogenous heterocyclic byproducts by
2196 chloramination of phenolic compounds, *Environ. Sci. Technol.* 51, 655-663,
2197 <http://dx.doi.org/10.1021/acs.est.6b04819>.
- 2198 Ohe, T., Watanabe, T., Wakabayashi, K. 2004. Mutagens in surface waters: a review.
2199 *Mutation Research.* 567, 109-149.
- 2200 Ohe, T., White, P.A., DeMarini, D.M. 2003. Mutagenic characteristics of river waters flowing
2201 through large metropolitan areas in North America. *Mutat. Res.* 534, 101-112.
- 2202 Park, J.H., Lee, B.J., Lee, S.K., Kim, K., Lee, K.H., Che, J.H., Kang, K.S., Lee, Y.S. 2000.
2203 Genotoxicity of drinking water from three Korea cities. *Mutation research.* 466, 173-178.
- 2204 Pereira, T.S., Rocha, J.A.V., Duccatti, A., Silveria, G.A., Pastoriza, T.F., Bringuenti, L.,
2205 Vargas, V.M.F. 2007. Evaluation of mutagenic activity in supply water at three sites in
2206 the state of Rio Grande do Sul, Brazil. *Mutat. Res.* 629,71-80.
- 2207 Pohren, R.S., Rocha, J.A.V., Leal, K.A., Vargas, V.M.F. 2012. Soil mutagenicity as a strategy
2208 to evaluate environmental and health risks in a contaminated area. *Environ.* 44, 40-52.
- 2209 Quintana, J., Martí, I., Ventura, F. 2001. Monitoring of pesticides in drinking and related
2210 waters in NE Spain with a multiresidue SPE-GC-MS method including an estimation of
2211 the uncertainty of the analytical results. *J. Chromatogr. A.* 938, p 3.
- 2212 Raimundo, C. C. M. 2011. Contaminantes emergentes em água tratada e seus mananciais:
2213 sazonalidade, remoção e atividade estrogênica. 204 f. Tese de Doutorado (Química
2214 ambiental) - Instituto de Química, Departamento de Química Analítica, Laboratório de
2215 Química Ambiental da Universidade Estadual de Campinas, Campinas – São Paulo.
- 2216 Rezemini, A.L., Vaz, J.M., Carvalho, L.R.E. 2008. Solid-phase microextraction for
2217 determination of 3-chloro-4-(dichloromethyl)-5-hydroxy-2[5H]-furanona in water.
2218 *Journal of the Brazilian Chemical Society.* 19, 922-928.
- 2219 Richardson, S.D. 1998. Drinking water disinfection by-products. *The Encyclopedia of
2220 Environmental Analysis and Remediation*, 3. John Wiley & Sons I. 1398-421.
- 2221 Richardson, S.D.; Plewa, M.J.; Wagner, E.D.; Schoeny, R.; Demarini, D.M. 2007.
2222 Occurrence, genotoxicity, and carcinogenicity of regulated and emerging disinfection by
2223 products in drinking water: a review and roadmap for research. *Mutat.Res.* 636, 178-242.

- 2224 Satinder, A. 2009. Handbook of water purity and quality. London: Academi.
- 2225 Stackelberg, P.E., Gibbs, G., Furlong, E.T., Meyer, M.T., Zaugg, S.D., Lippincott, R.L. 2007
2226 Efficiency of conventional drinking-water-treatment processes in removal of
2227 pharmaceuticals and other organic compounds. *Sci. Total Environ.* 377, p 255.
- 2228 Stamatis, N.K., Konstantinou, I.K. 2013. Occurrence and removal of emerging
2229 pharmaceutical, personal care compounds and caffeine tracer in municipal sewage
2230 treatment plant in Western Greece. *J Environ Sci Heal B*. 48, 800-813.
- 2231 Tagliari, K.C., Cecchini, R., Rocha, J.A.V., Vargas, V.M.F. 2004. Mutagenicity of sediment
2232 and biomarkers of oxidative stress in fish from aquatic environments under the influence
2233 of tanneries. *Mutat. Res.* 561, 101–117.
- 2234 Ternes, T., Joss, A., Oehlmann, J. 2015. Occurrence, fate, removal and assessment of
2235 emerging contaminants in water in the water cycle (from wastewater to drinking water).
2236 *Water Research*. 72, p. 1-2.
- 2237 Togola, A., Budzinski, H. 2008. Multi-residue analysis of pharmaceutical compounds in
2238 aqueous samples. *J. Chromatogr. A*. 1177, p.150.
- 2239 Umbuzeiro, G.D.A., Roubicek, D.A., Sanchez, P.S., Sato, M.I. 2001. The *Salmonella*
2240 mutagenicity assay in a surface water quality monitoring program based on a 20-year
2241 survey. *Mutat. Res.* 491,119–126.
- 2242 USEPA - U.S. Environmental Agency. 2012. Integrated risk information system (IRIS) N-
2243 Nitrosodimethylamine.
- 2244 Vargas et al., (1993; Vargas, V.M.F., Motta, V.E.P., Henrique, J.A.P. 1993. Mutagenic
2245 activity detected by the Ames test in river water under the influence of petrochemical
2246 industries. *Mutat. Res.* 319, 31-45.
- 2247 Vargas, V.M.F.; Migliavacca, S.B.; Horn, R.C, Terra, N.R. 2008. Comparative temporal
2248 ecotoxicological study in a river basin influenced by petrochemical industries. *Science of
2249 the Total Environment*. 392,79-92.
- 2250 Verliefde, A., Cornelissen, E., Amy, G., Bruggen, B.V., Dijk, H. 2007. Priority organic
2251 micropollutants in water sources in Flanders and the Netherlands and assessment of
2252 removal possibilities with nanofiltration. *Environ. Pollut.* 146, p 281.
- 2253 Vettorello, G., Brandt, V., Dallazen, M.C., Kunh, D., Etgeton, H.P., Spellmeyer, J.G. ,
2254 Carlesso, W.M., Hoehne, L.. 2017. Micropoluentes em água – o novo desafio emergente.
2255 Revista Caderno Pedagógico. 14 (1), 72-83.
- 2256 Wagner, E.D., Hsu, K.M., Lagunas, A., Mitch, W.A., Plewa, M.J. 2012. Comparative
2257 genotoxicity of nitrosamine drinking water disinfection byproducts in *Salmonella* and
2258 mammalian cells. *Mutation Research*. 741, 109– 115.
- 2259 Wang, C., Shi, H., Adams, C.D., Gamagedara, S., Stayton, I., Timmons, T. 2011.
2260 Investigation of pharmaceuticals in Missouri natural and drinking water using high
2261 performance liquid chromatography-tandem mass spectrometry. *Water Res.*45,1818-
2262 1828.
- 2263 Wang, S., Tian, D., Zheng, W., Jiang, S., Wang, X., Andersen, M.E., Zheng, Y., He, G., Qu,
2264 W. 2013. Combined exposure to 3-chloro-4-dichloromethyl-5-hydroxy-2(5H)-furanone
2265 and microsytin-LR increases genotoxicity in Chinese hamster ovary cells through
2266 oxidative stress, *Environ. Sci. Technol.* 47, 1678–1687, <http://dx.doi.org/10.1021/es304541a>.
- 2268 Warren, SH; Claxton, LD; Dilberto, J., Hughes, TJ; Swank, A, Usnierz, DH, Marshall, V,
2269 Demarini, DM. 2015. Survey of the mutagenicity of surface water, sediments, and
2270 drinking water from the Penobscot Indian Nation. *Chemosphere*, v. 120, n. 2015, p. 690–
2271 696.

- 2272 Watanabe, T., Takahashi, Y., Takahashi, T., Nukaya, H., Terao, Y., Hirayama, T.,
2273 Wakabayashi, K., 2002. Seasonal fluctuation of the mutagenicity of river water in Fukui,
2274 Japan, and the contribution of 2-phenylbenzotriazole-type mutagens. Mutat. Res. 519,
2275 187–197.
- 2276 Yamada, M., Matsui, K., Sofuni, T., Nohmi, T. 1997. New tester strains of *Salmonella*
2277 *typhimurium* lacking O6-methylguanine DNA methyltransferases and highly sensitive to
2278 mutagenic alkylating agents, Mutat. Res. 381, 15–24.
- 2279
- 2280
- 2281
- 2282
- 2283
- 2284
- 2285
- 2286
- 2287
- 2288
- 2289
- 2290
- 2291
- 2292
- 2293
- 2294
- 2295
- 2296
- 2297
- 2298
- 2299

2300 **5. CONSIDERAÇÕES FINAIS**

2301
2302 A degradação dos mananciais hídricos tem sido gerada pelas ações indevidas do Homem,
2303 resultando em prejuízos não apenas para o ecossistema, mas também para a saúde da
2304 população humana. Os impactos são principalmente através do consumo de recursos naturais
2305 em ritmo mais acelerado do que a capacidade de serem renovados e pela geração de produtos
2306 residuais em quantidades maiores do que podem ser integradas ao ciclo natural de nutrientes.
2307 Além disso, muitos desses resíduos apresentam propriedades tóxicas, genotóxicas,
2308 mutagênicas e cancerígenas. O desenvolvimento urbano é uma das maiores causas da
2309 degradação dos mananciais, pois o crescimento populacional acaba gerando
2310 impermeabilização do solo, remoção florestal, aumento de lançamento direto de lixo e esgoto
2311 e a localização de aterros sanitários próximas de mananciais. Neste contexto, o principal
2312 desafio é a gestão sustentável do suprimento e da demanda de água para que as atuais
2313 gerações supram as suas necessidades sem comprometer a possibilidade de que as futuras
2314 gerações também o façam.

2315 A área de estudo vem sendo avaliada nos últimos anos quanto à presença de agentes
2316 perigosos relacionados à atividade de conservação de madeiras, em diversos compartimentos
2317 ambientais: solo, água, sedimento e ar. Pesquisa recente verificou contaminação do
2318 sedimento, em locais destinados à captação de água potável no Rio Taquari (RS), próximos a
2319 essa área em processo de remediação de solo contaminado. Dando continuidade a este estudo,
2320 o objetivo da tese foi analisar a presença de contaminantes em locais de captação de água
2321 potável, definindo as fontes e os efeitos tóxicos e genotóxicos desses estressores como
2322 parâmetros de qualidade para o ecossistema, sua influência na água tratada e possíveis
2323 reflexos para a saúde humana.

2324 A escolha dos locais de estudo no rio permitiu verificar a contribuição de fontes
2325 específicas de contaminação para cada área, sendo atividades relacionadas à agricultura
2326 predominantes, principalmente nos locais mais a jusante do estudo. No local Ta063 (à
2327 montante), além da agricultura foram encontradas, próximas à bomba de captação de água,
2328 áreas com atividades industriais de alto a médio potencial poluidor. Estas informações foram
2329 obtidas através das ferramentas SIGs onde dados das sub-bacias foram combinados com um
2330 mapa de uso e cobertura do solo. A classificação do potencial poluidor foi importante para o
2331 trabalho, pois auxiliou no conhecimento do tipo de fonte que poderia estar afetando as regiões
2332 de estudo. Esta parte da pesquisa foi realizada através do levantamento das atividades
2333 licenciadas e cadastradas na FEPAM, órgão ambiental responsável pela fiscalização do
2334 funcionamento dos empreendimentos no estado. Além disso, pesquisa sobre o tipo de
2335 tratamento de esgoto realizado nas áreas investigadas mostrou que estas não apresentam
2336 tratamento e destino de esgoto adequado, resultando em mais uma importante fonte de
2337 contaminação para o Rio Taquari.

2338 Os resultados do ensaio *Salmonella*/microssoma nas amostras de extratos orgânicos de
2339 sedimento e água coletadas no rio, durante a primeira fase do estudo, mostraram a prevalência
2340 de mutagênicos de ação direta nas áreas de captação de água potável investigadas. O local
2341 Ta032 sinalizou a maior potência mutagênica em amostras de sedimento, enquanto o Ta063
2342 nas amostras de água. O local Ta011 apresentou respostas significativas tanto em amostras de
2343 sedimento quanto água. Em Ta006 foi detectada a menor potência de mutagênese entre os
2344 locais estudados indicando uma provável consequência da retirada das principais fontes ativas
2345 da área de solo contaminado, localizada a 4 km a jusante. Ensaios com *A. cepa* em amostras
2346 *in natura* de sedimentos, visando identificar respostas citogenéticas, mostraram concordância
2347 com os resultados para mutagênese molecular observados no teste *Salmonella*/microssoma,

2348 indicando o local Ta032 como o de maior presença de compostos genotóxicos. Ainda, foi
2349 realizado o ensaio FET em *D. rerio* em amostras de água superficial *in natura* dos quatro
2350 locais de estudo, não indicando toxicidade aguda e crônica nas condições investigadas,
2351 enquanto nos ensaios *Salmonella*/microssoma foram utilizados extratos obtidos a partir de
2352 grandes volumes de água.

2353 As análises químicas realizadas para dosagens de HPAs e metais pesados nos
2354 sedimentos dos quatro locais de amostragem, mostraram pequena contribuição destes grupos
2355 de compostos para explicar os danos detectados nos ensaios de genotoxicidade. No entanto,
2356 os resultados de potência mutagênica quando comparados com a literatura internacional
2357 permitem classificar como moderadamente mutagênica para água, a amostra de Ta063, e
2358 altamente contaminada para sedimento a Ta032. Assim, estes resultados indicaram a presença
2359 de uma mistura de contaminantes biologicamente ativos que induziram valores significativos
2360 importantes de atividade mutagênica.

2361 Na segunda etapa deste trabalho foi investigada a presença de contaminantes na água
2362 distribuída à população. Amostragens antes e após o tratamento foram realizadas diretamente
2363 nas estações de tratamento, correspondentes aos locais de captação no rio. Nestas amostras de
2364 água foram realizadas análises de avaliação mutagênica e dosagens de compostos emergentes.
2365 Os resultados indicaram uma redução do potencial mutagênico nas amostras de água bruta
2366 comparadas com as analisadas na primeira etapa deste estudo, sendo significativo apenas no
2367 local WTP03. Esta redução pode estar relacionada com um menor aporte de contaminantes
2368 mutagênicos nestes locais ou, ainda, com fatores inerentes à dinâmica do meio aquático
2369 influenciados por períodos diferentes de pluviosidade com aumento de lixiviação de
2370 contaminantes de solo.

2371 Ao contrário das amostras de água bruta, a tratada apresentou atividade mutagênica
2372 em todos os locais investigados. A estação de tratamento WTP04 foi a que mostrou valores
2373 mais elevados, corroborando com dados de amostragem realizada anteriormente sinalizando
2374 que compostos mutagênicos já estavam presentes desde 2015. Este local já possui um
2375 histórico de contaminação no sedimento, sendo as principais fontes de contaminação
2376 relacionadas à agricultura, sítio com solo contaminado e destino de esgoto inadequado. A
2377 literatura estabelece que o aumento da potência mutagênica da água tratada por cloração em
2378 relação à bruta é esperado através de resultados já conhecidos e descritos. Porém, devido ao
2379 crescente lançamento de novos produtos de uso pessoal, industrial, farmacológico e
2380 pesticidas, as respostas obtidas podem ter sofrido alteração de padrão. Neste sentido, nossos
2381 resultados sugerem tanto os padrões esperados quanto outros não relatados na literatura. As
2382 análises de MEs mostraram que, embora seja detectada redução das concentrações dos
2383 compostos nas águas tratadas em relação às brutas, estes ainda estiveram presentes após
2384 tratamento. Além disso, a análise dos resultados mostra que a maioria dos MEs, com exceção
2385 da atrazina, não contribuíram na mutagênese detectada pelo ensaio *Salmonella*, uma vez que
2386 as amostras brutas foram quase todas negativas. Entretanto, após tratamento, a mutagênese foi
2387 encontrada em todas as ETAS, sugerindo que os MEs poderiam estar reagindo com o cloro e
2388 formando DBPs mutagênicos com padrão diferente do esperado.

2389 Recentes estudos afirmam que muitas substâncias, como os MEs, não são
2390 efetivamente removidas por tratamentos convencionais. Neste contexto, são necessários
2391 tratamentos mais eficazes e específicos para evitar problemas de saúde humana e garantir
2392 sustentabilidade ambiental. A cafeína (marcador químico de qualidade ambiental) encontrada
2393 em todas as amostras indicou o comprometimento destas regiões relacionado à falta de
2394 tratamento e destino adequado de esgoto. Como perspectivas futuras desta pesquisa e visando

2395 a qualidade dos mananciais hídricos são recomendados aos órgãos responsáveis pela
2396 preservação ambiental, saneamento e saúde: (1) monitoramento contínuo para manter
2397 equilíbrio dos ecossistemas aquáticos com preservação de suas funções, manutenção da vida
2398 aquática e da qualidade dos usos nobres como as áreas destinadas à captação de água potável;
2399 (2) priorizar a implementação de estações de tratamento de esgoto (ETE) adequadas para
2400 controle da liberação de resíduos domésticos; (3) estabelecimento de normas para liberação
2401 de novos produtos e métodos de tratamento de água menos reativos do que a cloração e mais
2402 eficientes na degradação de substâncias orgânicas e inorgânicas. A literatura (Teodosiu et al.,
2403 2018) aponta como avanços nesta área os processos com membranas específicas, adsorção em
2404 carvão ativado e processos avançados de oxidação (Advanced oxidation processes - AOPs),
2405 como métodos que têm apresentado eficiência para remoção de micropoluentes. No entanto,
2406 estas tecnologias ainda estão em estudo e faltam dados para aplicação em larga escala.

2407 Este trabalho contou com a parceria da Vigilância de Saúde do Estado do Rio Grande do
2408 Sul na qual tem acompanhado desde as amostragens das amostras até os resultados. A partir
2409 destes resultados serão discutidas medidas saneadoras que busque garantir a qualidade do
2410 ecossistema e seus reflexos no abastecimento público. Assim, a pesquisa científica está
2411 evoluindo na busca de métodos alternativos sustentáveis para proteger os ecossistemas e a
2412 população humana de efeitos adversos frente a esses novos desafios.

2413
2414
2415
2416
2417
2418
2419
2420
2421
2422
2423

- 2424 **6. REFERÊNCIAS DA TESE**
- 2425 Abdel-Shafy, H.I., Mansour, M.S.M. 2016 A review on polycyclic aromatic hydrocarbons:
2426 Source, environmental impact, effect on human health and remediation. Egyptian Journal
2427 of Petroleum. 25, 107–123.
- 2428 Appel, J.S.L., Terescova, V., Rodrigues, V.C.B., Varga, V.M.F. 2007. Aspectos toxicológicos
2429 do preservativo de madeira CCA (arseniato de cobre cromato): revisão. Rev. Bras.
2430 Toxicol. 19, 29 – 43
- 2431 Asakura, K., Satoh, H., Chiba, M., Okamoto, M., Serizawa, K., Nakano, M., Omae, K., 2009.
2432 Genotoxicity studies of heavy metals: lead, bismuth, indium, silver and antimony. J.
2433 Occup. Health. 51, 498–512.
- 2434 ATSDR (Agency for Toxic Substances and Disease Registry). 2008. Resumende Salud
2435 Pública—Hidrocarburos Aromáticos Policíclicos. Available. [/http://www.atsdr.cdc.gov/es/phs/es_ph69.pdf](http://www.atsdr.cdc.gov/es/phs/es_ph69.pdf).
- 2436 Barbazuk, W.B., Korf, I., Kadavi, C., Heyen, J., Tate, S., Wun, E., Johnson, S.L. 2000. The
2437 syntenic relationship of the zebrafish and human genomes. Genome research. 10, 1351-
2438 1358.
- 2439 Bayne, B.L., Brown, D.A., Burns, K., Dixon, D.R., Ivanovici, A., Livingstone, D.A., Lowe,
2440 D.M., Moore, M.N., Stebbing, A.R.D., Widdings, J., 1985. The Effects of Stress and
2441 Pollution on Marine Animals. Praeger, New York.
- 2442 Bedner, M., MacCrehan, W.A., 2006a. Reactions of the amine-containing drugs fluoxetine
2443 and metoprolol during chlorination and dechlorination processes used in wastewater
2444 treatment. Chemosphere 65, 2130–2137.
- 2445 Bedner, M., MacCrehan, W.A., 2006b. Transformation of acetaminophen by chlorination
2446 produces the toxicants 1,4-benzoquinone and n-acetyl-pbenzoquinone imine. Environ.
2447 Sci. Technol. 40, 516–522.
- 2448 Benotti, M.J., Trenholm, R.A., Van der Ford, B.J., Holady, J.C., Stanford, B.D., Snyder, S.A.
2449 2009. Pharmaceuticals and endocrine disrupting compounds in U.S. drinking water.
2450 Environ. Sci. Technol. 43, p 597.
- 2451 Bodzek, M., Dudziak, M. 2006. Elimination of steroid sex hormones by conventional water
2452 treatment and membrane processes. Desalination. 198., p 24.
- 2453 Bolong, N., Ismail, A.F., Salim, M.R., Matsura, T. 2009. A review of the effects of emerging
2454 contaminants in wastewater and options for their removal. Desalination. 239, 229-246.
- 2455 Bonassi, S., Znaor,A., Ceppi1, M., Lando,C., Chang,W.P., Nina Holland, N., Kirsch-Volders,
2456 M., Zeiger, E., Ban,S., Barale,R., Bigatti, M.P., Bolognesi, C., Cebulska-Wasilewska,
2457 A.,Fabianova,E., Fucic, A., Hagmar, L., Joksic, G., Martelli, A., Migliore, L.,
2458 Mirkova,E., Scarfi, M.R., Zijno, A., Norppa, H., Fenech, M., 2007. An increased
2459 micronucleus frequency in peripheral blood lymphocytes predicts the risk of cancer in
2460 humans. Carcinogenesis. 28,(3), 625–631. doi:10.1093/carcin/bgl177.
- 2461 Brasil. 2005. Conselho Nacional do Meio Ambiente. Resolução CONAMA nº 357 de 17 de
2462 março de 2005. Dispõe sobre a classificação dos corpos de água e diretrizes ambientais
2463 para o seu enquadramento, bem como estabelece as condições e padrões de lançamento
2464 de efluentes, e dá outras providências. Available. <http://www.mma.gov.br/conama>.
- 2465 Brasil 2006a. Ministério do Meio Ambiente (MMA). Água: Manual de uso. Alguns passos na
2466 implementação do Plano Nacional de Recursos Hídricos. Ministério do Meio Ambiente,
2467 Secretaria de Recursos Hídricos. Brasília. 109 p.
- 2468 Brasil. 2006b. Ministério da Saúde. Secretaria de Vigilância em Saúde. Vigilância e controle
2469 da qualidade da água para consumo humano/Brasília. 212 p.

- 2471 Brasil, 2012. Conselho Nacional do Meio Ambiente - Resolução CONAMA nº 454 de 08 de
2472 novembro de 2012, data em que entrou em vigor, revogou expressamente a Resolução
2473 CONAMA nº 344 de 25 de março de 2004, que estabelecia diretrizes gerais e
2474 procedimentos mínimos para a avaliação do material a ser dragado em águas
2475 jurisdicionais brasileiras, e dá outras providências. Available.
2476 <http://www2.mma.gov.br/port/conama>
- 2477 Brasil. 2018. Agência Nacional de Águas (ANA). Conjuntura dos recursos hídricos no Brasil
2478 2018:informe anual: versão atualizada, Brasília. 87 p.
- 2479 Braunbeck, T., Bottcher, M., Hollert, H., Kosmehl, T., Lammer, E., Leist, E., Rudolf, M.,
2480 Seitz, N. 2005. Towards an alternative for the acute fish LC50 test in chemical
2481 assessment: the fish embryo toxicity test goes multi-species—an update. *Altex*, 22, 87–
2482 102.
- 2483 Briggs, J.P. 2002. The zebrafish: a new model organism for integrative physiology. *American
2484 Journal of Physiology-Regulatory, Integrative and Comparative Physiology*. 282, R3-R9.
- 2485 Cemeli, E., Wagner, E.D., Anderson, D., Richardson, S.D., Plewa, M.J. 2006. Modulation
2486 of the cytotoxicity and genotoxicity of the drinking water disinfection byproduct
2487 iodoacetic acid by suppressors of oxidative stress, *Environ. Sci. Technol.* 40, 1878–1883.
- 2488 Chen, G., White, P.A. 2004. The mutagenic hazards of aquatic sediments: a review. *Mutat.
2489 Res.* 567, 151-225.
- 2490 Claxton, L.D., Matthews, P.P., Warren, S.H., 2004. The genotoxicity of ambient outdoor air,
2491 a review: *Salmonella* mutagenicity. *Mutat. Res.* 567, 347-399.
- 2492 Claxton, L.D. & Woodall Jr., G.M., 2007. A review of the mutagenicity and rodent
2493 carcinogenicity of ambient air. *Mutat. Res.* 636, 36-94.
- 2494 Claxton, L.D., Umbuzeiro, G.A., DeMarini, D., 2010. The *Salmonella* mutagenicity assay: the
2495 stethoscope of genetic toxicology for the 21st century. *Environ. Health Perspect.* 118
2496 (11), 1515-1522.
- 2497 Coronas, M.V., Bavaresco, J., Rocha, J.A.V., Gelle, A.M., Caramão, E.B., Rodrigues,
2498 M.L.K., Vargas, V.M.F. 2013. Attic dust assessment near a wood treatment plant: Past air
2499 pollution and potential exposure. *Ecotox. and Environ.* 95, 153–160.
- 2500 Cortés, C, Marcos, R. 2018. Genotoxicity of disinfection byproducts and disinfected waters:
2501 A review of recent literature. *Mutat Res Gen Tox En.* 831, 1–12.
- 2502 Costa, T.C., Brito, K.C.T., Rocha, J.A.V., Leal, K. A., Rodrigues, M.L.K., Minella, J.P.G.,
2503 Matsumoto, S.T., Vargas, V.M.F. 2012. Run off of genotoxic compounds in river basin
2504 sediment under the influence of contaminated soils. *Ecotox. Environ.* 75, 63–72.
- 2505 Costa, T.C., Brito, K.C.T., Rocha, J.A.V., Leal, K. A., Rodrigues, M.L.K., Minella, J.P.G.,
2506 Matsumoto, S.T., Vargas, V.M.F. 2017. Corrigendum to: Runoff of genotoxic
2507 compounds in river basin sediment under the influence of contaminated soils [Ecotoxicol.
2508 Environ. Saf. 75 (2012) 63–72]. *Ecotox. Environ.* 143, 351–352.
- 2509 Dammski, A.P., Muller, B.R., Gaya, C., Regonato, D. 2011. Zebrafish-Manual de criação em
2510 Biotério. Curitiba (PR): Universidade Federal do Paraná, 20-1.
- 2511 Dolédec, S., Statzner, B., 2008. Invertebrate traits for the biomonitoring of large European
2512 rivers: an assessment of specific types of human impact. *Freshw. Biol.* 53,617–634.
- 2513 Durigon, M. 2013. Qualidade da água e comunidades de diatomáceas epilíticas na bacia
2514 hidrográfica do rio vacacaí, Santa Maria, Rio Grande do Sul, 82 f. Dissertação
2515 apresentada ao curso de Mestrado do Programa de Pós-Graduação em Agrobiologia,
2516 Universidade Federal de Santa Maria, Santa Maria, RS, Brasil.
- 2517 Esteves, F. A. Fundamentos de Limnologia. Rio de Janeiro: Interciência/FINEP, 1988. 575p.

- 2518 Fawell, J., Ong, C.N., 2012. Emerging contaminants and the implications for drinking water.
2519 Int. J. Water Resour. Dev. 28, 247-263. <https://doi.org/10.1080/07900627.2012.672394>.
- 2520 Fenech, M., Bonassi, S., 2011. The effect of age, gender, diet and lifestyle on DNA damage
2521 measured using micronucleus frequency in human peripheral blood lymphocytes.
2522 Mutagenesis 26, 43–49.
- 2523 Fent, K., Weston, A.A., Carminada, D. 2006. Ecotoxicology of human pharmaceuticals.
2524 Aquat Toxicol. 76, 122-59.
- 2525 Fiskesjo, G. 1985. The Allium test as standard in environmental monitoring. Hereditas. 102,
2526 p. 99-112.
- 2527 Focazio, M.J., Kolpin, D.W., Barnes, K.K., Furlong, E.T., Meyer, M.T., Zaugg, S.D., Barber,
2528 L.B., Thurman, M.E. 2008. A national reconnaissance for pharmaceuticals and other
2529 organic wastewater contaminants in the United States - II) Untreated drinking water
2530 sources. Sci. Total Environ. 402, p201.
- 2531 Förstner, U., Wittman, G.T.W. 1981. Metal pollution in the aquatic environment. 2.ed. Berlin:
2532 Springer-verlag. 486p
- 2533 Gameiro, P.H., Pereira, N.C., Rocha, J.A.V., Leal, K.A., Varga, V.M.F. 2018a. Assessment of
2534 Sediment Mutagenicity in Areas under the Influence of a Contaminated Site Undergoing
2535 a Remediation Process. Environ. Mol. Mutagen. 59, 625-638.
- 2536 Grellier, J., Rushton, L., Briggs, D.J., Nieuwenhuijsen, M.J. 2015. Assessing the human
2537 health impacts of exposure to disinfection by-products – a critical review of concepts and
2538 methods, Environ. Int. 78, 61–81, <http://dx.doi.org/10.1016/j.envint.2015.02.003>.
- 2539 Grunwald, D.J., Eisen, J.S. Headwaters of the zebrafish--emergence of a new model
2540 vertebrate. Nature reviews. Genetics. 3, p.717.
- 2541 Guillén, D, Ginebreda, A, Farré, M, Darbra, RM, Petrovic, M, Gros, M, Barceló, D. 2012.
2542 Prioritization of chemicals in the aquatic environment based on riskassessment:
2543 analytical, modeling and regulatory perspective. Sci. Total Environ.440, 236-252.
- 2544 Hagiwara, Y., Watanabe, M., Oda, Y., Sofuni, T., Nohmi, T. 1993. Specificity and sensitivity
2545 of *Salmonella typhimurium* YG1041 and YG1042 strains possessing elevated levels of
2546 both nitroreductase and acetyltransferase activity. Mutat. Res. 291,171–180.
- 2547 Holland, N., Bolognesi, C., Kirsch-Volders, M., Bonassi, S., Zeiger, E., Knasmueller, Z.,
2548 Fenech, M., 2008. The micronucleus assay in human buccal cells as a tool for
2549 biomonitoring DNA damage: The HUMN project perspective on current status and
2550 knowledge gaps. Mutat.Res. 659, 93–108. doi:10.1016/j.mrrev.2008.03.007
- 2551 Hong, W.J., Jia, H., Li, W.F., Sun, Y., Liu, X., Wang, L. 2016. Polycyclic aromatic
2552 hydrocarbons (PAHs) and alkylated PAHs in the coastal seawater, surface sediment and
2553 oyster from Dalian, Northeast China. Ecotoxicology and Environmental Safety. 128,11–
2554 20.
- 2555 Huszno, J., Klag, J. 2012. The reproductive cycle in the male gonads of *Danio rerio*
2556 (Teleostei, Cyprinidae). Stereological analysis. Micron. 43, 666-672.
- 2557 IARC, 2010. Monographs on the Evaluation of the Carcinogenic Risks to Humans - Some
2558 Non-heterocyclic Polycyclic Aromatic Hydrocarbons and Some Related Exposures.
2559 International Agency for Research on Cancer, 92, Lyon, France.
- 2560 IBAMA – Instituto Brasileiro do meio Ambiente e dos Recursos Renováveis. 2010. Produtos
2561 agrotóxicos e afins comercializados em 2009 no Brasil – uma abordagem ambiental;
2562 disponível em <http://www.ibama.gov.br>
- 2563 IBGE (Instituto Brasileiro de Geografia e Estatística). 2019. Síntese de indicadores sociais
2564 (uma análise das condições de vida da população brasileira). Disponível:
2565 <https://biblioteca.ibge.gov.br/visualizacao/livros/liv101629.pdf>

- 2566 Kado, N., Guirguis, G., Flessel, C., Chan, R., Chang, K., Wesolowski, J. 1986. Mutagenicity of
2567 fine (less than 2.5 microns) airborne particles: diurnal variation in community air
2568 determined by a *Salmonella* micro preincubation (microsuspension) procedure. *Environ.*
2569 *Mutagen.* 8, 53-66.
- 2570 Kari, G., Rodeck, U., Dicker, A.P. 2007. Zebrafish: an emerging model system for human
2571 disease and drug discovery. *Clinical Pharmacology and Therapeutics.* 82.
- 2572 Kimmel, C.B., Ballard, W.W., Kimmel, S.R., Ullmann, B., Schilling, T.F. 1995. Stages of
2573 Embryonic Development of the Zebrafish. *Developmental Dynamics,* 203, 255-310.
- 2574 Legay, C., Rodriguez, M.J., Sérodes, J.B., Levallois, P; 2010. Estimation of chlorination by-
2575 products presence in drinking water in epidemiological studies on adverse reproductive
2576 outcomes: A review. *Science of the Total Environment.* 408, 456-472.
- 2577 Leme, D.M., Marin-Morales, M.A. 2009. Allium cepa test in environmental monitoring: A
2578 review on its application. *Mutat Res.* 682, 71-81.
- 2579 Lemos, C.T., Roedel, P.M., Terra, N.R., Oliveira, N.C.D., Erdtmann, B., 2007 River water
2580 genotoxicity evaluation using micronucleus assay in fish erythrocytes. *Ecotox. Environ.*
2581 *Safe.* 66, 391-401.
- 2582 Lemos, A.T., Lemos, C.T., Flores, A.N., Pantoja, E.O., Rocha, J.A.V., Vargas, V.M.F. 2016.
2583 Genotoxicity biomarkers for airborne particulate matter (PM2.5) in an area under
2584 petrochemical influence. *Chemosphere.* 159, 610-618.
- 2585 Levin, D.E., Yamasaki, E., Ames, B.N. 1982. A new *Salmonella* tester strain, TA97, for the
2586 detection of frameshift mutagens. A run of cytosines as a mutational hot-spot. *Mutat.*
2587 *Res.* 2, 315-30.
- 2588 Lieschke, J.G.; Currie, P.D. 2007. Animal models of human disease: Zebrafish swim into
2589 view. *Nature Reviews-Genetics.* 8, 353-67.
- 2590 Long, G.Q. 1997. GATA-1 expression pattern can be recapitulated in living transgenic
2591 zebrafish using GFP reporter gene. *Development.* 124, 4105-4111.
- 2592 Luo, Y., Guo, W., Ngo, H. H., Nghiem, L.D., Hai, F. Ibney., Zhang, J., Liang, S. 2014. A
2593 review on the occurrence of micropollutants in the aquatic environment and their fate and
2594 removal during wastewater treatment. *Science of the Total Environment,* 473-474
2595 (March), 619-641.
- 2596 Ma, T.H.; Xu, Z.; Xu, C.; McConnell,H.; Rabago, E.V.; Arreola, G.A. & Zhang, H. 1995. The
2597 improved Allium/Vicia root tip micronucleus assay for clastogenicity of environmental
2598 pollutants. *Mutation Research.* 334, 185-195.
- 2599 Marvin, C.H., McCarry, B.E., Villella, J., Allan, L.M., Bryant, D.W. 2000. Chemical and
2600 biological profiles of sediments as indicators of sources of contamination in Hamilton
2601 Harbour. Part II. Bioassaydirected fractionation using the Ames *Salmonella*/microsome
2602 assay. *Chemosphere.* 41, 989-999.
- 2603 Maron, D.M., Ames, B.N. 1983. Revised methods for the *Salmonella* mutagenicity test.
2604 *Mutat. Res.* 11,173-215.
- 2605 Meybeck, M., Helmer, R. 1992. An introduction to water quality. In. CHAPMAN, D. 1996.
2606 Water quality assessment. 2 ed. Cambridge. University Press. 651p.
- 2607 Moraes, L.R.S., Borja, P.C., Tosta, C.S. Qualidade da água da rede de distribuição e de beber
2608 em assentamento periurbano: estudo de caso. In: Congresso Brasileiro de Engenharia
2609 sanitária e ambiental, 20., 1999, Rio de Janeiro. Anais... Rio de Janeiro: Abes, 1999.
- 2610 Mortelmans, K., Zeiger, E. 2000. The Ames *Salmonella*/microsome mutagenicity assay.
2611 *Mutat. Res.* 455,29-60.
- 2612 Nagel, R. 2002. DarT: The embryo test with the zebrafish *Danio rerio* a general model in
2613 ecotoxicology and toxicology. *Altex,* 19, 38-48.

- 2614 Nam, S.; Choi, D.; Kim, S.; Her, N.; Zoh, K. 2014. Adsorption characteristics of selected
2615 hydrophilic and hydrophobic micropollutants in water using activated carbon. *Journal of*
2616 *Hazardous Materials.* 270, 144–152. Disponível em: <<http://dx.doi.org/10.1016/j.jhazmat.2014.01.037>>.
- 2617
- 2618 Nieuwenhuijsen, M.J., Dadvand,P., Grellier, J. Martinez, D., Vrijheid, M. 2013.
2619 Environmental risk factors of pregnancy outcomes: a summary of recent meta analyses of
2620 epidemiological studies. *Environ. Health.* 12 (6), 1-10.
- 2621 OECD (Organization for Economic Co-Operation and Development). 2013. Guideline for
2622 Testing of Chemicals. Fish Embryo Toxicity (FET) Test (236).
- 2623 Ohe, T., Watanabe, T., Wakabayashi, K. 2004. Mutagens in surface waters: a review.
2624 *Mutation Research.* 567, 109-149.
- 2625 Pagano, A. D., Zeiger, E. 1992. Conditions for detecting the mutagenicity of divalent metals
2626 in *Salmonella typhimurium*. *Environ. Mol. Mutag.* 19, 139-146.Hagiwara et al, 1983.
- 2627 Pereira Netto, A.D., Moreira, J.C., Dias, A.E.X.O., Arbillia, G., Ferreira, L.F.V., Oliveira,
2628 A.S., Barek, J., 2000. Evaluation of human contamination with polycyclic aromatic
2629 hydrocarbons (PAHs) and their nitrated derivatives (NPAHs): a review of methodology.
2630 *Quim. Nova.* 23(6), 765-773.
- 2631 Pereira, T.S., Rocha, J.A.V., Duccatti, A., Silveria, G.A., Pastoriza, T.F., Bringuenti, L.,
2632 Vargas, V.M.F. 2007. Evaluation of mutagenic activity in supply water at three sites in
2633 the state of Rio Grande do Sul, Brazil. *Mutat. Res.* 629,71-80.
- 2634 Plewa, M.J., Wagner, E.D., Muellner, M.G., Hsu, K.M., Richardson, S.D. 2008. Comparative
2635 mammalian cell toxicity of N-DBPs and C-DBPs. In *Disinfection By-Products in*
2636 *Drinking Water: Occurrence, Formation, Health Effects, and Control;* Karanfil, T.,
2637 Krasner, S. W., Westerhoff, P., Xie, Y., Eds.; American Chemical Society: Washington,
2638 D.C. 36–50.
- 2639 Plewa, M.J., Wagner, E.D. 2011. Drinking water disinfection by-products: comparative
2640 mammalian cell cytotoxicity and genotoxicity, in: J.O. Nriagu (Ed.), *Encyclopedia of*
2641 *Environmental Health,* Elsevier, Burlington. 2011, 806–812.
- 2642 Pohren, R.S., Rocha, J.A.V., Leal, K.A., Vargas, V.M.F. 2012. Soil mutagenicity as a strategy
2643 to evaluate environmental and health risks in a contaminated area. *Environ.* 44, 40–52.
- 2644 Postigo, C., Richardson, S.D. 2014. Transformation of pharmaceuticals during oxidation/
2645 disinfection processes in drinking water treatment, *J. Hazard. Mater.* 279, 461–475.
2646 <http://dx.doi.org/10.1016/j.jhazmat.2014.07.029>.
- 2647 Pruden, A., Pei, R., Storteboom, H., Carlson, K.H. 2006. Antibiotic resistance genes as
2648 emerging contaminants: Studies in Northern Colorado. *Environ Sci Technol.* 40, 7445-
2649 50.
- 2650 Quintana, J., Martí, I., Ventura, F. 2001. Monitoring of pesticides in drinking and related
2651 waters in NE Spain with a multiresidue SPE-GC-MS method including an estimation of
2652 the uncertainty of the analytical results. *J. Chromatogr. A.* 938, p 3.
- 2653 Raimundo, C. C. M. 2011. Contaminantes emergentes em água tratada e seus mananciais:
2654 sazonalidade, remoção e atividade estrogênica. 204 f. Tese de Doutorado (Química
2655 ambiental) - Instituto de Química, Departamento de Química Analítica, Laboratório de
2656 Química Ambiental da Universidade Estadual de Campinas, Campinas – São Paulo.
- 2657 Rand, G.M., Petrocelli, S.R., 1985. *Fundamentals of aquatic toxicology – methods and*
2658 *applications.* Hemisphere Publishing Corporation, Washington. 659p.
- 2659 Richardson, S.D.; Plewa, M.J.; Wagner, E.D.; Schoeny, R.; Demarini, D.M. 2007.
2660 Occurrence, genotoxicity, and carcinogenicity of regulated and emerging disinfection by
2661 products in drinking water: a review and roadmap for research. *Mutat.Res.* 636, 178–242.

- 2662 Rivera-Utrilla, J., Sanchez-Polo, M., Ferro-Garcia, Prados-Joya, G., Ocampo-Perez, R., 2013.
2663 Pharmaceuticals as emerging contaminants and their removal from water. A review.
2664 Chemosphere 93, 1268-1287.
- 2665 RS, (Rio Grande do Sul). Secretaria Estadual do Meio Ambiente / Departamento de Recursos
2666 Hídricos (SEMA/DRH)/Fundação Estadual de Proteção Ambiental Henrique Luiz
2667 Roessler – FEPAM/Comitê de Gerenciamento da Bacia Hidrográfica do Rio Taquari-
2668 Antas. Plano de Bacia Hidrográfica do Rio Taquari – Antas. Relatório Síntese - Etapa A
2669 e B . Elaborado por: STE – Serviços Técnicos de Engenharia. 2012.
- 2670 Schneneider, A.C.R., Santos, J.L., Porawski, M., Schaefer, P.G., Maurer, R.L., Matte, U.,
2671 Silveira, T.R. 2009. Implementação de um novo modelo de experimentação animal –
2672 zebrafish. Rev. HCPA. 29, 100-103.
- 2673 Stackelberg, P.E., Gibbs, G., Furlong, E.T., Meyer, M.T., Zaugg, S.D., Lippincott, R.L. 2007.
2674 Efficiency of conventional drinking-water-treatment processes in removal of
2675 pharmaceuticals and other organic compounds. Sci. Total Environ. 377, p 255.
- 2676 Stuelten, C.H., Parent, C.A., Montell, D.J. 2018. Cell motility in cancer invasion and
2677 metastasis: Insights from simple model organisms. Nature Reviews Cancer.
- 2678 Tagliari, K.C., Cecchini, R., Rocha, J.A.V., Vargas, V.M.F. 2004. Mutagenicity of sediment
2679 and biomarkers of oxidative stress in fish from aquatic environments under the influence
2680 of tanneries. Mutat. Res. 561, 101–117.
- 2681 Teodosiu, C., Gilca, A.F., Barjoveanu, G., Fiore, S. 2018. Emerging pollutants removal
2682 through advanced drinking water treatment: A review on processes and environmental
2683 performances assessment . Journal of Cleaner Production. 197, 1210-1221.
- 2684 Tijani, JO, Fatoba, OO, Babajide, OO, Petrik, LF. 2016. Pharmaceuticals, endocrine
2685 disruptors, personal care products, nanomaterials and perfluorinated pollutants: a review.
2686 Environ Chem Lett. 14, 27–49.
- 2687 Tokiwa, H., Nakagawa, R., Horikawa, K., Ohkudo, A. 1987. The nature of the mutagenicity
2688 and carcinogenicity of nitrated aromatic compounds in the environment. Environ Health
2689 Perspect. 73,191– 199.
- 2690 Tundisi, J. G., Matsumura-Tundisi, T. 2008. Limnologia. Oficina de Textos, Brasil. WHO -
2691 World Health Organization, 2013. Review of evidence on health aspects of air pollution.
2692 Revihaap Project: Technical Report
- 2693 Umbuzeiro G.A., Roubicek, D.A., Rech, C.M., Sato, M.I.Z., Claxton, L.D. 2004.
2694 Investigating the sources of the mutagenic activity found in a river using the *Salmonella*
2695 assay and different water extraction procedures. Chemosphere. 54,1589–1597.
- 2696 USEPA (United States Environmental Protection Agency). 2017. Toxics Release Inventory
2697 (TRI) 2017 National Analysis. Disponível:
2698 https://www.epa.gov/sites/production/files/2019-03/documents/2017_tri_national_analysis_exec_summary_0.pdf
- 2700 Van der Oost, R., Beyer, J., Vermeulen N.P.E., 2003. Fish bioaccumulation and biomarkers in
2701 environmental risk assessment: a review. Environ Toxicol Phar. 13, 57-149.
- 2702 Vargas, V.M.F.; Migliavacca, S.B.; Horn, R.C, Terra, N.R. 2008. Comparative temporal
2703 ecotoxicological study in a river basin influenced by petrochemical industries. Science of
2704 the Total Environment. 392,79-92.
- 2705 Verliefde, A., Cornelissen, E., Amy, G., Bruggen, B.V., Dijk, H. 2007. Priority organic
2706 micropollutants in water sources in Flanders and the Netherlands and assessment of
2707 removal possibilities with nanofiltration. Environ. Pollut. 146, p 281.

- 2708 Vigano L, Arilloi A, Falugi C, Melodia F, Polesello S. 2001. Biomarkers of exposure and
2709 effect in flounder (*Platichthys flesus*) exposed to sediments of the Adriatic Sea. Mar
2710 Pollut Bull. 42,887–894.
- 2711 Wagner, E.D., Hsu, K.M.,Lagunas, A., Mitch, W.A., Plewa, M.J. 2012. Comparative
2712 genotoxicity of nitrosamine drinking water disinfection byproducts in *Salmonella* and
2713 mammalian cells. Mutation Research. 741, 109– 115.
- 2714 Wang, C., Shi, H., Adams, C.D., Gamagedara, S., Stayton, I., Timmons, T. 2011.
2715 Investigation of pharmaceuticals in Missouri natural and drinking water using high
2716 performance liquid chromatography-tandem mass spectrometry. Water Res.45,1818–
2717 1828.
- 2718 Warren, SH; Claxton, LD; Diliberto, J., Hughes, TJ; Swank, A, Usnierz, DH, Marshall, V,
2719 Demarini, DM. 2015. Survey of the mutagenicity of surface water, sediments, and
2720 drinking water from the Penobscot Indian Nation. Chemosphere, v. 120, n. 2015, p. 690–
2721 696.
- 2722 Westerhoff, P., Yoon, Y., Snyder, S., Wert, E., 2005. Fate of endocrine-disruptor,
2723 pharmaceutical, and personal care product chemicals during simulated drinking water
2724 treatment processes. Environ. Sci. Technol. 39, 6649-6663.
- 2725 Wetzel, R.G., 2001. Limnology, Lake and river ecosystems. Academic Press, San Diego,
2726 USA.
- 2727 White, P.A., Claxton, L.D. 2004. Mutagens in contaminated soil: a review. Mutat Res. 567,
2728 227-345.
- 2729 WHO - World Health Organization, 2013. Review of evidence on health aspects of air
2730 pollution. REVIHAAP PROJECT: Technical Report
- 2731 WHO (World Health Organization). 2015. Progress on Sanitation and Drinking Water.
2732 Update and MDG Assessment.
- 2733 Yamada, M., Matsui, K., Sofuni, T., Nohmi, T. 1997. New tester strains of *Salmonella*
2734 *typhimurium* lacking O6-methylguanine DNA methyltransferases and highly sensitive to
2735 mutagenic alkylating agents, Mutat. Res. 381, 15–24.
- 2736 Zeiger, E., 1998. Identification of rodent carcinogens and noncarcinogens using genetic
2737 toxicity tests: premises, promises, and performance. Regul. Toxicol. Pharmacol. 28, 85–
2738 95.
- 2739
- 2740